

# NMR SPEKTROSKOPIE PRO CHEMIKY

1. Úvod
  - 1.1 Historický úvod
  - 1.2 Jazykové okénko
2. Principy NMR spektroskopie
  - 2.1 Jaderný spin
  - 2.2 Chemický posun
  - 2.3 Snímání NMR signálu
  - 2.4 Fourierova transformace
  - 2.5 Magnetické interakce jader
3. Pulzní sekvence a jejich elementy
  - 3.1 1D pulzní sekvence
  - 3.2 2D pulzní sekvence
  - 3.3 3D a vícedimenzionální sekvence
4. Relaxace v NMR spektroskopii
  - 4.1 Podélná relaxace
  - 4.2 Příčná relaxace
  - 4.3 Relaxační mechanismy
5. NOE
6. Gradienty, DOSY
7. Praktické aspekty NMR spektroskopie  
Přístroj, praktické, počet bodů, rozlišení, zpracování, potlačení signálu rozp.
8.  $^{13}\text{C}$  NMR
  - 8.1 Chemické posuny uhlíků
  - 8.2 Skalární interakce uhlíků
9.  $^1\text{H}$  NMR
  - 9.1 Chemická a magnetická ekvivalence
  - 9.2 Spinový systém, řad spektra
  - 9.3 Chiralita
  - 9.4 Stínění jader prostorově blízkými chemickými vazbami nebo funkčními skupinami
  - 9.5 Vyměnitelné vodíky
  - 9.6 Vliv pole, koncentrace, rozpouštědla
  - 9.7 Chemické posuny vodíků
  - 9.8 Skalární interakce vodíků
10. Dynamické děje
  - 10.1. Chemické reakce
  - 10.2. Chemická výměna
11. F,P,N
12. Predikce
13. NMR spektra pevných látek

## 1. ÚVOD

Spektroskopie jaderné (nukleární) magnetické rezonance je metoda využívající magnetických vlastností atomových jader některých izotopů.

Dnes jsou tradiční metody NMR spektroskopie nepostradatelnou pomůckou syntetického chemika při sledování průběhu reakcí a ověřování struktury produktů. Speciální, časově náročnější techniky umožňují řešit struktury i velmi komplikovaných sloučenin, např. sekundární a terciární struktury biopolymerů, a studovat interakce mezi nimi. Obrovskou výhodou NMR spektroskopie biomolekul je, že můžeme zjišťovat jejich třídimenzionální strukturu za „fyziologických“ podmínek (v roztoku o určitém pH, teplotě, iontové síle) Pomocí MR tomografie jsou dnes již běžně studovány tkáně a orgány v lidském těle. NMR spektroskopie nalezla také široké uplatnění v materiálové chemii, farmaceutickém průmyslu a ve fyzice pevných látek.

### 1.1 Historický úvod

V roce 1945 byly poprvé pozorovány signály jader vodíku ve vodě a v parafinu. V padesátých letech 20. století se objevují první sériově vyráběné NMR spektrometry. Měřena byla sice většinou pouze jádra vodíku  $^1\text{H}$ , ale získané informace se ukázaly být nesmírně cennými při určování struktury sloučenin, především organických. První  $^{13}\text{C}$  NMR spektra byla popsána v roce 1957. Širokopásmový dekaplink vodíků se objevil v roce 1965. Od té doby se NMR spektroskopie velmi rychle rozvíjela a stala se nezbytnou součástí strukturní analýzy. Zavedení supravodivých magnetů a jejich zdokonalování umožnilo postupné zvyšování intenzity magnetického pole a tím i citlivosti a rozlišení metody. Objev dvoudimenzionálních technik v 70. letech dvacátého století vedl k technikám schopným podat kompletní informaci o skeletu molekuly a prostorovém uspořádání atomů. Metody umožňující snímání spekter nebo alespoň získávání určitých informací o jádrech atomů v malých prostorových elementech uvnitř objektů daly vzniknout NMR zobrazování (NMR imaging, MR tomografie, MRT).



O významu nukleární magnetické rezonance svědčí i několik Nobelových cen udělených v této oblasti. V roce 1943 získal Nobelovu cenu za fyziku Otto Stern za objev magnetického momentu protonu.



V roce 1944 získal Nobelovu cenu za fyziku Isidor Isaac Rabi za jeho rezonanční metodu pro zjištění magnetických vlastností atomových jader.



V roce 1952 získali Nobelovu cenu za fyziku Felix Bloch a Edward Mills Purcell za rozvoj nových metod pro přesná měření jaderného magnetismu a první detekci NMR signálu.

V roce 1991 získal Nobelovu cenu za chemii Richard R. Ernst za jeho příspěvek k rozvoji nukleární magnetické rezonance s vysokým rozlišením, zavedení pulzních technik měření a použití Fourierovy transformace a zavedení dvoudimenzionálních NMR technik.



V roce 2002 získal Nobelovu cenu za chemii Kurt Wüthrich za vývoj NMR jako metody umožňující určení trojrozměrné struktury biologických makromolekul v roztoku.

V roce 2003 získali Nobelovu cenu za fyziologii a medicínu Paul C. Lauterbur a Peter Mansfield za vypracování metody zobrazování magnetickou resonancí.



## 2. PRINCIPY NMR SPEKTROSKOPIE

### 2.1 Jaderný spin

Z hlediska NMR můžeme atomová jádra jednotlivých izotopů rozdělit na tři skupiny:

1. Jádra, která mají nulové spinové kvantové číslo  $I$  (výraz spinové kvantové číslo se často nahrazuje výrazem spin nebo jaderný spin). Jsou to jádra se sudým počtem protonů i neutronů, jako např.  $^{12}\text{C}$ ,  $^{16}\text{O}$ ,  $^{32}\text{S}$ . Tato jádra nemají jaderný magnetický moment  $\mu$  a nejsou v NMR spektroskopii pozorovatelná ani nijak neovlivňují spektra jiných izotopů.

2. Jádra se spinovým kvantovým číslem  $I = 1/2$ . Tato jádra mají jaderný magnetický moment a jsou snadno měřitelná. Příkladem je proton,  $^1\text{H}$ , který má vysoké přírodní zastoupení, a je nejběžněji měřeným jádrem. Uhlík  $^{13}\text{C}$  představuje další často měřené jádro. Má nižší citlivost a zároveň nízké přírodní zastoupení (1.11%), takže jeho signály jsou zhruba 5700 x slabší než signály  $^1\text{H}$ . Další jádra se spinem  $1/2$  jsou například  $^{15}\text{N}$ ,  $^{19}\text{F}$ ,  $^{31}\text{P}$ .

3. Jádra se spinovým kvantovým číslem  $I > 1/2$ . Tato jádra mají vedle jaderného magnetického momentu i kvadrupolový moment a jsou velmi často obtížně měřitelná. Jádra s lichým nukleonovým číslem (součet počtu protonů a neutronů) mají poločíselná spinová kvantová čísla ( $1/2, 3/2, 5/2\dots$ ). Jádra se sudým nukleonovým číslem a lichým počtem protonů mají celočíselná spinová kvantová čísla ( $1, 2, 3\dots$ ).

Atomová jádra s nenulovým spinem mají vlastní jaderný magnetický moment  $\mu$

$$\mu = \frac{\gamma h \sqrt{I(I+1)}}{2\pi}$$

kde  $h$  je Plancova konstanta a  $\gamma$  je tzv. **gyromagnetický poměr**, konstanta charakteristická pro jádro každého izotopu. Pokud je jádro s nenulovým spinovým kvantovým číslem mimo magnetické pole, jaderný spin se nijak neprojevuje. V magnetickém poli o intenzitě  $\mathbf{B}_0$  je výsledkem silového působení magnetického pole a magnetického momentu jádra precesní pohyb vektoru magnetického momentu jádra  $\mu$  kolem směru  $\mathbf{B}_0$  s frekvencí

$$v = \gamma \mathbf{B}_0 / 2\pi$$

označovanou jako Larmorova precesní frekvence. Z kvantové mechaniky plyne, že precedující vektor  $\mu$  může zaujmout celkem  $2I + 1$  magnetických stavů, lišících se magnetickým kvantovým číslem  $m$ , jimž přísluší v magnetickém poli  $\mathbf{B}_0$  hodnota energie

$$E = -\gamma m h \mathbf{B}_0 / 2\pi$$

Soustředíme-li se na nejčastěji měřená jádra se spinovým číslem  $I = 1/2$ , magnetické kvantové číslo může nabývat dvou hodnot  $m = -1/2$  a  $m = 1/2$ . Jaderný magnetický moment může mít v magnetickém poli o indukci  $\mathbf{B}_0$  dva stavů s energetickými hladinami označovanými  $\alpha$  a  $\beta$ :

$$E_\alpha = -0,5 \gamma h \mathbf{B}_0 / 2\pi$$
$$E_\beta = 0,5 \gamma h \mathbf{B}_0 / 2\pi,$$

mezi nimiž je energetický rozdíl:

$$\Delta E = \gamma h B_0 / 2\pi$$

Tento energetický rozdíl odpovídá frekvenci přechodu  $v = \gamma B_0 / 2\pi$  (tzv. **NMR rezonanční podmínka**). Tato frekvence leží u dnes dosahovaných magnetických polí v oblasti desítek až stovek MHz. Zastoupení (populace) jader na obou hladinách je téměř stejné vzhledem k malému energetickému rozdílu; nadbytek na nižší hladině je v závislosti na intenzitě magnetického pole řádově  $10^{-5}$ . Přesný poměr jader ve spinovém stavu  $\alpha$  a ve spinovém stavu  $\beta$  lze vypočítat pomocí Boltzmannova zákona:

$$N_\alpha / N_\beta = e^{\Delta E / k_b T},$$

kde  $k_b$  je Boltzmannova konstanta ( $= 1,3805 \times 10^{-23} \text{ JK}^{-1}$ ) a za  $\Delta E$  dosadíme rozdíl mezi energiemi spinů  $\alpha$  a  $\beta$ . Například v poli o indukci 11.74 T platí pro vodíky  ${}^1\text{H}$ :  $N_\beta \approx 0,99992 N_\alpha$ , to znamená, že na 100000 vodíkových jader se spinovým stavem  $\alpha$  připadá 99992 jader ve stavu  $\beta$ . Čím větší je indukce magnetického pole, tím větší je energetický rozdíl mezi stavy  $\alpha$  a  $\beta$ , a tím větší je rozdíl v populacích jednotlivých spinových stavů. Větší rozdíl v populacích stavů vede k větší citlivosti NMR metody.

Citlivost NMR spektroskopie je největší slabinou této spektrální metody. V porovnání například s hmotnostní spektrometrií je množství látky nutné pro analýzu mnohem vyšší – řádově miligramy. Takové množství látky ale většinou pro organické chemiky nebývá problém připravit a navíc NMR spektroskopie je nedestruktivní metoda, tedy veškerý materiál použitý pro analýzu lze získat zpět. Podstatná část vývoje NMR spektrometrů i měřících technik je vedena snahou o zvýšení citlivosti.

Intenzita signálů ( $A$ ) je důležitou informací, kterou je možno z NMR spekter získat. Udává se relativně vůči ostatním signálům a lze ji vyjádřit vzorcem:

$$A = \frac{n i B_0^2 \gamma I(I+1)}{T}$$

kde  $n$  je počet ekvivalentních jader a  $i$  je přírodní zastoupení daného jádra.

Protože v jednom spektru jsou společně měřena vždy jádra stejného druhu, ve stejném magnetickém poli a při stejném teplotě, je plocha každého signálu úměrná počtu ekvivalentních jader v molekule. Z výše uvedeného vzorce také vyplývá vztah mezi intenzitami signálů různých jader. Změříme-li na stejném přístroji a při stejném teplotě protonové a křemíkové spektrum sloučeniny obsahující seskupení  $-\text{SiCH}_3$ , zjistíme, že intenzity signálů vodíku a křemíku jsou v poměru 8135:1.

Abychom u jader s nízkou citlivostí nebo s nízkým zastoupením měřeného izotopu dosáhli potřebného poměru signálu k šumu (S/N), musíme používat koncentrovanější vzorky, vzorky sloučenin obohacených měřeným izotopem, případně větší krytiny. Další možností je používat dlouhé akumulace spekter.

Z výše uvedeného vzorce je patrné, že intenzita signálu (a tedy citlivost měření) můžeme podstatně zvýšit, prováděme-li NMR experimenty na spektrometrech s výším magnetickým polem. Proto se neustále vyvíjejí spektrometry se stále vyším magnetickým polem.

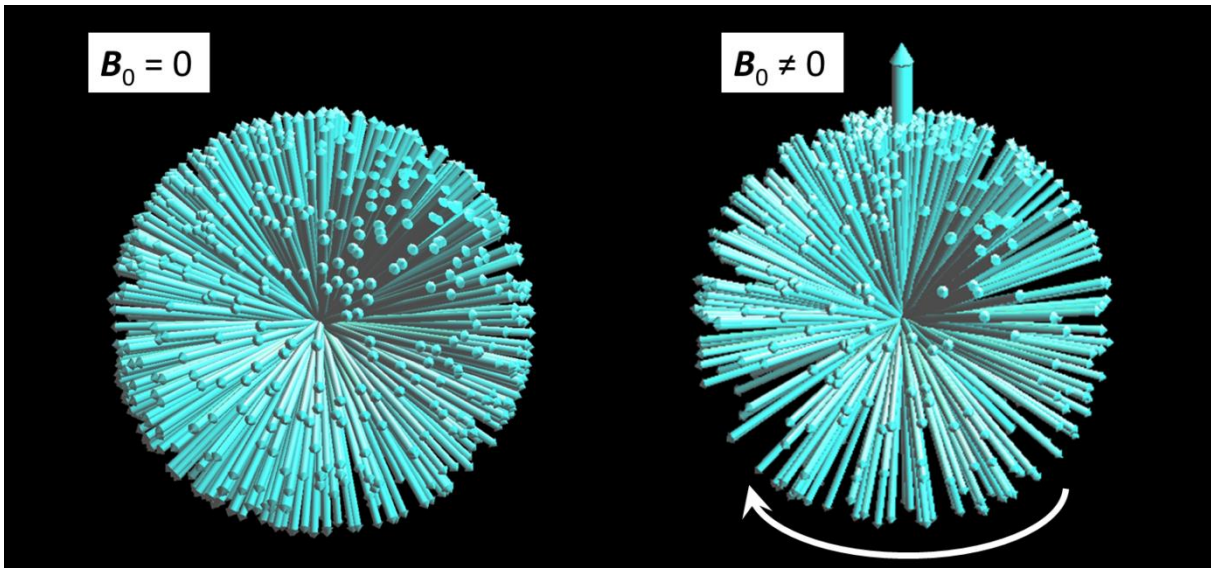
V [tabulce 2.1](#) jsou shrnuty důležité magnetické vlastnosti jader vybraných izotopů. Všimněte si, že gyromagnetický poměr  $\gamma$  může mít kladné i záporné znaménko. Jádra s opačným znaménkem  $\gamma$  mají opačný směr precese jejich jaderných magnetických momentů. V předposledním sloupci je uvedena rezonanční frekvence v magnetickém poli o indukci 11.74 T (Tesla,  $\text{V.s.m}^{-2}$ ). V NMR spektroskopii je

zvykem udávat indukci  $B_0$  magnetického pole určitého přístroje jako frekvenci, při níž rezonují jádra  $^1H$ . Hovoříme tak často o 500 MHz NMR spektrometru, „intenzitě pole 500 MHz“ a podobně. V posledním sloupci tabulky je uvedena relativní citlivost izotopů pro měření NMR spekter. Nejcitlivějším izotopem je  $^1H$ . Ostatní izotopy jsou méně citlivé, protože mají menší gyromagnetický poměr, tím pádem i nižší energetický rozdíl mezi spinovými stavami  $\alpha$  a  $\beta$  a nižší přebytek spinových stavů  $\alpha$  v rovnováze. K nízké citlivosti některých izotopů přispívá i jejich malý přirozený výskyt. Například izotop  $^{13}C$  má přirozený výskyt kolem 1% a zbytek (99%) jsou magneticky neaktivní jádra  $^{12}C$ , to znamená, že pouze jedna setina uhlíkových jader přispívá k NMR signálu.

**Tabulka 2.1.** Magnetické vlastnosti izotopů nejdůležitějších prvků, které se vyskytují v organických látkách.

Jádro	Spin	Přirozený výskyt / %	$\gamma / 10^7 \text{ rad T}^{-1} \text{s}^{-1}$	NMR frekvence v poli 11,74 T / MHz	Citlivost
$^1H$	1/2	99,99	26,75	500,0 MHz	100
$^2H$	1	0,01	4,11	76,8 MHz	0,0001
$^3H$	1/2	-	28,54	533,3	0
$^{12}C$	0	98,93	-	-	-
$^{13}C$	1/2	1,07	6,73	125,7 MHz	0,02
$^{14}N$	1	99,63	1,93	36,1 MHz	0,1
$^{15}N$	1/2	0,37	-2,71	50,7 MHz	0,0004
$^{16}O$	0	99,96	-	-	-
$^{17}O$	5/2	0,037	-3,63	67,8 MHz	0,001
$^{19}F$	1/2	100	25,18	470,4 MHz	83
$^{31}P$	1/2	100	10,84	202,4 MHz	6,6

Jak již bylo uvedeno, jádra s  $I = 1/2$  mohou nabývat dvou spinových stavů. V NMR se ustálilo používání souřadného systému tak, že kladný směr osy z míří ve směru magnetického pole. V **rovnovážném stavu** mimo magnetické pole mají jaderné magnetické momenty náhodnou orientaci ([Obrázek 2.1](#)), v magnetickém poli mají jaderné magnetické momenty také náhodnou orientaci, ale postupně se vytvoří mírný přebytek jader s energetickou hladinou  $\alpha$ , které mají kladný průměr jaderného magnetického momentu do osy magnetického pole (z). Navíc v magnetickém poli všechny jaderné magnetické momenty vykonávají precesní pohyb kolem osy z. Malý přebytek jader na nižší energetické hladině (jsou to podle konvence spiny nad rovinou xy) způsobí, že **celková magnetizace  $M$**  vzorku (vektorový součet magnetických momentů jednotlivých jader) směřuje ve směru osy z. Na [obrázku 2.1](#) je označena tučnou šipkou. Magnetizace  $M$  je na rozdíl od jaderných magnetických momentů makroskopická veličina, se kterou lze určitými způsoby manipulovat a poté ji detektovat.



Obrázek 2.1. Jaderné magnetické momenty v nulovém a nenulovém magnetickém poli.

## 2.2 Chemický posun

Z výše uvedeného vztahu pro energetický rozdíl mezi spinovými stavů vyplývá, že všechna jádra jednoho izotopu vložená do téhož magnetického pole budou rezonovat při stejné frekvenci. Kdyby tomu tak bylo, nemělo by smysl hovořit o NMR spektrech, protože tato spektra by obsahovala pouze jediný signál pro každý izotop obsažený ve vzorku.

Pozorování NMR spekter je umožněno tím, že jádra atomů jsou od magnetického pole, v němž se nacházejí, **stíněna** elektrony. Elektrony svým pohybem vytvářejí magnetické pole, které má opačný směr než vnější magnetické pole  $B_0$ . Jádra stejného izotopu, která nemají stejné chemické okolí (tedy nejsou chemicky ekvivalentní) se liší rozložením elektronů ve svém okolí a tím sice velmi nepatrně, ale pozorovatelně, intenzitou stínění. Ta je úměrná vnějšímu magnetickému poli  $B_0$  a charakterizujeme ji stínící konstantou  $\sigma$ . Efektivní magnetické pole  $B_{\text{ef}}$ , které působí na jádro, vyjadřuje vztah

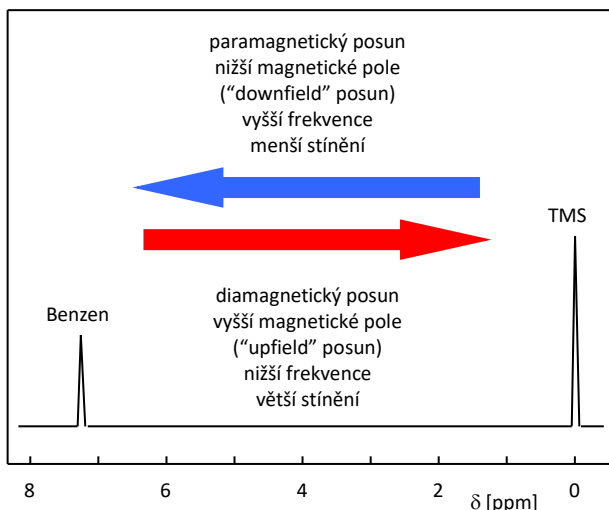
$$B_{\text{ef}} = B_0 - \sigma B_0 = B_0 \cdot (1 - \sigma).$$

Jestliže na jádra působí různě velké efektivní magnetické pole, budou mít tato jádra i různou rezonanční frekvenci. Například pokud mají jádra  $^1\text{H}$  tetramethylsilanu (TMS) v poli 11.74 T rezonanční frekvenci přesně 500000000 Hz (500 MHz), vodíky  $\text{CH}_3$  skupiny methanolu jsou méně stíněné a budou mít rezonanční frekvenci 500001650 Hz a vodíky benzenu, které jsou ještě méně stíněné, budou mít rezonanční frekvenci 500003635 Hz. V magnetickém poli o poloviční intenzitě, by vodíky TMS rezonovaly při 250 MHz, vodíky  $\text{CH}_3$  skupiny methanolu při 250000825 Hz a vodíky benzenu při 250001817,5 Hz. Pro vyjadřování rezonančních frekvencí se ujala stupnice chemického posunu  $\delta$  s jednotkou **ppm** (parts per milion). Chemický posun je definován takto:

$$\delta_x = 10^6 \cdot (v_x - v_{\text{ref}}) / v_{\text{ref}},$$

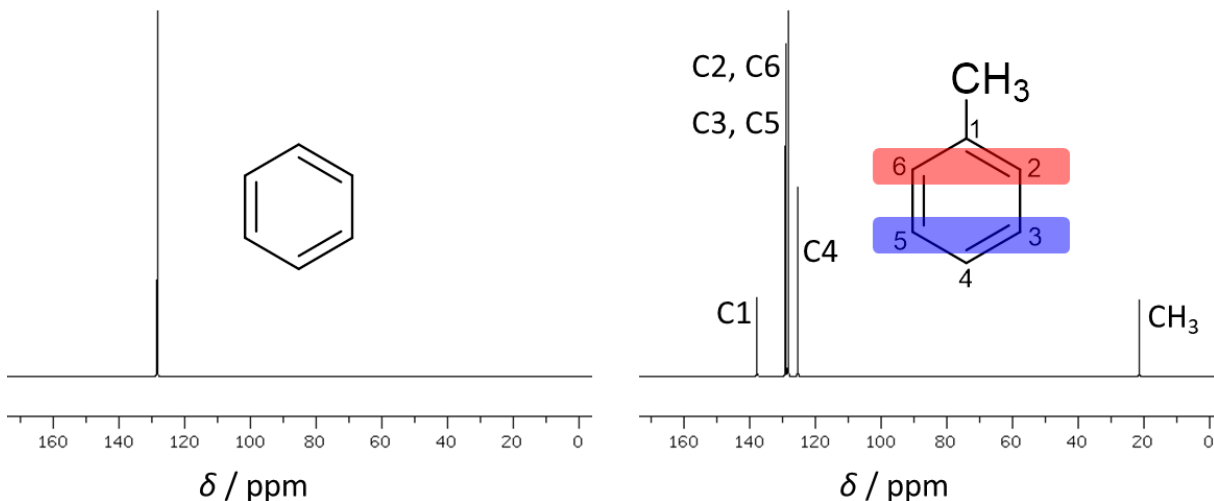
kde  $\delta_x$  je chemický posun atomu  $x$ ,  $v_x$  je rezonanční frekvence atomu  $x$  a  $v_{\text{ref}}$  je rezonanční frekvence referenční sloučeniny. Budeme-li za referenční sloučeninu považovat TMS a dosadíme-li výše uvedené rezonanční frekvence do vzorce, vyjde nám, že chemický posun vodíků methylové skupiny

v methanolu je 3,3 ppm a chemický posun benzenových vodíků je 7,27 ppm. Hlavní výhodou chemického posunu  $\delta$  je to, že nezávisí na velikosti magnetického pole, tedy u různých NMR spektrometrů s různými indukcemi magnetického pole nabývá vždy stejné hodnoty. Jádra, která jsou více stíněna elektronami, mají nižší chemický posun. Směr od vyšších k nižším chemickým posunům  $\delta$  se v NMR spektrech také nazývá směr k vyššímu magnetickému poli („upfield shift“), k nižší frekvenci nebo diamagnetický posun. Opačný směr k vyšším hodnotám  $\delta$  se nazývá paramagnetický posun nebo směr k nižšímu poli („downfield shift“) nebo směr k vyšší frekvenci (Obrázek 2.2).



Obrázek 2.2. Schematické znázornění  $^1\text{H}$  NMR spektra se signály při vyšším a nižším chemickém posunu.

Jádra se stejným chemickým okolím se nazývají **chemicky ekvivalentní** a mají stejné stínění elektronami a tedy i stejnou rezonanční frekvenci (společný signál ve spektru). Například v molekule benzenu jsou díky symetrii všechna uhlíková jádra chemicky ekvivalentní a v  $^{13}\text{C}$  NMR spektru benzenu budeme pozorovat pouze jeden signál. Totéž platí pro vodíková jádra, v  $^1\text{H}$  spektru benzenu je jediný signál s příslušným chemickým posunem. Naproti tomu v molekule toluenu nejsou všechna uhlíková jádra chemicky ekvivalentní; díky symetrii molekuly budeme v  $^{13}\text{C}$  spektru očekávat 5 signálů: jeden signál uhlíku methylové skupiny, jeden signál kvartérního aromatického uhlíku a tři signály CH aromatických uhlíků. Uhlíky C2 a C6 jsou chemicky ekvivalentní a budou mít společný signál, uhlíky C3 a C5 jsou také chemicky ekvivalentní a budou rezonovat při stejné frekvenci (obrázek 2.3). Ve vodíkovém spektru toluenu budeme očekávat 4 signály: jeden pro vodíky methylové skupiny (tři vodíky v methylové skupině jsou vždy ekvivalentní) a tři aromatické signály, z nichž dva budou mít dvojnásobnou intenzitu.



Obrázek 2.3.  $^{13}\text{C}$  NMR spektra benzenu a toluenu.

Chemicky ekvivalentními atomy nejlépe poznáme podle toho, že při postupném nahrazení každého z nich jiným atomem vznikne vždy stejná sloučenina. Například diethylether obsahuje 6 chemicky ekvivalentních protonů v methylových a 4 chemicky ekvivalentní protony v  $-\text{CH}_2-$  skupinách. Náhradou kteréhokoliv z prvních 6 atomů vodíku např. chlorem vznikne 1-ethoxy-2-chlorethan, kteréhokoliv ze zbývajících 4 vodíků 1-ethoxy-1-chlorethan. Protonové NMR spektrum diethyletheru bude tedy obsahovat dva signály, jejichž intenzity budou v poměru 6:4, tedy 3:2. Intenzity nejsou představovány výškou pásů, ale jejich plochou; často se nazývají integrálními intenzitami. Uvedená pravidla platí pouze pro spektra, u nichž nebyla použita nějaká manipulace s populacemi na jednotlivých hladinách.  $^1\text{H}$  NMR spektra jsou příkladem spekter, u nichž lze takto počty chemicky ekvivalentních jader zjistit.

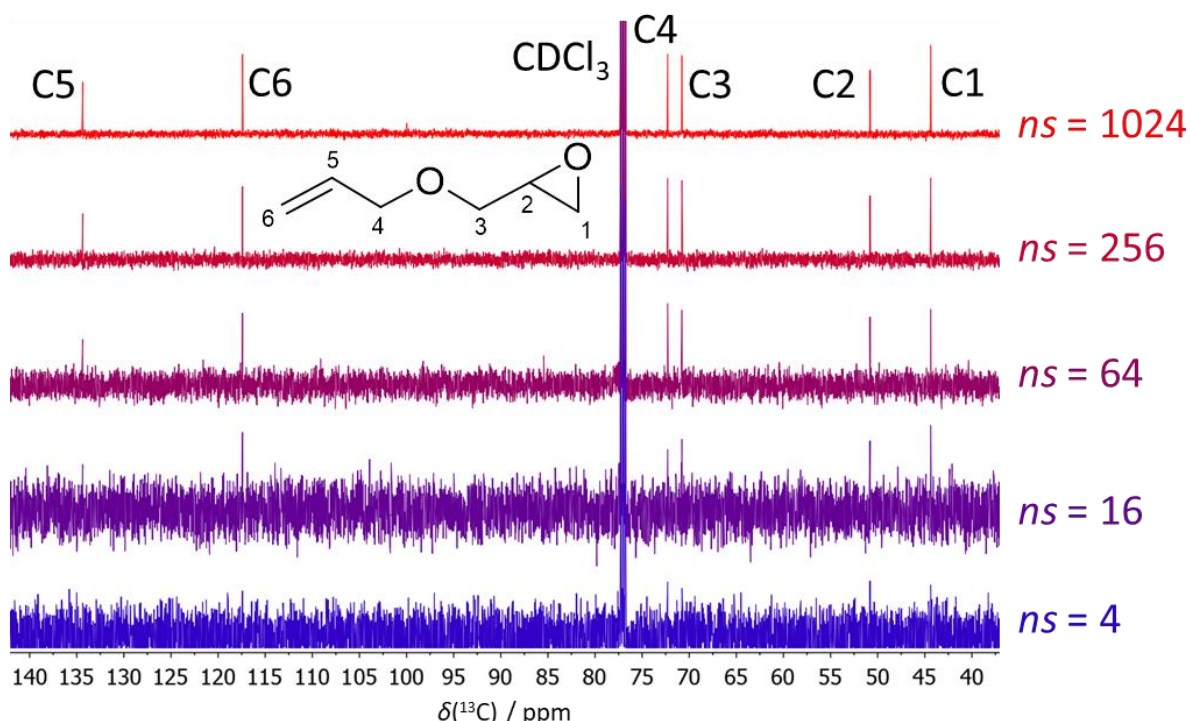
### 2.3 Snímání NMR signálu

Předchozí výklad stačí k pochopení klasické, tzv. **CW** (continuous wave) NMR spektroskopie: Vzorek obsahující magneticky aktivní jádra vložíme do magnetického pole a do blízkosti vzorku umístíme cívku, kterou protéká střídavý proud o frekvenci v oblasti MHz. Potom měníme spojitě intenzitu magnetického pole  $B_0$  nebo frekvenci proudu v cívce. Při splnění výše uvedené rezonanční podmínky dojde k absorpci radiofrekvenčního záření, kterou můžeme měřit různými způsoby běžnými v elektrotechnice. CW NMR spektrometry se běžně vyráběly až do sedmdesátých let minulého století. Jejich elektronika byla poměrně jednoduchá a ke zpracování dat nebyl třeba počítač. Generátor frekvence byl řízen pozicí pisátka na ose X zapisovače nebo osciloskopu a v ose Y byl registrován zesílený signál z měřiče absorbce.

Většina současných spektrometrů pracuje v jiném, tzv. **FT** (Fourier transform) modu. Při něm jsou všechna jádra jednoho izotopu excitována velmi krátkým radiofrekvenčním **pulzem** o trvání řádově několik  $\mu\text{s}$ . Tak krátký pulz má jistou neurčitost frekvence a pokryje obvykle frekvenční oblast všech jader jednoho izotopu. Pulz má za následek vychýlení vektoru magnetizace  $\mathbf{M}$  z osy  $z$ , typický je například  $90^\circ$  pulz, který stočí vektor magnetizace do roviny  $xy$ . Larmorova precese jednotlivých jaderných magnetických momentů  $\mu$  vede k precesi makroskopické magnetizace se stejnou (Larmorovou) frekvencí. Precesní pohyb magnetizace indukuje elektrický proud v měřící cívce. Záznam tohoto indukovaného proudu (tedy NMR signál) se označuje **FID** (free induction decay, volné dozívání indukce). FID má tvar exponenciálně tlumené periodické funkce představující součet

sinusoid s frekvencemi příslušejícími jednotlivým signálům a představuje **závislost intenzity proudu indukovaného ve snímací cívce na čase**. FID je v digitální formě uložen do paměti počítače a podroben Fourierově transformaci vedoucí ke spektru představujícímu **závislost intenzity na frekvenci**.

Výhodou FT NMR spektroskopie je především možnost opakovat rychle po sobě stejná měření a výsledné FIDy sčítat. Tím se zvyšuje citlivost měření a je možno měřit i zředěné vzorky nebo jádra s velmi malou citlivostí. Intenzita signálu roste úměrně počtu akumulovaných FIDů, intenzita šumu roste s počtem akumulací úměrně jejich druhé odmocnině. Provedeme-li tedy akumulaci 100 FIDů, zlepší se poměr signálu k šumu 10x. Chceme-li zlepšit poměr signálu k šumu dvojnásobně, musíme počítat pro experiment se čtyřnásobně dlouhou dobou ([obrázek 2.4](#)). Druhou výhodou FT NMR je možnost pomocí pulzů manipulovat se spinovými systémy či s populacemi na jednotlivých hladinách a tím získávat spektra obsahující další cenné informace.

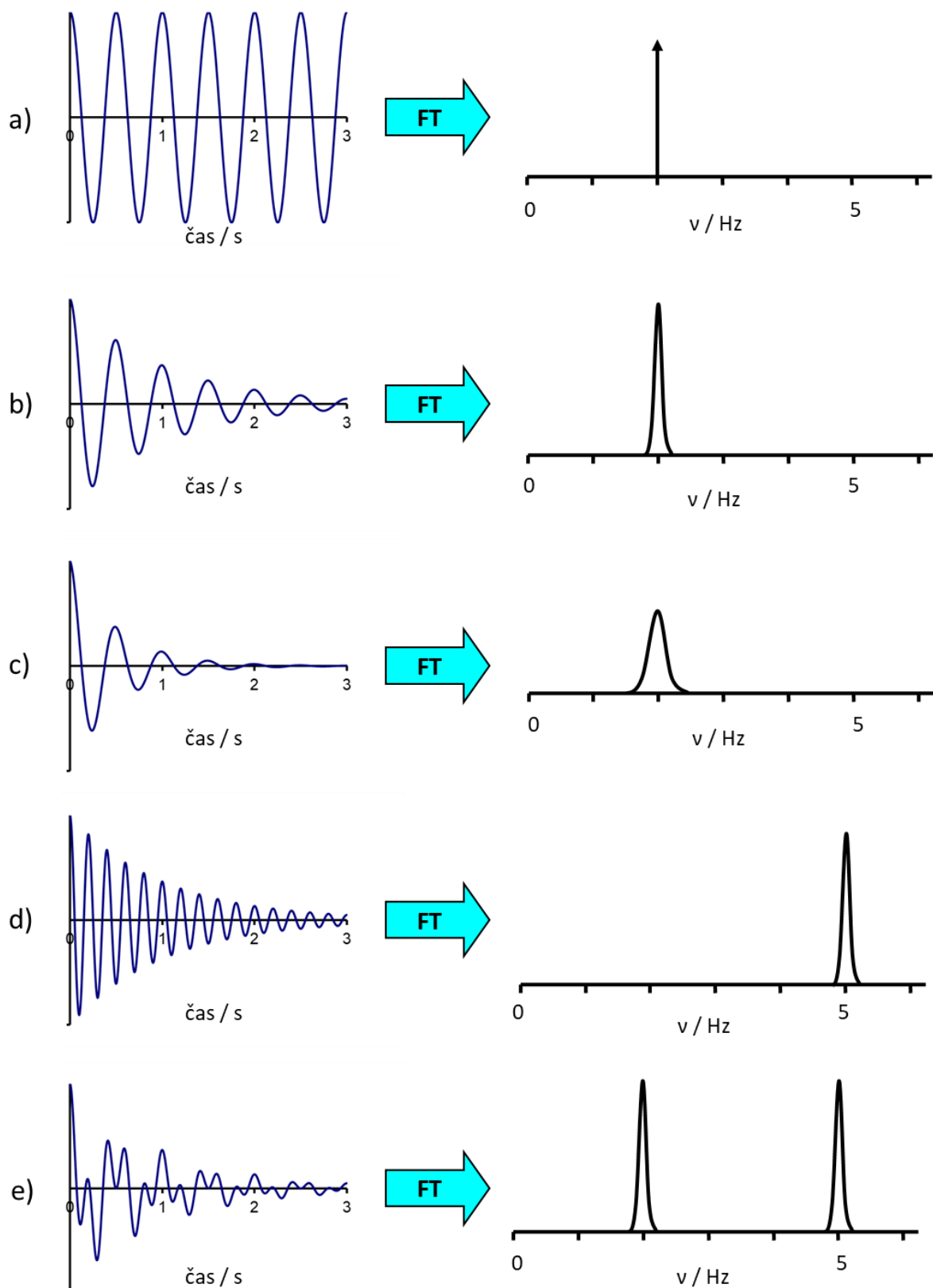


**Obrázek 2.4.** <sup>13</sup>C NMR spektra (s <sup>1</sup>H dekaplinkem) allyl glycidyl etheru měřená s různým počtem průchodů pulzní sekvencí (ns).

#### 2.4 Fourierova transformace

FID je časový záznam intenzity indukovaného proudu v měřící cívce (na ose x je čas) a spektrum je závislost spektrální intenzity na frekvenci (na ose x je frekvence). Fourierova transformace je matematický nástroj, který umožňuje z časového záznamu (FIDu) získat spektrum. Na [obrázku 2.5](#) je několik příkladů časových závislostí a spekter vzniklých po Fourierově transformaci. [Obrázek 2.5a](#) vlevo představuje neklesající periodickou funkci (cosinus), u které za jednu sekundu proběhnou dvě periody. Vpravo je pak spektrum vzniklé po Fourierově transformaci této funkce. Ve spektru vidíme polopřímku protínající osu x v bodě 2 Hz (2 periody za sekundu). Na [obrázku 2.5b](#) je klesající cosinová funkce se stejnou periodou jako na [obrázku 2.5a](#). Podobně by vypadal FID změřený u vzorku s jedním signálem. Fourierovou transformací této klesající funkce vznikne signál u 2 Hz. Pološířka signálu (šířka signálu v polovině jeho výšky) souvisí s rychlosťí klesání cosinové funkce. Čím rychleji klesá periodická

funkce k nule, tím širší je výsledný signál. To je vidět na obrázku 2.5c, kde je zobrazena periodická funkce se stejnou periodou (dva cykly za sekundu), která ale rychleji klesá k nule. Ve výsledném spektru je širší signál u 2 Hz. Plocha signálu je stále stejná; když se zvětšila šířka signálu, snížila se jeho výška. Na dalším obrázku 2.5d je opět klesající cosinová funkce, tentokrát s periodou pět cyklů za sekundu. Spektrum vzniklé po Fourierově transformaci obsahuje jeden signál u 5 Hz. Na obrázku 2.5e je časová funkce, která vznikla součtem dvou klesajících cosinů s periodou dva a pět cyklů za sekundu. Ve výsledném spektru jsou pak dva signály u 2 Hz a 5 Hz.



Obrázek 2.5. Fourierova transformace převádí FID (časovou závislost) na spektrum (frekvenční závislost).

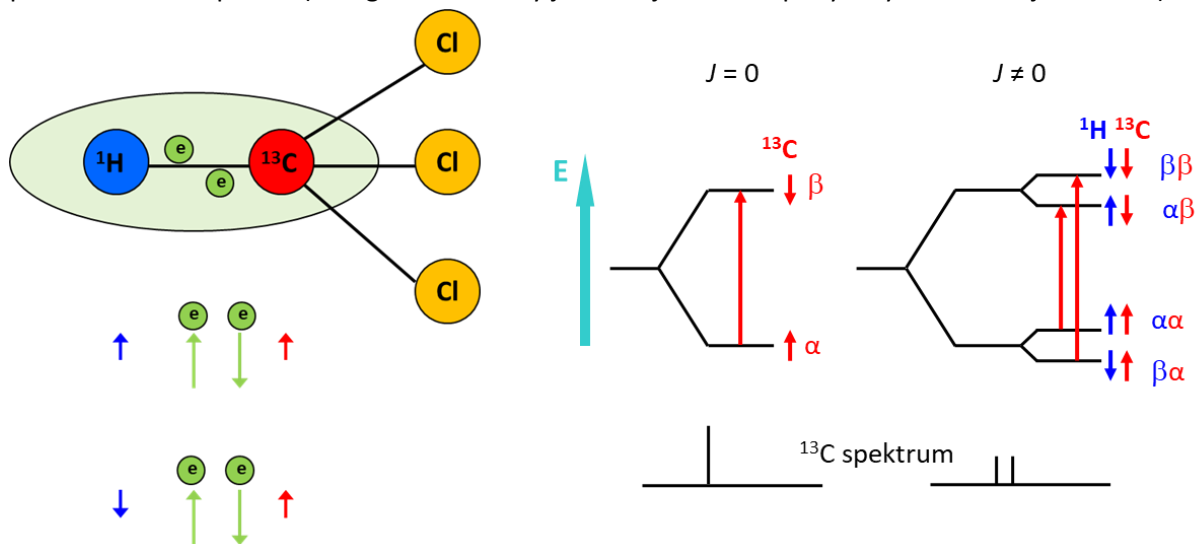
## 2.5 Magnetické interakce jader

V NMR spektrech se mohou projevovat dva typy magnetických interakcí mezi jádry atomů v molekulách:

- 1) Přímé dipól-dipolové (dipolární) interakce jsou důsledkem vzájemného působení magnetických momentů jader prostorem. V izotropních prostředích (kapaliny, roztoky) jsou tyto interakce zprůměrovány k nule rychlými reorientacemi molekul v důsledku Brownova pohybu.
- 2) Nepřímé spin-spinové interakce (skalární) jsou zprostředkovány vazebními elektronami (elektrony mají také svůj spin) a způsobují štěpení (multiplicitu) signálů pozorovatelné v NMR spektrech měřených v izotropních prostředích.

Mechanismus nepřímé spin-spinové interakce si můžeme ukázat na jednoduchém příkladu heteronukleární interakce v molekule chloroformu  $^{13}\text{CHCl}_3$  (obrázek 2.6). Magnetický moment vodíku způsobuje slabou magnetickou polarizaci vazebních elektronů (energeticky výhodnější je opačná orientace spinu jádra a elektronu). Spiny valenčních elektronů se řídí jednak Hundovým pravidlem, jednak Pauliho principem. Podle Pauliho principu mají elektrony v jednom orbitalu vždy opačný spin. Interakce s jadernými spiny vede ke dvěma možným stavům - mají-li oba jaderné spiny ( $^1\text{H}$  i  $^{13}\text{C}$ ) stejná znaménka, energie celého systému je poněkud vyšší než u systému s různými znaménky jaderných spinů, kde se znaménka jaderných a elektronových spinů střídají.

Na obrázku 2.6 vpravo je zobrazen energetický diagram jádra uhlíku  $^{13}\text{C}$  v magnetickém poli bez spin-spinové interakce. Toto jádro má dva možné spinové stavy ( $\alpha$  a  $\beta$ ), mezi nimiž je energetický rozdíl  $\Delta E$  a ve spektru lze pozorovat jeden signál odpovídající tomuto přechodu ( $\alpha \rightarrow \beta$ ). Na obrázku vpravo je situace jádra uhlíku  $^{13}\text{C}$  s nepřímou spin-spinovou interakcí s jádrem vodíku. Oba spinové stavy uhlíku ( $\alpha$  i  $\beta$ ) jsou v důsledku interakce se spiny jádra vodíku štěpeny na dvě energetické hladiny. V tomto diagramu lze pozorovat dva různé přechody jádra  $^{13}\text{C}$   $\alpha \rightarrow \beta$ . Oba přechody mají různý energetický rozdíl  $\Delta E$ , to se projeví ve spektru tím, že pozorujeme dvě různé frekvence. Signál uhlíku  $^{13}\text{C}$  se tedy rozštěpil na dvě linie o stejné intenzitě. Stejně rozštěpení signálu můžeme zároveň pozorovat i v  $^1\text{H}$  spektru (energetické hladiny jádra  $^1\text{H}$  jsou rozštěpeny díky interakci s jádrem  $^{13}\text{C}$ ).



Obrázek 2.6. Heteronukleární skalární spinová interakce v molekule chloroformu.

Velikost nepřímé spin-spinové interakce udává interakční konstanta  $J$  (jednotkou je Herz, Hz). Tato konstanta se označuje vlevo nahoře indexem udávajícím počet vazeb mezi interagujícími jádry. Podle počtu vazeb mezi interagujícími jádry jsou  $J$  označovány jako přímé ( $^1J$ ), geminální ( $^2J$ ), vicinální ( $^3J$ ) a

interakce na velkou vzdálenost ( $^4J$ ,  $^5J$ , ...). V našem příkladu molekuly  $^{13}\text{CHCl}_3$  má přímá spin-spinová interakce  $^1\text{H}-^{13}\text{C}$  hodnotu  $^1J = 209$  Hz. Interakční konstanta  $J$  může být kladná nebo záporná, obojí se ale v jednoduchých NMR spektrech projeví stejně, ze spektra lze odečíst absolutní hodnotu  $J$  ze vzdáleností čar v multipletech. Na rozdíl od rezonanční frekvence interakční konstanty **nezávisí na indukci vnějšího magnetického pole**. Skalární interakci **nelze pozorovat mezi chemicky ekvivalentními jádry**.

Pokud jádro interaguje s více magnetickými jádry, jejich vliv se ve spektru projevuje následovně: každá linie, která vznikne interakcí s jedním jádrem, je dále štěpena na další linie interakcí s dalším jádrem. U běžných jader  $s = 1/2$  dochází při každé interakci ke vzniku dvou linií z jedné původní. Signál se potom skládá z řady linií a jeho celkový vzhled nazýváme **multiplicita signálu**.

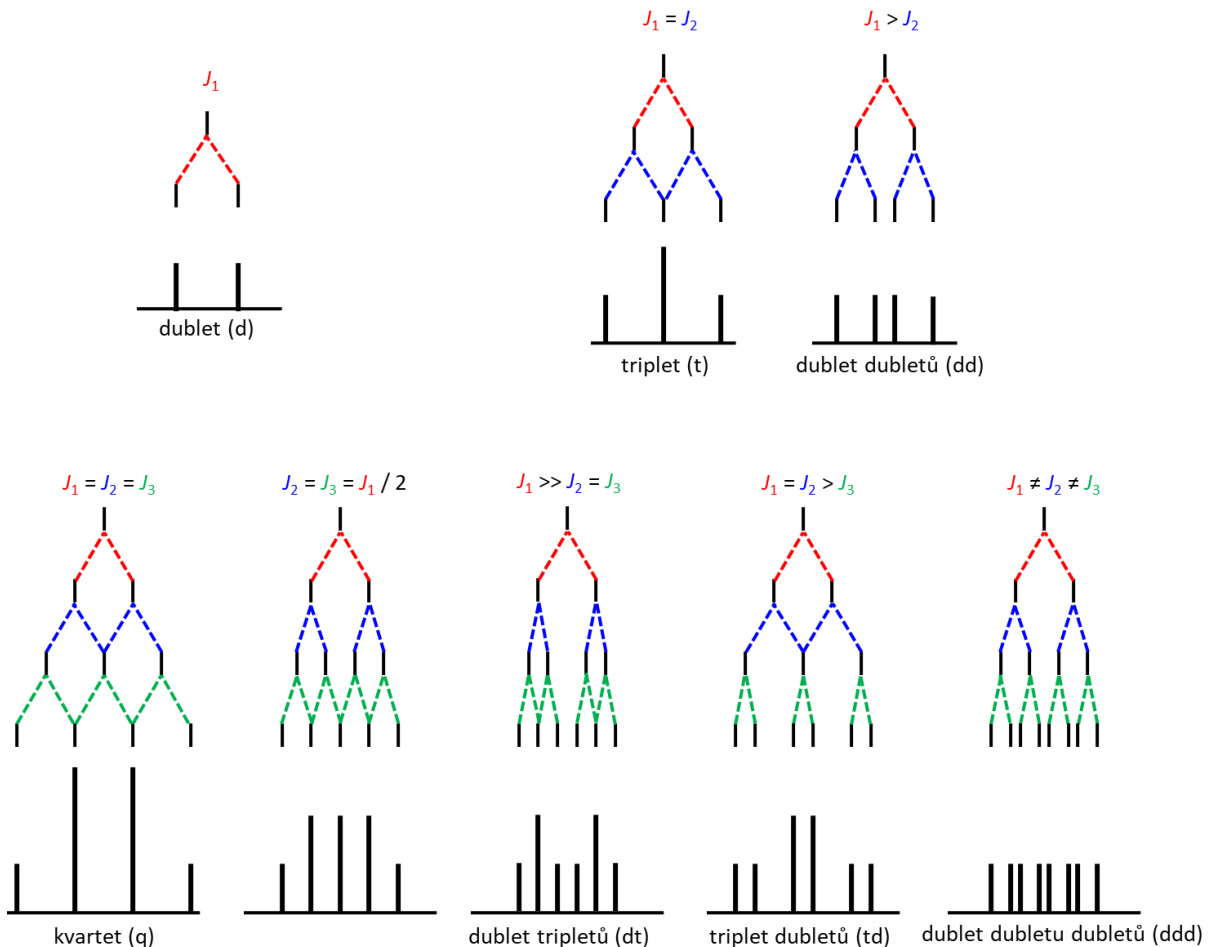
Tak například jádra štěpená interakcí se dvěma jádry se stejnými interakčními konstantami vytvoří **triplet** o poměru intenzit linií 1:2:1 ([obrázek 2.7](#)). Prostřední dvojnásobná linie zde vznikla splynutím dvou linií. Tato situace nastane obvykle při štěpení dvěma chemicky ekvivalentními jádry a tento tvar budou mít např. signály  $^{13}\text{C}$  označených v následujících sloučeninách:  $\text{CH}_2\text{Cl}_2$ ,  $\text{Cl}_2\text{C}=\text{CH}_2$ .

Pokud nejsou interakční konstanty stejné, pozorujeme ve spektru čtyři liny o stejných intenzitách, tzv. **doublet doubletů**. Vzdálenosti 1. a 2. linie či 3.a 4. linie představují jednu interakční konstantu, vzdálenosti 1. - 3. a 2. - 4. konstantu druhou.

Pro štěpení třemi interagujícími jádry již existuje mnoho tvarů výsledného multipletu. Při štěpení se třemi stejnými interakčními konstantami vznikne **kvartet** (čtyři liny v poměru intenzit 1:3:3:1). Kvartetovou strukturu mají obvykle signály jader  $^{13}\text{C}$  methylové skupiny, která obsahuje tři ekvivalentní protony:  $\text{CH}_3\text{OH}$ ,  $\text{CH}_3\text{Cl}$ .

Ostatní tvary multipletů nazýváme podle celkového vzhledu např. dublet tripletů, triplet dubletů a pod. Není-li zřejmé, jakou strukturu signál má (v důsledku překryvů či spektra vyššího řádu), nazýváme ho obecně **multiplet**.

V případě štěpení signálu skalárními interakcemi se stejnými velikostmi interakčních konstant můžeme poměr intenzit linií ve výsledném multipletu zjistit z Pascalova trojúhelníku ([obrázek 2.8](#)).



Obrázek 2.7. Štěpení signálu jádra, které má skalární interakci s jedním, dvěma nebo třemi dalšími jádry.

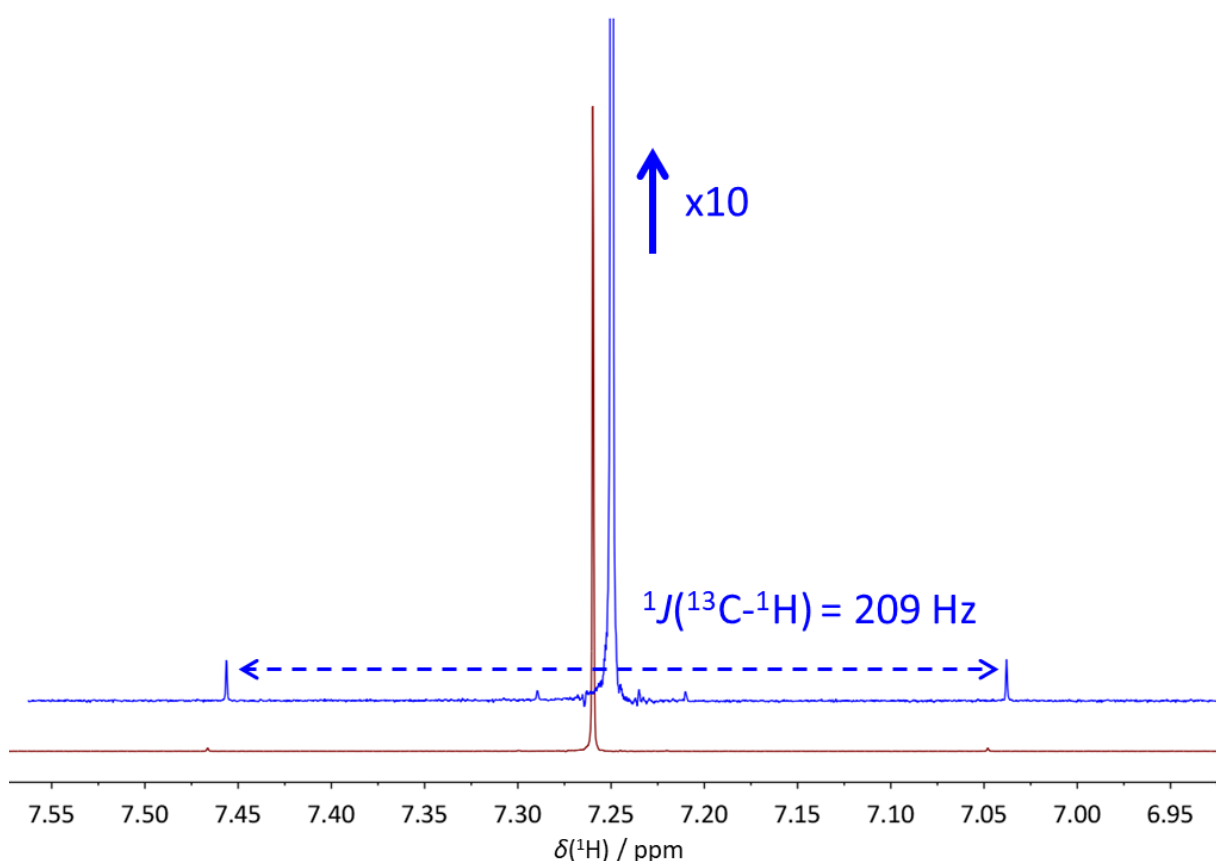
<b>singlet (s)</b>	1
<b>dublet (d)</b>	1 1
<b>triplet (t)</b>	1 2 1
<b>kvartet (q)</b>	1 3 3 1
<b>pentet (p)</b>	1 4 6 4 1
<b>sextet</b>	1 5 10 10 5 1
<b>septet</b>	1 6 15 20 15 6 1

Obrázek 2.8. Pascalův trojúhelník – každé číslo v něm je vždy součet dvou čísel, které se nacházejí nad ním. Pomocí Pascalova trojúhelníku můžeme odvodit poměr intenzit linií v multipletech (dublet – 2 linie s poměrem intenzit 1:1, triplet – 3 linie s poměrem intenzit 1:2:1, atd.)

Štěpení signálů způsobené spin-spinovými interakcemi může ztěžovat interpretaci  $^{13}\text{C}$  NMR spekter (dochází k častějšímu překryvu signálů) a navíc zhoršuje poměr signálu k šumu (například signál rozštěpený na dublet má poloviční výšku než singlet) a tím snižuje citlivost měření  $^{13}\text{C}$  NMR

spekter a zvyšuje se doba nutná pro naměření spekter. Heteronukleární ( $^1\text{H}-^{13}\text{C}$ ) spin-spinové interakce lze odstranit pomocí takzvaného širokopásmového dekaplinku. Během celé doby měření  $^{13}\text{C}$  spekter jsou jádra vodíku ozařována dalším elektromagnetickým polem s frekvencí odpovídající rezonanční frekvenci jader vodíku. To způsobí rychlé přechody mezi spinovými stavami  $\alpha$  a  $\beta$  a tím pádem vyrušení spin-spinové interakce jader vodíku s jádry uhlíku.  $^{13}\text{C}$  NMR spektra se většinou měří s dekaplinkem.

Heteronukleární ( $^1\text{H}-^{13}\text{C}$ ) skalární interakce lze pozorovat jako takzvané  $^{13}\text{C}$  satelity v  $^1\text{H}$  NMR spektrech. 99% uhlíkových jader má izotop  $^{12}\text{C}$  a jsou tedy magneticky neaktivní a nezpůsobují štěpení signálů kvůli skalárním interakcím. Proto například v  $^1\text{H}$  NMR spektru chloroformu ( $\text{CHCl}_3$ ) je majoritním signálem singlet (obrázek 2.9). Izotop  $^{13}\text{C}$ , který je přirozeně zastoupen přibližně v 1% atomů uhlíku, způsobuje štěpení signálu vodíku na dublet. Ve vodíkovém spektru chloroformu můžeme pozorovat dva málo intenzivní signály, které dohromady tvoří přibližně 1% plochy celkového signálu. Tyto dva malé signály se nachází téměř symetricky kolem majoritního signálu a vzdálenost mezi nimi odečtená v Hz odpovídá interakční konstantě  $^1J(^{13}\text{C}-^1\text{H})$ .



Obrázek 2.9.  $^{13}\text{C}$  satelity v  $^1\text{H}$  NMR spektru chloroformu.

### 3. PULZNÍ SEKVENCE A JEJICH ELEMENTY

V moderní NMR spektroskopii se se spinovými systémy často manipuluje celou řadou po sobě následujících pulzů, mezi nimiž jsou určité prodlevy, mluvíme pak o pulzních sekvencích, které se dají zapsat graficky. NMR experiment je jednoznačně definován příslušnou pulzní sekvencí, která obsahuje detailní časový popis všech dějů v průběhu experimentu.

K popisu chování spinového systému v průběhu většiny jednoduchých pulzních sekvencí lze použít **vektorový model**. Pro zjednodušení popisu pohybu vektorů magnetizace se používá rotující systém souřadnic, který má s bežnou (laboratorní) soustavou souřadnou společnou osu  $z$ , a která rotuje kolem této osy s frekvencí odpovídající Larmorové frekvenci sledovaných jader.

**Radiofrekvenční pulz** (pomocí oscilujícího magnetického pole  $\mathbf{B}_1$  kolmého na směr pole  $\mathbf{B}_0$ ) způsobuje otáčení vektoru magnetizace  $\mathbf{M}$  kolem osy pole  $\mathbf{B}_1$ . Vliv radiofrekvenčního pulzu závisí na jeho amplitudě (výkonu), délce a fázi a na stavu spinového systému v okamžiku pulzu. Pulz ve směru osy  $x$  otáčí magnetizaci v rovině  $yz$  (pulz ve směru osy  $y$  otáčí magnetizaci v rovině  $xz$ ) o sklápěcí úhel  $\alpha$ , jehož hodnota závisí na délce a amplitudě pulzu. Vycházíme-li z rovnovážného stavu, kdy magnetizace směruje podle osy  $z$ ,  $90^\circ$  pulz ( $\pi/2$  pulz) otočí magnetizaci o  $90^\circ$  do roviny  $xy$ .  $180^\circ$  pulz ( $\pi$  pulz) otočí magnetizaci do osy  $-z$ .

Obecně platí, že čím intenzivnější je radiofrekvenční pulz, tím je méně selektivní (excituje širší spektrální oblast). Při měření jednodimenzionálních NMR spekter se nejčastěji používají velmi krátké (řádově mikrosekundy) a intenzivní pulzy, nazývané tvrdé pulzy (hard pulses), které excitují co největší frekvenční oblast daného jádra. Spektrální šířku  $\Delta\nu$  excitovanou tvrdým  $90^\circ$  pulzem můžeme vypočítat podle přibližného vzorce:

$$\Delta\nu = 1/4t_p$$

kde  $t_p$  je délka použitého  $90^\circ$  pulzu. Mimo tuto spektrální šířku nedochází k úplné excitaci, sklápěcí úhel je menší než  $90^\circ$  a intenzita signálů ve spektru je nižší. Vzdálenější spektrální oblasti pak nejsou excitovány vůbec. Například  $90^\circ$  pulz o délce 5  $\mu\text{s}$  excituje spektrální oblast o šířce asi 50 kHz, což je dostačující při měření například vodíkových nebo uhlíkových jader na 500 MHz spektrometru (uvažujeme-li šířku  $^1\text{H}$  spektra 15 ppm, potřebná spektrální šířka je  $15 \times 500 \text{ Hz} = 7500 \text{ Hz}$ , spektrální šířka  $^{13}\text{C}$  spektra na témže spektrometru odpovídá  $200 \times 125 \text{ Hz} = 25000 \text{ Hz}$ ). Problém s excitací celého spektra naráz může nastat při měření spekter fluoru  $^{19}\text{F}$  nebo dalších jader s velkým rozsahem chemických posunů. Budeme-li chtít například měřit jádra  $^{19}\text{F}$  s chemickými posuny v rozsahu 400 ppm na 500 MHz spektrometru (rezonanční frekvence jader  $^{19}\text{F}$  je přibližně 470 MHz), potřebovali bychom dosáhnout excitace se spektrální šírkou  $400 \times 470 \text{ Hz} = 188 \text{ kHz}$ , což by vedlo k nutnosti použít velmi krátké a intenzivní pulzy, které přesahují technické možnosti běžných NMR sond. Z tohoto důvodu je nutné některá spektra měřit po částech s menšími spektrálními šířkami.

Maximální intenzity NMR signálu je dosaženo, když je magnetizace sklopena o  $90^\circ$  z rovnovážného stavu (osy  $z$ ) do roviny  $xy$ . Návrat magnetizace do rovnováhy z roviny  $xy$  je ale delší než při použití menšího sklápěcího úhlu a je tedy nutné čekat déle před dalším průchodem pulzní sekvencí (**repetiční čas** se prodlužuje). Repetiční čas pulzní sekvence  $t_r$  při akumulaci FIDů (načítání signálu) lze tedy zkrátit při použití sklápěcího úhlu  $\alpha < 90^\circ$ . Pro optimální sklápěcí úhel, tzv. Ernstův úhel platí rovnice:

$$\cos \alpha = \exp(-t_r/T_1)$$

kde  $T_1$  je relaxační čas charakterizující návrat magnetizace do osy z (viz [kapitola 4.1](#)).

Nepřesnosti sklápěcího úhlu, způsobené nedokonalou kalibrací, nehomogenitami pole anebo rozdílem mezi rezonanční frekvencí a frekvencí pozorovacího pulzu (rezonanční offset), lze eliminovat **kompozitními pulzy**. Například nepřesně kalibrovaný  $180^\circ$  pulz lze nahradit kompozitním pulzem složeným z trojice pulzů ( $90^\circ$ )<sub>x</sub>, ( $180^\circ$ )<sub>y</sub>, ( $90^\circ$ )<sub>x</sub>, kde indexy označují fázi pulzu.

**Fází** se rozumí směr působení radiofrekvenčního pulzu vzhledem k rotujícímu souřadnic. Pulzní sekvence používají různých (avšak předem určených) fází jednotlivých rf pulzů a přijímacích obvodů tak, abychom získali požadované spektrum. Dále se používá změny fází rf pulzů při tzv. **cyklování fází**, které se standardně používá za účelem odstranění určitých "přístrojových nedokonalostí" a výběru informace, která bude obsažena ve spektru.

Selektivní pulzy excitují pouze vybranou frekvenční oblast. Selektivity pulzu lze dosáhnout snížením intenzity pulzu a jeho prodloužením. Moderní NMR spektrometry využívají k selektivní excitaci **tvarované pulzy**, tvořené posloupností mnoha (několika stovek i tisíců) bez prodlev po sobě následujících pulzů, které se liší amplitudou i fází. Podle toho, jakou frekvenční oblast chceme selektivně excitovat, můžeme určit způsob tvarování vysokofrekvenčního pulzu. Pomocí tvarovaných pulzů lze zároveň excitovat několik frekvenčních oblastí ve spektru. Selektivní pulzy se v grafickém zápisu pulzních sekvencí zobrazují oblým tvarem připomínajícím obrácené U.

Některé pulzní sekvence používají tzv. adiabatické pulzy, což jsou pulzy modulované frekvenčně i amplitudou takovým způsobem, že k manipulaci se spinovým systémem dochází postupně pomalou změnou excitační frekvence. Při použití adiabatických pulzů nejsou tedy jednotlivé spiny s různou rezonanční frekvencí excitovány ve stejný okamžik.

**Gradientový pulz** je dalším možným elementem pulzní sekvence. Jedná se o krátkodobé vytvoření gradientu magnetického pole  $B_0$  (obvykle ve směru svislé osy z, méně často ve směru vodorovných os x a y ) pomocí speciálních cívek v gradientové NMR sondě. Využití gradientů v NMR spektroskopii je věnována [kapitola 6](#). V NMR spektroskopii vysokého rozlišení slouží nejčastěji k výraznému zkrácení doby experimentu (ve srovnání s "negradientovou" verzí téhož experimentu, např.  $^1\text{H}$ - $^1\text{H}$  COSY). Je to dáné tím, že v negradientových experimentech dosahujeme žádaného signálu a potlačení signálů nežádoucích fázovým cyklováním některé části pulzní sekvence a postupným načítáním odezvy spinového systému, což vyžaduje 4, 8 či více průchodů pulzní sekvencí. Naproti tomu v gradientové verzi pulzní sekvence je žádaný signál obdržen často již pouhým jedním průchodem pulzní sekvencí. Význam gradientových sekvencí je proto hlavně ve vícedimenzionální spektroskopii anebo při potlačení signálu rozpouštědla. V grafickém záznamu pulzních sekvencí se gradientové pulzy zapisují do samostatné řádky nazvané PFG (Pulse Field Gradient).

Některé speciální pulzní sekvence obsahují tzv. **vícekvantové filtry** ( $n$ -kvantové filtry). Jedná se o několik pulzů, které vhodnou volbou jejich vzájemných fází ze spektra vybírají jen ty linie, které jsou společné  $n$ - (a více) spinům (v případě jader se spinem  $I = 1/2$ ). Například dvoukvantový filtr nepropustí do spektra linie izolovaných spinů (např. rozpouštědel).

Měření NMR dat (snímání FIDu) se v pulzních sekvencích značí trojúhelníkem.

Použití druhého oscilujícího magnetického pole  $B_2$  (vedle excitačního pole  $B_1$  ) je označováno jako experiment s **dekaplinkem**. Podle toho, zda pozorovaná a dekaplovaná jádra patří témuž izotopu či nikoliv, rozlišujeme homo- a heteronukleární dekaplink. Míra perturbace spinového systému závisí na amplitudě ozařovacího pole  $B_2$  a jeho frekvenci. Pokud je dekaplink dostatečně intenzivní, projeví se kolapsem multipletů (odtraněním štěpení signálů kvůli skalárním interakcím s dekaplovaným jádrem).

Při **selektivním dekaplinku** vodíků se používá pole  $B_2$  (s frekvencí rovnou rezonanční frekvenci

vybraného vodíku), které způsobí rychlé přechody mezi energetickými hladinami jader tohoto vodíku. Doba života  $t_H$  spinových stavů vodíkových jader se zkracuje, podmínka pro pozorování jeho interakcí s ostatními jádry X ( $t_H > 1/J(H-X)$ ) přestává platit a všechny interakce  $J(H-X)$  ve spektru zmizí.

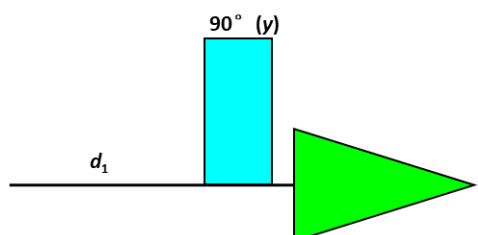
Použitím silnějšího pole  $B_2$  (obvykle s vhodnou modulací) lze současně ozařovat jádra s různými rezonančními frekvencemi. Je-li takto ozařována celá frekvenční oblast protonového spektra hovoříme o **širokopásmovém dekaplinku** vodíků. V případě dekaplinku protonů (s šírkou spektra např. 10 ppm) to znamená, že na spektrometru s pracovním kmitočtem 500 MHz musí dekaplink pokrýt frekvenční pásmo alespoň 5000 Hz. K tomu je třeba používat dekaplovacího kmitočtu s vyšším výkonem než při selektivním dekaplinku a nosný kmitočet modulovat.

V pulzní sekvenci je dekaplink označen obdélníkem ve vodíkovém kanále a označením BB (zkratka z Broad Bend decoupling – širokopásmový dekaplink). Širokopásmový dekaplink vodíků zapnutý v celém průběhu pulzní sekvence navíc vede ke zvýšení rozdílů v populacích hladin pozorovaných jader X (ustavení NOE, [kapitola 5](#)) a tedy k vyšší intenzitě naměřených signálů.

Je-li silné pole  $B_2$  umístěno mimo frekvenční oblast protonového spektra, jde o **mimorezonanční dekaplink** vodíků a ve spektru jader X pak pozorujeme místo pravých hodnot redukované interakční konstanty. Jejich velikost klesá s rostoucí amplitudou  $B_2$  a klesajícím rozdílem frekvencí  $v_2 - v_X$ .

### 3.1 1D pulzní sekvence

Nejjednodušší možná pulzní sekvence obsahuje pouze jeden pulz a je vhodná pro měření libovolného jádra bez ozařování jiných jader. Je běžně používána při měření protonových spekter. Její grafické schéma obsahuje tři části ([obrázek 3.1](#)). Při akumulaci spekter se tato pulzní sekvence stále opakuje a FIDy získané při každé akvizici (snímání dat) se sčítají. Jako konkrétní příklad si můžeme představit, že měříme  $^1H$  NMR spektrum směsi dvou látek (například  $CHCl_3$  a  $CH_2Cl_2$ ). V každém z těchto látek mají vodíková jádra jiné chemické okolí a tedy i jiné rezonanční frekvence, musíme tedy uvažovat dva různé vektory magnetizace.



Obrázek 3.1. Nejjednodušší pulzní sekvence.

Vývoj spinového systému v průběhu tří částí této sekvence probíhá takto:

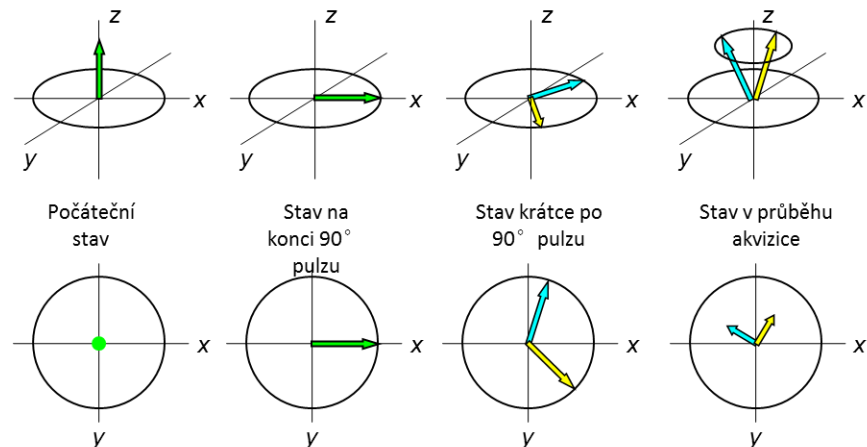
1. Přípravná perioda  $d_1$  trvá většinou několik sekund a během ní působí na vzorek pouze vnější magnetické pole. Ustaví se rovnováha v populacích spinů po pulzu nebo pulzech v předchozím průchodu sekvencí (proběhne relaxace) a magnetizace obou složek směsi míří ve směru osy z.

2. Následuje 90° pulz označený obdélníkem. Cívka obklopující vzorek je připojena na výstup vysokofrekvenčního zdroje (vysílače) a po dobu pulzu jí protéká proud s frekvencí, kterou nazýváme frekvence pulzu. Pulz vytvoří po dobu svého trvání další magnetické pole, které osciluje právě s frekvencí pulzu. Frekvence pulzu bývá uprostřed oblasti rezonančních frekvencí sledovaného jádra. Fáze pulzu se uvádí ve schématu sekvence do závorky a v našem případě je taková, že pole  $B_1$  směřuje ve směru osy y ([obrázek 3.2](#)). Celková magnetizace začne v rotujícím systému vlivem pole  $B_1$  rotovat okolo osy y. 90° Pulz má právě takovou intenzitu a délku, aby jím vytvořené pole stihlo sklopit

magnetizaci do směru osy  $x$ . Pulz je tak krátký, že se téměř neuplatní rozdíl frekvencí jednotlivých magnetizací, v rotujícím systému souřadném směřují obě magnetizace ( $M_{\text{CHCl}_3}$  a  $M_{\text{CH}_2\text{Cl}_2}$ ) po  $90^\circ$  pulzu ve směru osy  $x$ . Po  $90^\circ$  pulzu všechny spiny a tedy i jednotlivé magnetizace  $M$  dále rotují kolem osy  $z$  se svou Larmorovou frekvencí.

3. Snímání dat (akvizice), které se graficky označuje trojúhelníkem. Jednotlivé magnetizace ( $M_{\text{CHCl}_3}$  a  $M_{\text{CH}_2\text{Cl}_2}$ ) nyní vlivem hlavního magnetického pole rotují okolo osy  $z$  se svými frekvencemi. Zároveň se spiny vracejí do rovnovážného stavu, tj. dochází k postupnému obnovování nadbytku spinů na nižší energetické hladině. V rotujícím modelu je tento děj vyjádřen tak, že šipky představující jednotlivé vektory magnetizace opouštějí rovinu  $xy$  a po spirále se vracejí do směru osy  $z$ . V průmětu do roviny  $xy$  můžeme během akvizice pozorovat dva rotující vektory magnetizace, jejichž velikost postupně klesá.

Elektromagnetické pole vytvářené rotujícími magnetickými momenty jader indukuje v měřící cívce elektrický proud. Cívka je orientovanou tak, že zaznamenává složky vektorů magnetizace promítající se do roviny  $xy$ . Obvykle se pomocí tzv. **kvadraturní detekce** nezávisle detegují složky v osách  $x$  a  $y$  (reálná a imaginární složka komplexního signálu FIDu). Jednotlivé magnetizace přispějí do FIDu sinusoidami s odpovídajícími frekvencemi. FID odpovídá součtu těchto sinusoid, má komplikovaný průběh a odráží časový průběh celkové magnetizace vzorku, tedy vektorového součtu všech dílčích magnetizací. S přibližováním vektorů rovnovážnému stavu intenzita FIDu klesá (zvětšuje se složka ve směru osy  $z$ , průměr do roviny  $xy$  se blíží k nule).

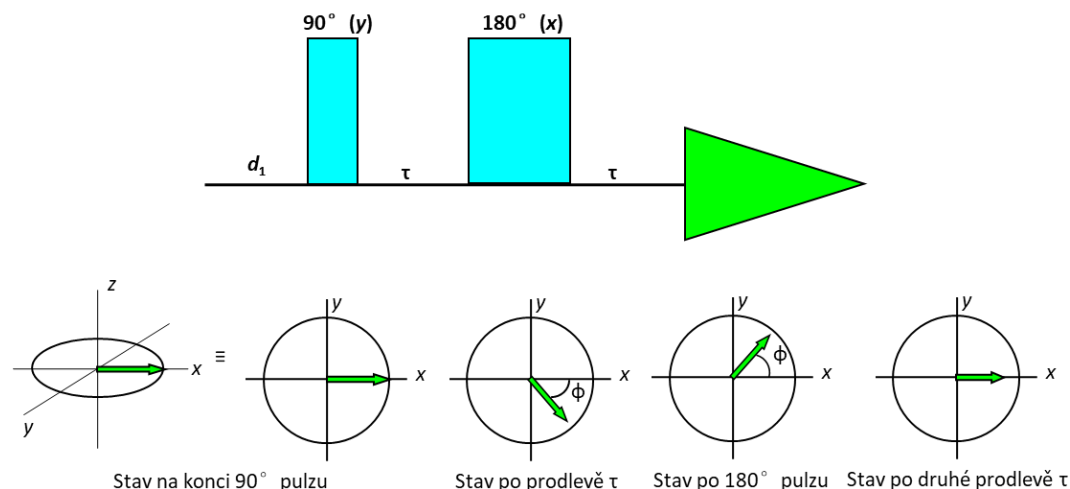


**Obrázek 3.2.** Chování magnetizací během jednopulzní sekvence. Nahoře je celkový stav a dole průměr do roviny  $xy$ . Jednotlivé tučné šipky představují magnetizace, na kterých se podílejí spiny, které rotují se stejnou frekvencí.

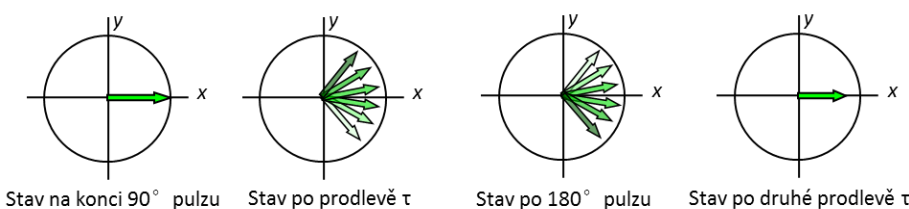
Jednoduchou kombinaci pulzních elementů představuje tzv. **spinové echo** (obrázek 3.3). Používá se v řadě pulzních sekvencí buď k refokusaci chemických posunů a heteronukleárních interakčních konstant anebo k fázové modulaci homonukleárních interakčních konstant a také pro měření relaxačních časů  $T_2$ . Tato sekvence začíná prodlevou  $d_1$ , během níž se v systému ustanoví rovnovážný stav. Poté následuje  $90^\circ$  pulz, který sklopí magnetizaci z osy  $z$  do roviny  $xy$  (pokud je  $90^\circ$  pulz podél osy  $y$ , magnetizace se sklopí do osy  $x$ ). Během doby  $\tau$  vykonává magnetizace precesní pohyb kolem osy  $z$  se svou Larmorovou frekvencí. Za dobu  $\tau$  se magnetizace otočí o úhel  $\phi$ . Poté následuje  $180^\circ$  pulz podél osy  $x$ , který ponechá magnetizaci v rovině  $xy$ , ale překlopí ji na druhou stranu osy  $x$ . Během druhé doby  $\tau$  vykonává magnetizace opět precesní pohyb kolem osy  $z$  s Larmorovou frekvencí. Za dobu  $\tau$  se magnetizace otočí o stejný úhel  $\phi$  a tím pádem se vrátí opět do osy  $x$ , ale její

intenzita je snížena kvůli relaxaci, ke které došlo v průběhu této pulzní sekvence ([kapitola 4.2](#)). Čím je doba  $\tau$  delší, tím je výsledná magnetizace v ose  $x$  menší.

Refokusace chemických posunů pomocí spinového echo může být využita k eliminaci vlivů nehomogenity magnetického pole  $B_0$ , jejíž princip ukazuje [obrázek 3.4](#). První  $90^\circ$  pulz ve směru osy  $y$  otočí makroskopickou magnetizaci jader z osy  $z$  do osy  $x$ . Vlivem nehomogenity pole se pak vektory jednotlivých jaderných spinů budou pohybovat různou rychlosí (jiné magnetické pole v různých částech NMR kyvety vede k různým rezonančním frekvencím ekvivalentních jader), což povede k poklesu celkové magnetizace (vektorový součet všech příspěvků) v rovině  $xy$ . Následující  $180^\circ$  pulz otočí vektory jaderných spinů kolem osy  $x$ . Po druhém intervalu  $\tau$  pak dojde k refokusaci vektorů do směru  $x$ . Stejným způsobem vede spinové echo k refokusaci signálů neekvivalentních jader. Jednotlivé vektory magnetizace vykonávají Larmorovu precesi s frekvencí odpovídající jejich rezonanční podmínce a postupně se tedy během prodlev v pulzních sekvencích rozfázovávají, což vede k fázové distorzi jejich signálů. Zařazením spinového echo do pulzní sekvence lze zajistit, aby v okamžiku počátku akvizice (měření FIDu) všechny vektory magnetizace směřovaly podél osy  $x$  a díky tomu měly všechny signály ve spektru stejnou fázi.



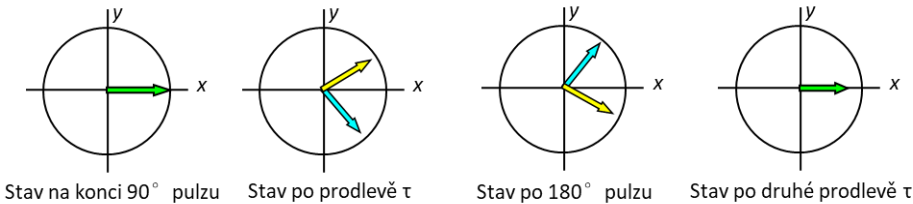
[Obrázek 3.3.](#) Pulzní sekvence spinové echo a její vliv na jednospinový systém.



[Obrázek 3.4.](#) Refokusace nehomogenit magnetického pole nebo neekvivalentních signálů v průběhu spinového echo.

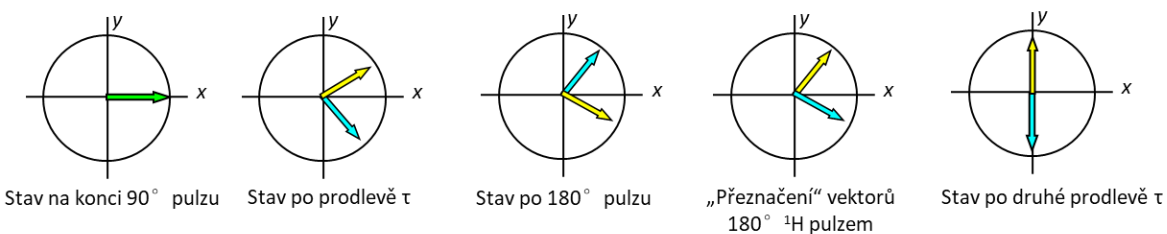
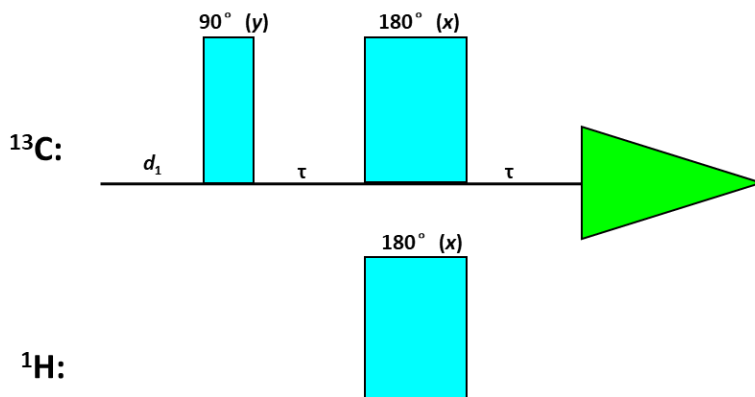
Pokud aplikujeme pulzní sekvenci spinového echo na jeden typ jader v systému s heteronukleární spin-spinovou interakcí (například na uhlíková jádra v chloroformu  $^{13}\text{CHCl}_3$ , v  $^{13}\text{C}$  spektru bez dekaplinku bychom pozorovali dublet, musíme tedy uvažovat dva vektory magnetizace), po druhé prodlevě  $\tau$  dojde opět k refokusaci vektorů magnetizace jednotlivých složek multipletu, jak je znázorněno na [obrázku 3.5](#). Po druhé prodlevě  $\tau$  směřují oba vektory magnetizace uhlíku  $^{13}\text{C}$  podél

osy  $x$ . Pokud bychom v tuto chvíli zapnuli dekaplink ve vodíkovém kanále a začali snímat FID v uhlíkovém kanále, ve výsledném  $^{13}\text{C}$  spektru by byl jeden singlet. Pokud bychom snímali FID bez dekaplinku vodíků, pozorovali bychom ve spektru dublet.



Obrázek 3.5. Refokusace heteronukleárních C–H spin–spinových interakcí v průběhu spinového echa aplikovaného na uhlíková jádra chloroformu.

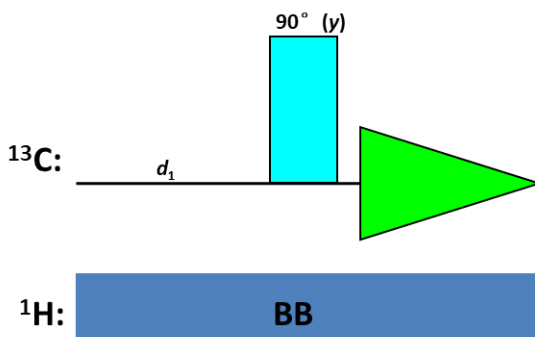
Poněkud odlišný výsledek získáme pokud při  $180^\circ$  pulzu v uhlíkovém kanálu zároveň aplikujeme  $180^\circ$  pulz i ve vodíkovém kanálu (obrázek 3.6). Výměna spinových stavů jader vodíku způsobí „přeznačení“ vektorů jader uhlíku a změnu směru jejich rotace, takže v průběhu druhé doby  $\tau$  nedochází k jejich refokusaci, ale dalšímu rozfázování. V příkladu zobrazeném na obrázku 3.6 byla doba  $\tau$  nastavena tak, že na konci této pulzní sekvence směřují jednotlivé vektory  $^{13}\text{C}$  magnetizace opačným směrem. Pokud bychom v tuto chvíli zahájili snímání  $^{13}\text{C}$  FIDu s  $^1\text{H}$  dekaplinkem, ve spektru by nebyl žádný signál, protože vektorový součet obou složek magnetizace je nulový. Pokud bychom snímali  $^{13}\text{C}$  FID bez dekaplinku, ve spektru by byly dvě linie s opačnou fází. Jiným nastavením prodlevy  $\tau$  lze dosáhnout jiných fázových vztahů mezi jednotlivými složkami magnetizace.



Obrázek 3.6. Modifikované spinové echo se  $180^\circ$  pulzem aplikovaným zároveň v uhlíkovém i vodíkovém kanále a vývoj  $^{13}\text{C}$  spinového systému v průběhu této sekvence.

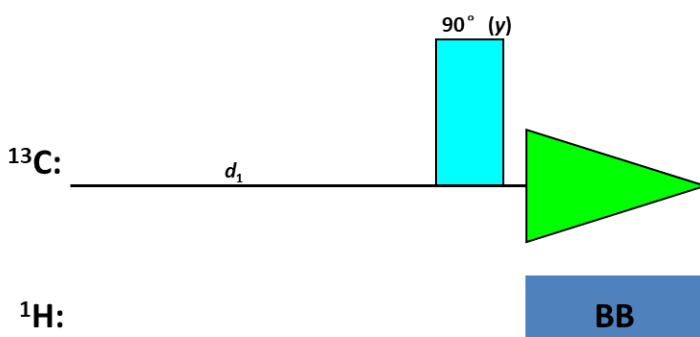
Na rozdíl od heteronukleárních interakcí nedochází během spinového echa k refokusaci homonukleárních spin-spinových interakcí, protože  $180^\circ$  pulz má za následek jednak otočení jednotlivých vektorů magnetizace o  $180^\circ$  ale zároveň i jejich „přeznačení“, které vede k tomu, že se rychlosť rotace jednotlivých vektorů po  $180^\circ$  pulzu změní a vektory se tak v průběhu druhé doby  $\tau$  dále rozfázovávají.

Rutinní  $^{13}\text{C}$  NMR spektra jsou měřena s širokopásmovým dekaplinkem vodíků (obrázek 3.7). Tím je dosaženo výrazného zvýšení citlivosti ze dvou důvodů: (a) eliminací všech skalárních interakcí  $J(\text{C},\text{H})$  pozorujeme všechny uhlíkové atomy jako singlety, (b) nukleární Overhauserův efekt (NOE, kapitola 5) může zvýšit intenzity signálů až 3x. To je však provázeno: (a) kompletní ztrátou informace obsažené v  $J(\text{C},\text{H})$  (nelze přímo rozlišit signály  $\text{CH}_3$ ,  $\text{CH}_2$ ,  $\text{CH}$  a  $\text{C}$ ), (b) zkreslením intenzit signálů (nekvantitativní poměry intenzit signálů spektra). Dalším důvodem, proč v běžných  $^{13}\text{C}$  spektrech neodpovídají intenzity signálů počtu jednotlivých uhlíkových jader jsou různě dlouhé relaxační doby jednotlivých uhlíkových jader. Během doby  $d_1$  často nedojde k úplné relaxaci všech magnetizací a další průběh pulzní sekvencí tak nevychází z rovnovážného stavu.



Obrázek 3.7. Základní pulzní sekvence pro měření  $^{13}\text{C}$  spekter s vodíkovým dekaplinkem.

Pro získání **kvantitativních  $^{13}\text{C}$  NMR spekter** s dekaplinkem protonů (obrázek 3.8) je třeba použít dostatečně dlouhou dobu  $d_1$ , aby i uhlíky s dlouhými  $T_1$  stačily zrelaxovat, a minimalizovat NOE (dekapler je zapnut pouze během akviziční doby). Pro zkrácení relaxačních časů substrátu lze přidat relaxační činidlo, například acetylacetonát chromitý ( $\text{Cr}(\text{acac})_3$ ).

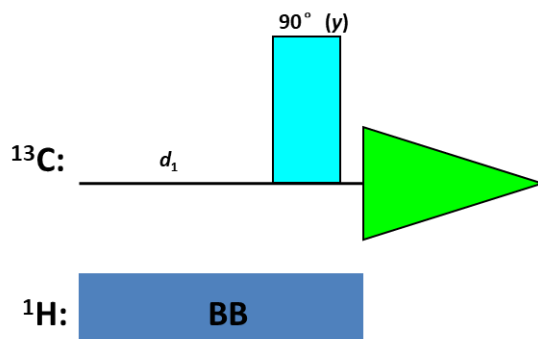


Obrázek 3.8. Pulzní sekvence pro měření kvantitativních  $^{13}\text{C}$  spekter.

$^{13}\text{C}$  NMR spektra, obsahující štěpení všemi interakcemi  $J(\text{C},\text{H})$  ("**nedekaplovaná  $^{13}\text{C}$  NMR spektra**"), lze získat buď kompletním vyřazením dekaplinku vodíků anebo efektivněji metodou přerušovaného dekaplinku (obrázek 3.9). V druhém případě je dekapler zapnut pouze v době mimo

akvizici tak, aby mohlo dojít k ustavení NOE (a tudíž nárůstu intenzity signálů). Uhlíkové signály jsou štěpeny velkými interakcemi  $^1J(C,H) \sim 120 - 200$  Hz na dublety (CH), triplety ( $CH_2$ ) či kvartety ( $CH_3$ ), které obvykle obsahují další štěpení skalárními interakcemi  $J(C,H)$  přes dvě a více vazeb. Překryv multipletů, širokých často několik ppm, může ale značně komplikovat interpretaci spekter.

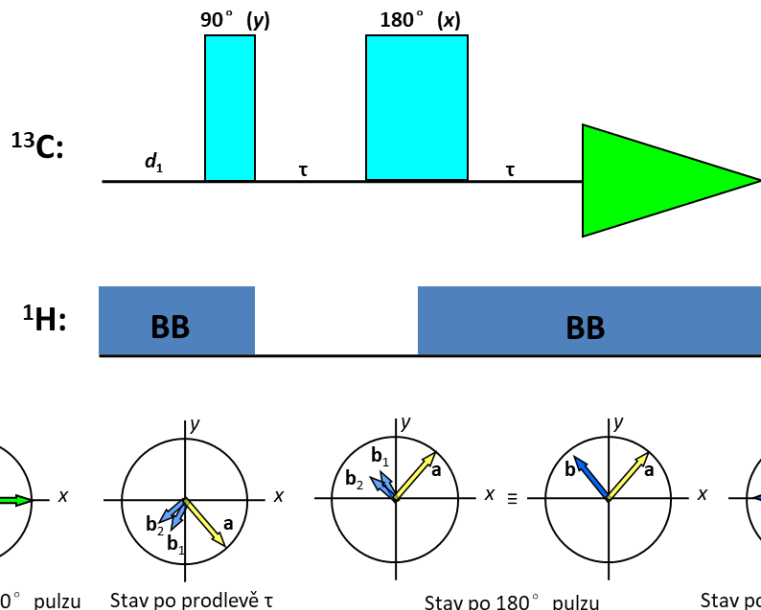
K přiřazení jednotlivých heteronukleárních interakcí  $J(C,H)$ , pozorovaných v nedekaplovaném  $^{13}C$  NMR spektru, je možno použít selektivní heteronukleární dekaplink. Během akvizice je selektivně ozářován signál zvoleného vodíku, což vede k eliminaci jeho interakcí s uhlíky v  $^{13}C$  NMR spektru. Pro zvýšení citlivosti je výhodné, aby během relaxační prodlevy  $d_1$  byl zapnut širokopásmový dekapler.



Obrázek 3.9. Pulzní sekvence pro měření nedekaplovaných  $^{13}C$  spekter.

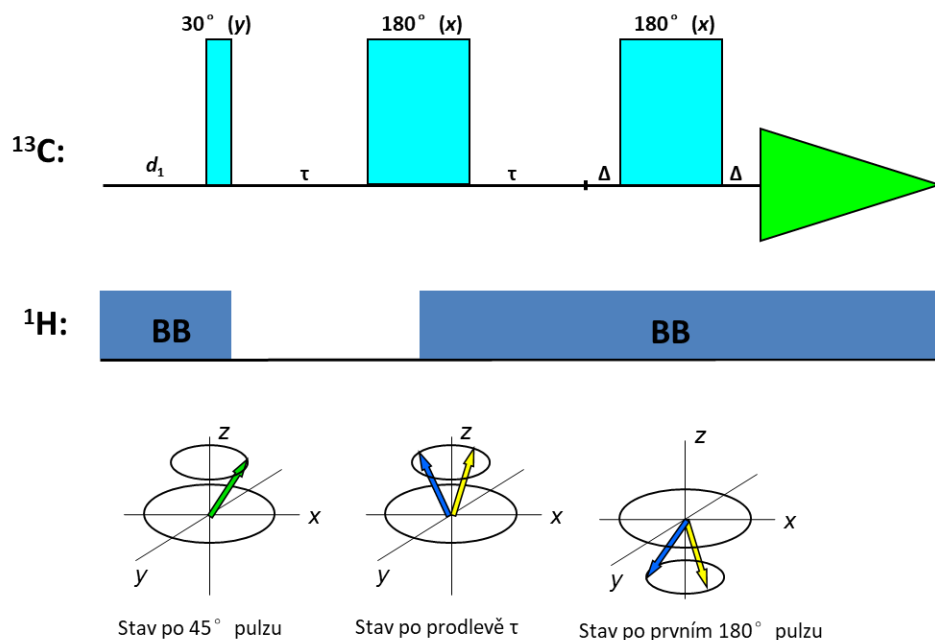
Klasifikace  $^{13}C$  signálů podle počtu přímo vázaných vodíků se běžně provádí pomocí experimentů, kde signály ve výsledném spektru jsou buď pozitivní nebo negativní podle typu uhlíku (C, CH,  $CH_2$ ,  $CH_3$ ). Nejjednodušší experiment tohoto typu je  **$J$ -modulované spinové echo** (obrázek 3.10). Představme si nyní dva signály uhlíku: kvarterního **a** a terciárního **b**. První bude mít v uhlíkovém spektru měřeném bez dekaplinku protonů jednu linii, druhý dvě linie **b<sub>1</sub>** a **b<sub>2</sub>** způsobené štěpením navázaným atomem  $^1H$  s interakční konstantou např.  $^1J_{C-H} = 140$  Hz. Prodleva  $\tau$  je nastavena na dobu  $1/1J_{C-H}$ , což odpovídá přibližně 7 ms. Po prvním pulzu začnou jednotlivé magnetizace rotovat v rovině  $xy$  s jejich Larmorovou frekvencí. Dekaplink je vypnuto, uplatní se interakce s protony. Magnetizace uhlíku **a** urazí za 7 ms úhel odpovídající jeho chemickému posunu (například na obrázku 10 je to  $45^\circ$ ). Složky magnetizace **b<sub>1</sub>** a **b<sub>2</sub>** vykonávají precesní pohyb daný chemickým posunem signálu **b** a interakční konstantou  $^1J_{C-H}$ . Pokud je doba  $\tau$  nastavena přesně na převrácenou hodnotu této interakční konstanty, jedna složka magnetizace provede právě o jednu otočku kolem osy  $y$  víc než druhá složka (například na obrázku 3.10 urazila magnetizace **b<sub>1</sub>** asi  $120^\circ$  a magnetizace **b<sub>2</sub>** asi  $130^\circ + 360^\circ = 490^\circ$ ). Následuje  $180^\circ$  pulz podél osy  $x$ . Zároveň s ním je zapnut dekaplink. Od této chvíle až po konec pulzní sekvence je tedy eliminován vliv interakcí s protony. Po skončení pulzu složka **a** pokračuje normálně v rotaci a po 7 ms se dostane do své výchozí pozice - míří v kladném směru osy  $x$ . Složky **b<sub>1</sub>** a **b<sub>2</sub>** po zapnutí dekaplinku rotují kolem osy  $y$  z stejnou úhlovou rychlostí odpovídající chemickému posunu uhlíku **b**. Protože se od této chvíle pohybují stejnou úhlovou rychlostí, můžeme dále uvažovat jejich vektorový součet **b**. Magnetizace **b** urazí za druhou dobu  $\tau$  úhel, který je průměrem úhlů uražených složkami **b<sub>1</sub>** a **b<sub>2</sub>** za první dobu  $\tau$  (na obrázku 3.10 magnetizace **b** urazí za druhou dobu  $\tau$   $(490^\circ + 130^\circ)/2 = 310^\circ$ ) a dostane se tak do poloosy  $-x$  vedoucí ve spektru k signálu s fází opačnou, než má signál uhlíku **a**. Podobný rozbor pro sekundární uhlíky ukazuje, že všechny tři složky původního tripletu jsou v tuto chvíli orientovány ve směru poloosy  $+x$  a složky primárního uhlíku (tvoří kvartet) ve směru poloosy  $-x$ .

Mírnou obměnou  $J$ -modulovaného spinového echa získáme pulzní sekvenci APT (Attached Proton Test). První pulz v této sekvenci není  $90^\circ$ , ale kratší, používá se například hodnota  $30^\circ$ . Takový pulz nesklopí magnetizaci až do roviny  $xy$  a vývoj systému probíhá nad touto rovinou, v rovině s ní rovnoběžné (obrázek 3.11). Následující  $180^\circ$  pulz otočí magnetizace pod rovinu  $xy$ , odtud by návrat zpět do rovnováhy po skončení akvizice trval dlouho, proto se zařazuje ještě jeden  $180^\circ$  pulz (druhé spinové echo), který vrátí magnetizaci zpět nad rovinu  $xy$ , odkud je návrat do rovnovážného stavu podstatně kratší a lze tedy zkrátit přípravnou dobu  $d_1$ .

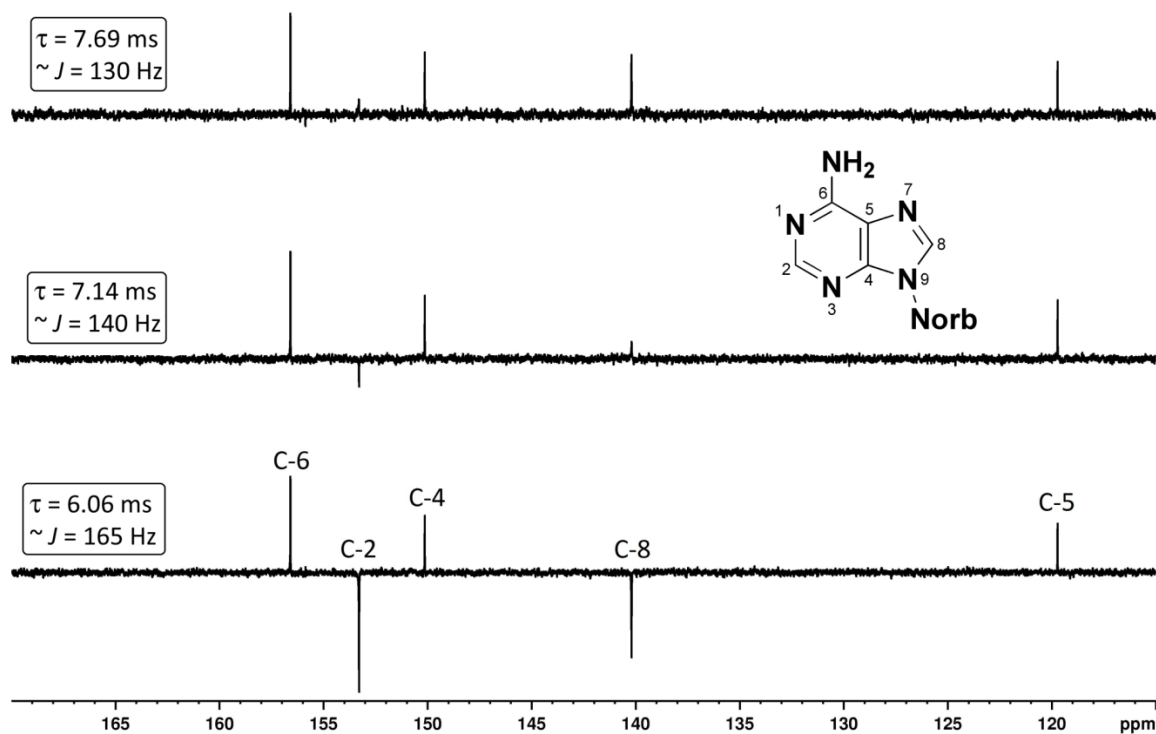


Obrázek 3.10. Pulzní sekvence  $J$ -modulovaného spinového echa a její vliv na magnetizaci kvartérního a terciárního uhlíku.

Velikost interakční konstanty  ${}^1J_{\text{C-H}}$  závisí především na hybridizaci uhlíkového atomu, u  $\text{sp}^3$  uhlíků se pohybuje kolem 125 Hz, u  $\text{sp}^2$  uhlíků kolem 165 Hz a u  $\text{sp}$  uhlíků kolem 250 Hz. Ve standardním nastavení  $J$ -modulovaného echa se vychází z kompromisní hodnoty  ${}^1J_{\text{C-H}}$  pro  $\text{sp}^2$  a  $\text{sp}^3$  uhlíky – 145 Hz, což vede k prodlevě  $\tau$  o délce asi 7 ms. Pokud jsou ovšem v měřené molekule vyšší heteronukleární interakce (například u terminálních alkynů nebo u některých heteroaromatických sloučenin), toto standardní nastavení prodlevy  $\tau$  vede k nízké nebo nulové intenzitě výsledných CH signálů ve spektru, případně k CH signálům s kladnou intenzitou. Proto je při zkoumání těchto látek nutné vhodně adjustovat délku prodlevy  $\tau$ , viz obrázek 3.12.



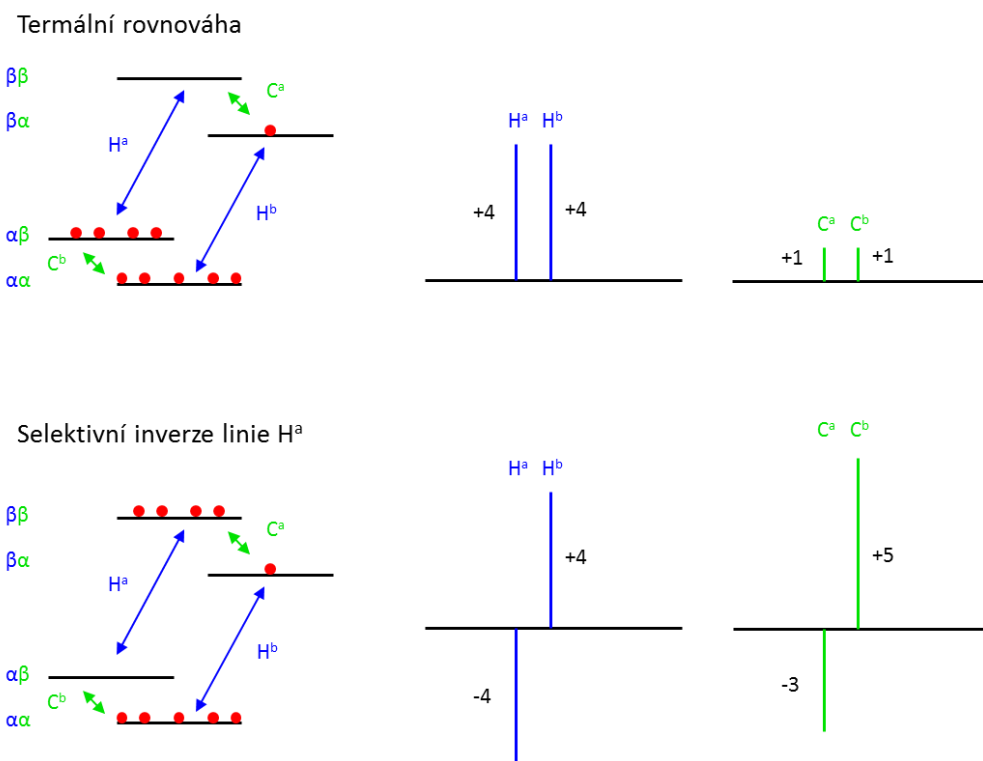
Obrázek 3.11. Pulzní sekvence APT.



Obrázek 3.12. Vliv doby  $\tau$  na APT spektra purinového derivátu. Standardní nastavení doby  $\tau$  (7 ms) vede k potlačené intenzitě signálu C2 a C8. Je tedy vhodné dobu  $\tau$  zkrátit na asi 6 ms.

Častým elementem pulzních sekencí je také **přenos polarizace**, související se změnami populací jaderných spinových stavů. Princip přenosu polarizace na jednoduchém dvouspinovém heteronukleárním systému jader  $^1\text{H}$  a  $^{13}\text{C}$  (například v molekule  $^{13}\text{CHCl}_3$ ) je ukázán na obrázku 3.13. Gyromagnetický poměr jader  $^1\text{H}$  je přibližně čtyřikrát větší než jader  $^{13}\text{C}$ . Energetický rozdíl mezi

spinovým stavem  $\alpha$  a  $\beta$  a také rozdíl populací jader s těmito spinovými stavy je také přibližně čtyřikrát větší v případě jader  $^1\text{H}$ . Rozdíl populací mezi spinovými stavy  $\alpha$  a  $\beta$  na obrázku 3.13 je značně přehnaný; při běžně používaných magnetických polích je rozdíl energetických hladin a tedy i rozdíl populací velmi malý (viz kapitola 2.1). Pokud NMR experiment tohoto dvouspinového systému bude začínat z tepelné rovnováhy, v  $^1\text{H}$  i  $^{13}\text{C}$  spektru budeme pozorovat dublet, v  $^1\text{H}$  spektru bude ale intenzita čar přibližně čtyřikrát vyšší. Pokud by mezi vodíkovými a uhlíkovými jádry neexistovala spin-spinová interakce, energetický rozdíl odpovídající přechodům  $\text{H}^a$  a  $\text{H}^b$  i přechodům  $\text{C}^a$  a  $\text{C}^b$  by byl stejný a tedy i rezonanční frekvence by byla stejná a v uhlíkovém i vodíkovém spektru bychom pozorovali pouze jednu čáru (singlet).



Obrázek 3.13. Populace spinových stavů a přenos polarizace.

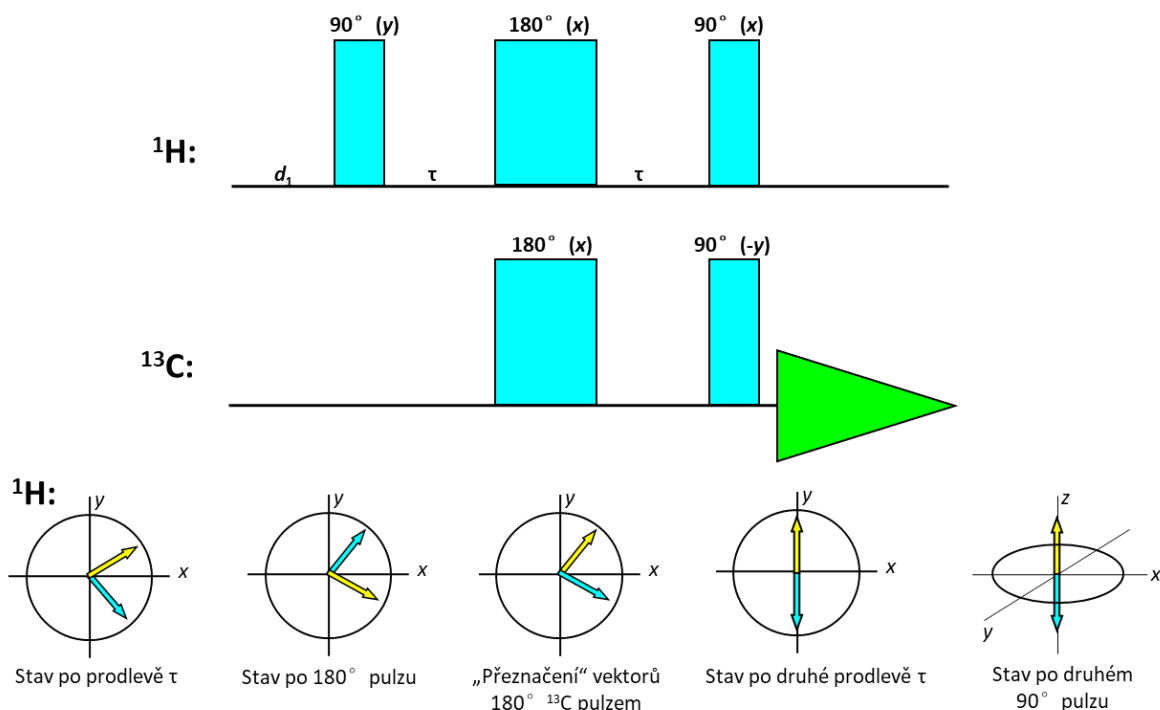
Pokud provedeme selektivní inverzi populace odpovídající jednomu vodíkovému přechodu (například  $\text{H}^a$ , pomocí selektivního  $180^\circ$  pulzu), dojde ke změnám ve vodíkovém i uhlíkovém spektru. Ve vodíkovém spektru bude mít čára  $\text{H}^a$  negativní intenzitu. V uhlíkovém spektru bude mít jedna čára ( $\text{C}^a$ ) intenzitu -3 a druhá ( $\text{C}^b$ ) +5. Pokud bychom provedli selektivní inverzi druhého vodíkového přechodu, situace by byla opačná, uhlíková linie  $\text{C}^a$  by měla intenzitu +5 a  $\text{C}^b$  intenzitu -3. Dále si můžeme představit, že bychom výsledná uhlíková spektra získaná po selektivní inverzi vodíkového přechodu  $\text{H}^a$  a  $\text{H}^b$  od sebe odečetli. Výsledné uhlíkové spektrum by mělo intenzitu čar -8 (= -3 - 5) a +8 (= +5 - (-3)). Po dvou průchodech jednoduchou pulzní sekvencí se selektivní manipulací vodíkových přechodů tak získáme spektrum, ve kterém je intenzita uhlíkových čar čtyřikrát vyšší než by odpovídalo dvěma průchodům klasickou jednopulzní sekvencí. Při tomto experimentu došlo k přenosu polarizace z jader  $^1\text{H}$  na jádra  $^{13}\text{C}$  (větší rozdíl populací spinových stavů vodíku znamená větší polarizaci). Nárůst citlivosti heterojádra X (např.  $^{13}\text{C}$ ) závisí na poměru gyromagnetických

poměrů vodíku a měřeného jádra ( $\gamma_H / \gamma_X$ ) a je obecně vyšší než NOE (viz [tabulka 3.1](#)). Nevýhodou výše popsaného experimentu je ovšem nutnost použití selektivních pulzů s frekvencí přesně odpovídající jedné konkrétní linii ve vodíkovém spektru.

**Tabulka 3.1.** Maximální nárůst intenzity NMR signálu pomocí NOE a přenosu polarizace pro některá heterojádra.

Jádro	NOE	Přenos polarizace
$^{31}P$	2.24	2.47
$^{13}C$	2.99	3.98
$^{29}Si$	-1.52	5.03
$^{15}N$	-3.94	9.87

Pulzní sekvence INEPT (Insensitive Nuclei Enhancement by Polarisation Transfer) je také založena na přenosu polarizace z vodíkových jader na heterojádra, není ale nutné používat selektivní pulzy. Tato pulzní sekvence opět využívá modifikovaného spinového echo, ve které je doba  $\tau$  nastavena na dobu odpovídající  $1/4J_{C-H}$  ([obrázek 3.14](#)). Zárovň se  $180^\circ$  pulzem ve vodíkovém kanále je aplikován  $180^\circ$  pulz i na heterojádro, nedochází tedy k refokusaci jednotlivých složek vodíkové magnetizace a po druhé době  $\tau$  jsou tyto složky magnetizace podél osy  $+a -y$ . V tuto chvíli je aplikován na vodíková jádra  $90^\circ$  pulz podél osy  $x$ , jehož výsledkem je otočení vodíkové magnetizace do kladné a záporné poloosy  $z$ , což odpovídá selektivní inverzi jedné vodíkové linie a tedy přenosu polarizace z vodíků na heterojádra. Ve stejnou dobu je aplikován  $90^\circ$  pulz i na heterojádra, jejich magnetizace se tak sklopí do roviny  $xy$  a může začít měření FIDu.

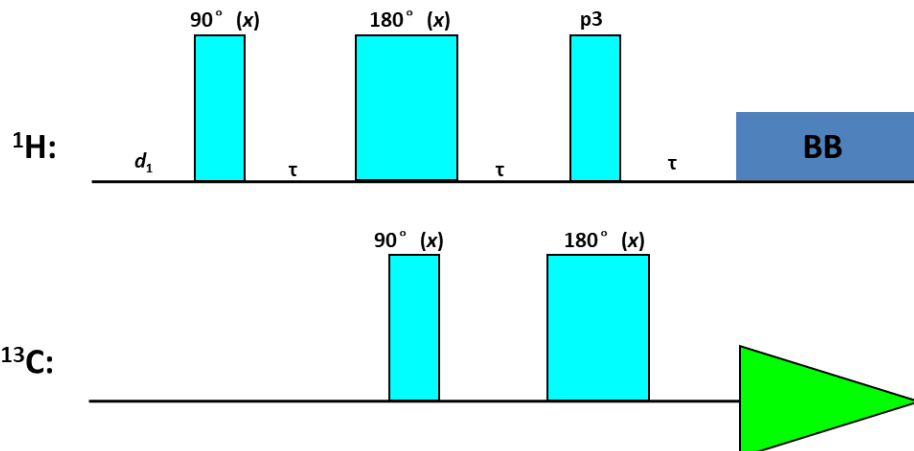


**Obrázek 3.14.** Pulzní sekvence INEPT a její vliv vodíkovou magnetizaci v C–H spinovém systému.

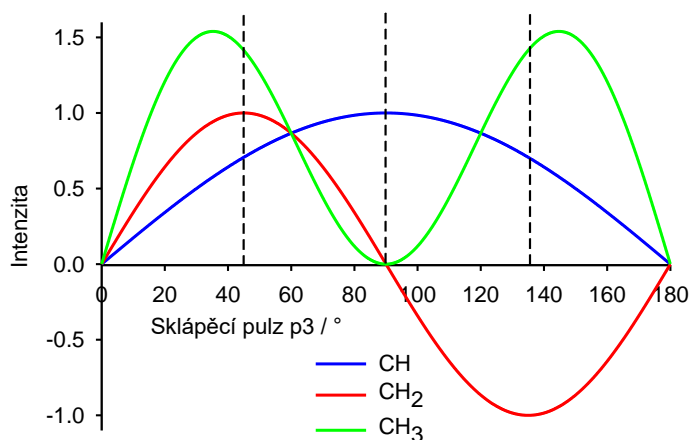
Distorze intenzit linií multipletů (opačné fáze) v základním INEPT experimentu odstraňuje INEPT+ sekvence zavedením refokusační periody a tzv. “purging” pulzu. Experiment poskytuje

nedekaplovaná spektra s citlivostí zvýšenou přenosem polarizace a se stejnými fázemi linií multipletu každého uhlíku. Další modifikací této sekvence a zapnutí širokopásmového dekaplinku během akvizice vede k pulzní sekvenci označované jako refokusovaný INEPT. Výsledkem je proton-dekaplované spektrum s citlivostí zvýšenou přenosem polarizace.

Jinou pulzní technikou pro měření  $^{13}\text{C}$  jader je DEPT (Distortionless Enhancement by Polarization Transfer, obrázek 3.15). Její výhodou (ve srovnání s INEPT experimentem) je kratší pulzní sekvence, takže během evoluční doby nedochází k tak velké ztrátě signálu relaxací. Navíc je DEPT méně citlivý na nepřesné nastavení parametrů (šířky pulzů, evoluční doba závislá na  $J_{\text{C-H}}$ ). Takzvaná editace spekter umožňuje získat DEPT spektra obsahující pouze CH, CH<sub>2</sub> nebo CH<sub>3</sub> signály. To ale vyžaduje provést tři různé experimenty (spektra s1, s2 a s3), lišící se délkou posledního pulzu ve vodíkovém kanálu (p3): s1 (p3 = 45°), s2 (p3 = 90°), s3 (p3 = 135°). Vliv délky pulzu p3 na intenzity jednotlivých typů uhlíkových jader je zobrazen na obrázku 3.16. Ze spektra s1–s3 pak získáme subspektra CH, CH<sub>2</sub> a CH<sub>3</sub> uhlíků následující editací: subspektrum CH = s2, subspektrum CH<sub>2</sub> = s1–s3, subspektrum CH<sub>3</sub> = s1 + s3 – 1.414 × s2. Signály kvarterních uhlíků jsou v běžných DEPT spektrech potlačeny a je třeba je identifikovat porovnáním s "normálním" proton-dekaplovaným  $^{13}\text{C}$  NMR spektrem.



Obrázek 3.15. Pulzní sekvence DEPT. s1: p3 = 45°, s2: p3 = 90°, s3: p3 = 135°



Obrázek 3.16. Závislost intenzity uhlíkových atomů v DEPT spektru na délce sklápěcího pulzu p3. Čárkované čáry označují běžně používané sklápěcí úhly 45°, 90° a 135°.

### 3.2 2D pulzní sekvence

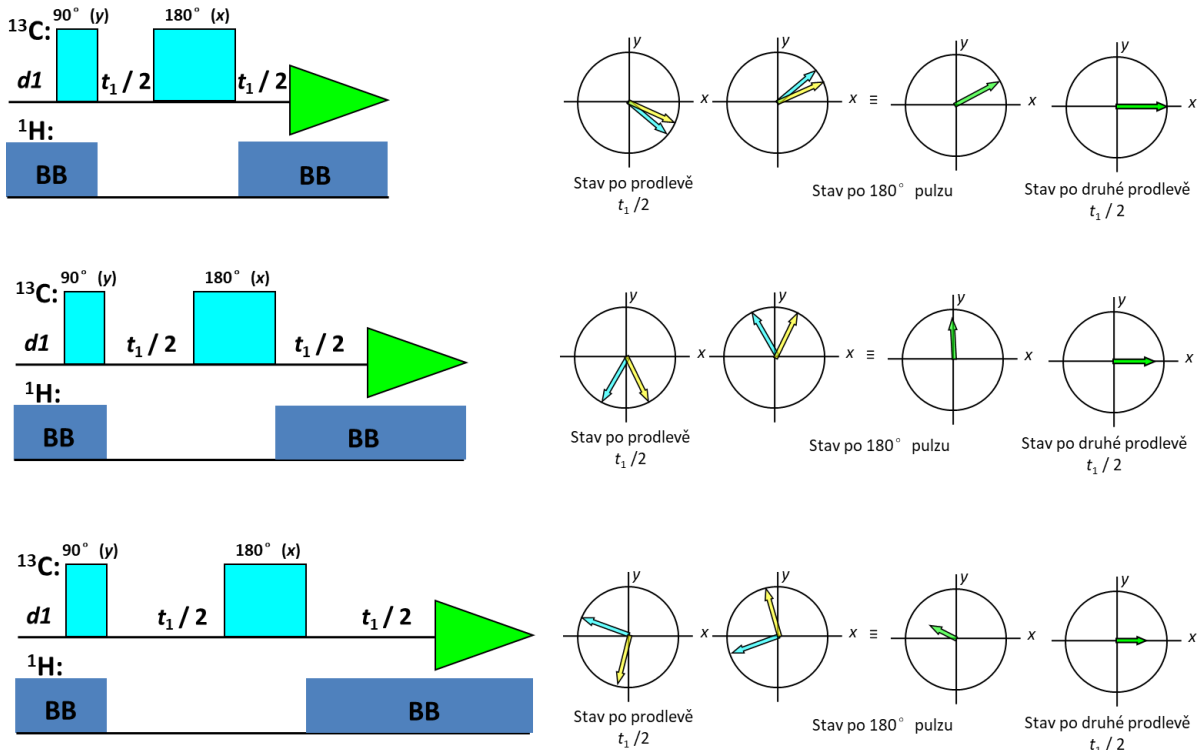
Už u poměrně malých molekul může v 1D NMR spektrech (hlavně vodíkových) docházet k překryvu signálů, který ztěžuje nebo znemožňuje interpretaci těchto spekter. Zavedení druhé dimenze do NMR spekter umožňuje tento problém obejít – ve 2D spektrech je překryv signálů méně pravděpodobný. Navíc pulzní NMR techniky jsou schopny manipulovat se spinovým systémem takovým způsobem, že se ve výsledném 2D spektru objeví pro strukturní analýzu velmi cenné nové informace, které z běžných 1D experimentů není možné získat. Například pomocí C–H korelovaných spekter můžeme přímo zjistit spojení uhlíkových a vodíkových atomů v molekule chemickými vazbami.

V 1D NMR experimentech je FID funkcí jediné časové proměnné a spektrum získané Fourierovou transformací je funkcí frekvence. Pro 2D NMR experimenty je charakteristické zavedení další časové proměnné (evoluční doby). Detekovaný signál potom závisí na tom, co se odehrálo se spinovým systémem během evoluční doby. Systematickou změnou evoluční doby (například její délky o inkrement  $\Delta t_1$ ) se v detekční době získá série FIDů, jejichž Fourierova transformace poskytne sérii jednorozměrných spekter. Druhá Fourierova transformace poskytne druhou frekvenční dimenzi ( $F_1$ ) pro 2D-NMR spektrum. Evoluční doba se tradičně označuje jako doba  $t_1$  a detekční doba jako  $t_2$ . Dvojnásobnou Fourierovou transformací série FIDů získáme 2D spektrum, které má dvě frekvenční osy ( $F_1$  a  $F_2$ ).

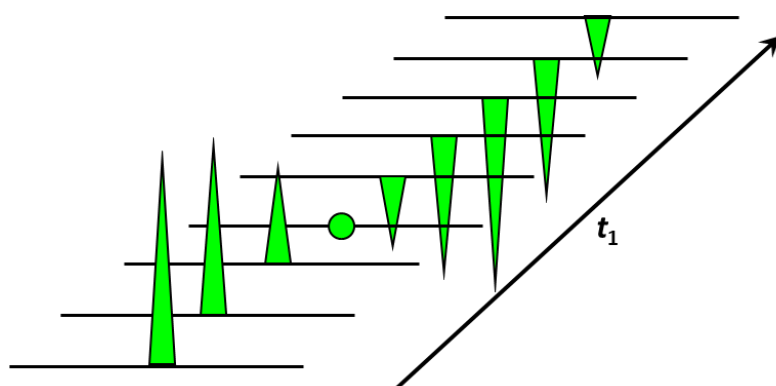
2D NMR experimenty lze rozdělit na **korelované** a **rozlišené**. Ve 2D spektrech získaných z korelovaných experimentů jsou na obou frekvenčních osách ( $F_1$  i  $F_2$ ) chemické posuny; u homonukleárních korelovaných experimentů jsou to posuny téhož izotopu (například  $^1\text{H}$ ), u heteronukleárních korelovaných experimentů jsou pak na každé ose chemické posuny jiného izotopu (například  $^1\text{H}$  a  $^{13}\text{C}$ ). V případě heteronukleárních korelovaných experimentů říkáme, že jádro, jehož chemické posuny pozorujeme na ose  $F_2$ , je **přímo detekované** (chemické posuny tohoto jádra jsou získány Fourierovou transformací FIDů) a chemické posuny na ose  $F_1$  patří **nepřímo detekovanému** jádru. Ve 2D spektrech získaných z rozlišených experimentů jsou na jedné frekvenční ose ( $F_2$ ) chemické posuny a na druhé ose ( $F_1$ ) skalární interakční konstanty. U homonukleárních rozlišených experimentů získáme spektrum, kde interakční konstanty na ose  $F_1$  odpovídají interakcím mezi jádry téhož izotopu, jehož chemické posuny můžeme pozorovat na ose  $F_2$  (například osa  $F_2$  – chemické posuny  $^1\text{H}$ , osa  $F_1$  – interakční konstanty  $^1\text{H}$ – $^1\text{H}$ ). Ve spektrech získaných z heteronukleárních rozlišených experimentů pozorujeme na ose  $F_1$  heteronukleární interakční konstanty (například osa  $F_2$  – chemické posuny  $^{13}\text{C}$ , osa  $F_1$  – interakční konstanty  $^1\text{H}$ – $^{13}\text{C}$ ).

Jako příklad 2D experimentu, na kterém lze dobře demonstrovat princip dvoudimenzionálních NMR metod použijeme heteronukleární rozlišený experiment. Jeho pulzní sekvence je znázorněna na obrázku 3.17, kde jsou schematicky znázorněny tři inkrementy (tři jednodimenzionální experimenty) s postupně se prodlužující dobou  $t_1$ . Základem této pulzní sekvence je spinové echo s dekaplinkem vodíků pouze v části sekvence (podobně jako u experimentu APT). Na obrázku 3.17 vpravo je zobrazen vývoj uhlíkového spinového systému molekuly  $^{13}\text{C}^1\text{HCl}_3$ . Po  $90^\circ$  pulzu je magnetizace uhlíkových jader v rovině  $xy$ , kde se během první doby  $t_1 / 2$  její dvě složky rozjízdí díky spin-spinové interakci s vodíkem (v tuto chvíli není zapnut dekaplink). Po  $180^\circ$  pulzu je zapnut dekaplink a místo dvou vektorů magnetizace tedy pozorujeme pouze jeden, jehož precesní frekvence odpovídá průměru původních dvou složek magnetizace. Pokud je doba  $t_1 / 2$  nulová, jednotlivé složky magnetizace se nerozjedou a na konci pulzní sekvence dostaneme signál s maximální intenzitou. Pokud doba  $t_1 / 2$  není nulová, intenzita signálu na konci pulzní sekvence závisí na tom, jak se jednotlivé vektory magnetizace rozjedou v průběhu první doby  $t_1 / 2$ . To je dáno délkou této prodlevy

a velikostí C–H spin–spinové interakce (obrázek 3.18). Například pokud je doba  $t_1 / 2$  rovna jedné polovině převrácené hodnoty této heteronukleární interakční konstanty ( $t_1 = 1 / {}^1J_{C-H}$ ), jednotlivé složky magnetizace se rozjedou právě o  $180^\circ$  a jejich vektorový součet po zapnutí dekaplinku je nula. Pokud vyneseme závislost intenzity uhlíkového signálu na době  $t_1$ , získáme periodickou funkci. Pokud provedeme Fourierovu transformaci této funkce, získáme frekvenci odpovídající interakční konstantě  ${}^1J_{C-H}$  (přesněji řečeno této konstantě vynásobené faktorem  $\frac{1}{4}$ , tento faktor se ale snadno odstraní při zpracování spekter). U typických 2D NMR experimentů se měří řádově stovky inkrementů, tedy jednodimenziona lních experimentů s měnící se evoluční dobou.



Obrázek 3.17. Vlevo: Schematické znázornění tří inkrementů pulzní sekvence pro měření 2D heteronukleárních rozlišených spekter a vpravo: vývoj uhlíkové magnetizace u  ${}^{13}\text{C}-{}^1\text{H}$  spinového systému v průběhu této pulzní sekvence.

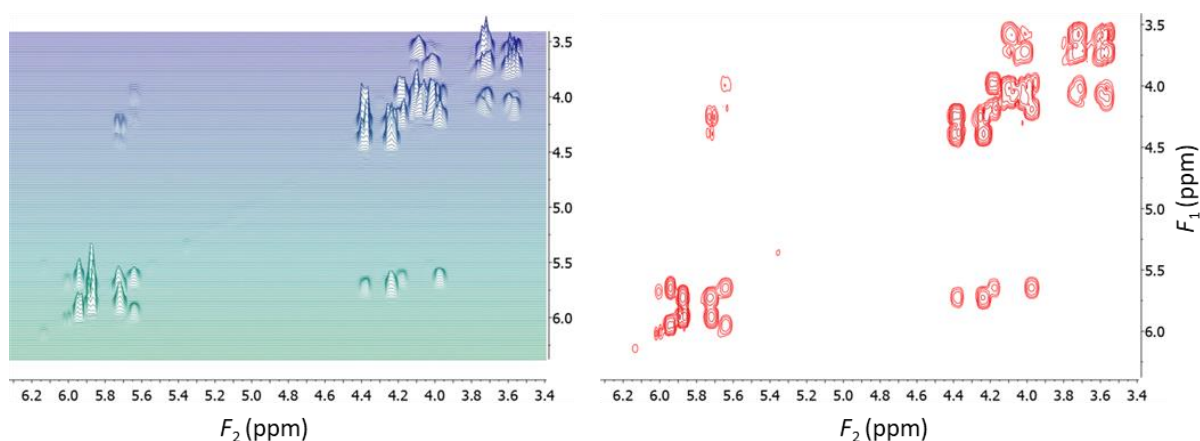


Obrázek 3.18. Závislost intenzity  ${}^{13}\text{C}$  signálu na době  $t_1$  v heteronuklárním rozlišeném experimentu ukázaném na Obrázku 3.17.

Spektrální rozlišení v přímo detekované dimenzi ( $F_2$ ) je dáno rozlišením v 1D spektrech získaných

v průběhu 2D experimentu. Rozlišení v nepřímo detekované dimenzi ( $F_1$ ) je dáno počtem inkrementů.

Podobně jako 1D NMR spektra jsou vlastně "dvouzměrná" (druhou dimenzí je intenzita) mají i 2D NMR spektra další "třetí" dimenzi (intenzitu). Jejich grafická prezentace tudíž vyžaduje redukci jedné dimenze některým z následujících způsobů: **Perspektivní zobrazení** obsahuje kompletní intenzitní informaci, ale jeho interpretace je obtížná (perspektivní distorze, nebezpečí překryvu signálů). Nejběžnějším způsobem zobrazení je **vrstevnicové zobrazení**, které odpovídá (podobně jako vrstevnicové mapy) řezům tříozměrným spektrem v rovinách rovnoběžných s rovinou  $F_1$ ,  $F_2$  v několika různých výškách (obrázek 3.19). Volba nejnižší hladiny a počet hladin určují jaká část intenzitní informace bude ve spektru zachována. Výhodou vrstevnicových spekter je jejich přehlednost a snadná interpretace. V případě potřeby je možno zobrazit a vypsat **řez 2D spektrem** v kterémkoliv vhodném místě, popřípadě **projekci 2D spektra** do osy  $F_1$  nebo  $F_2$ . Jiným způsobem zobrazení 2D spekter je použití škály barev, kde konkrétní odstín odpovídá určité intenzitě signálu.



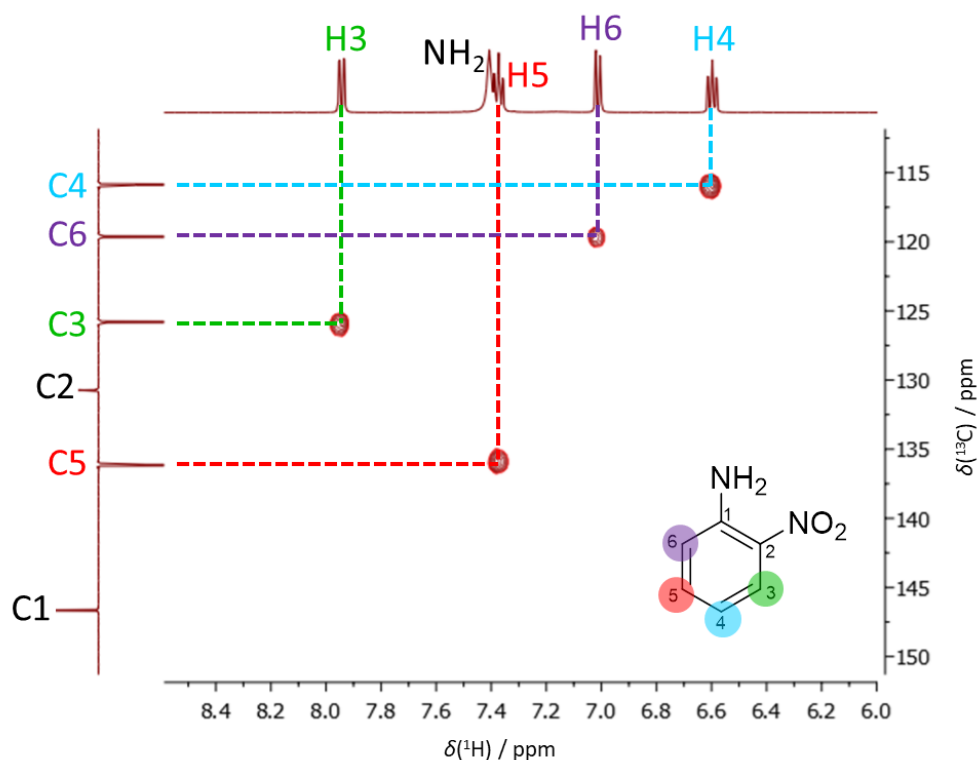
Obrázek 3.19. Perspektivní (vlevo) a vrstevnicové (vpravo) zobrazení 2D spektra.

**Inverzní techniky** spočívají v přímé detekci jádra s velkou citlivostí ( $^1\text{H}$ ), zatímco jádra s nízkou citlivostí ( $^{13}\text{C}$ ,  $^{15}\text{N}$ ) jsou detekována nepřímo, tedy informace o těchto jádrech je nějakým způsobem zakódována v jednotlivých FIDech přímo detekovaného jádra. Při měření se používá tzv. inverzního uspořádání vysokofrekvenčních tras - měřící trasa je nastavena na detekci  $^1\text{H}$  a dekaplovací trasa naladěna na kmitočet jádra s nízkou citlivostí. Rozvoj inverzních experimentů tak úzce souvisí s rozvojem NMR sond. V tradičním uspořádání NMR sond je cívka určená pro detekci méně citlivého jádra co nejblíže měřenému vzorku a cívka pro dekaplink a detekci vodíkových jader je až o něco dále (citolost jader  $^1\text{H}$  je natolik dobrá, že ztráta části signálu v tomto uspořádání nehraje zásadní roli). Naopak u **inverzních sond** (sond s inverzním uspořádáním tras) je cívka pro detekci jader  $^1\text{H}$  co nejblíže vzorku, aby se maximalizovala citlivost inverzních experimentů. Druhá cívka musí umožňovat dekaplink nepřímo detekovaných jader.

Moderní NMR experimenty často v průběhu pulzní sekvence používají gradienty magnetického pole. Použití gradientů umožňuje vybírat informaci, která je zakódovaná ve výsledném spektru, a odstranit nežádoucí informace (například v heteronukleárních C–H experimentech informaci o vodíkových atomech navázaných na magneticky neaktivní izotop  $^{12}\text{C}$ ).

Následující přehled ukazuje nejběžnější typy 2D NMR experimentů. Většina z těchto experimentů má celou řadu dalších variant, které modifikacemi příslušných pulzních sekvencí umožňují získat nebo potlačit některé další informace o studovaném spinovém systému. V následujícím přehledu jsou 2D NMR techniky seřazeny podle typu informace, kterou lze ze spekter získat, ne podle historického

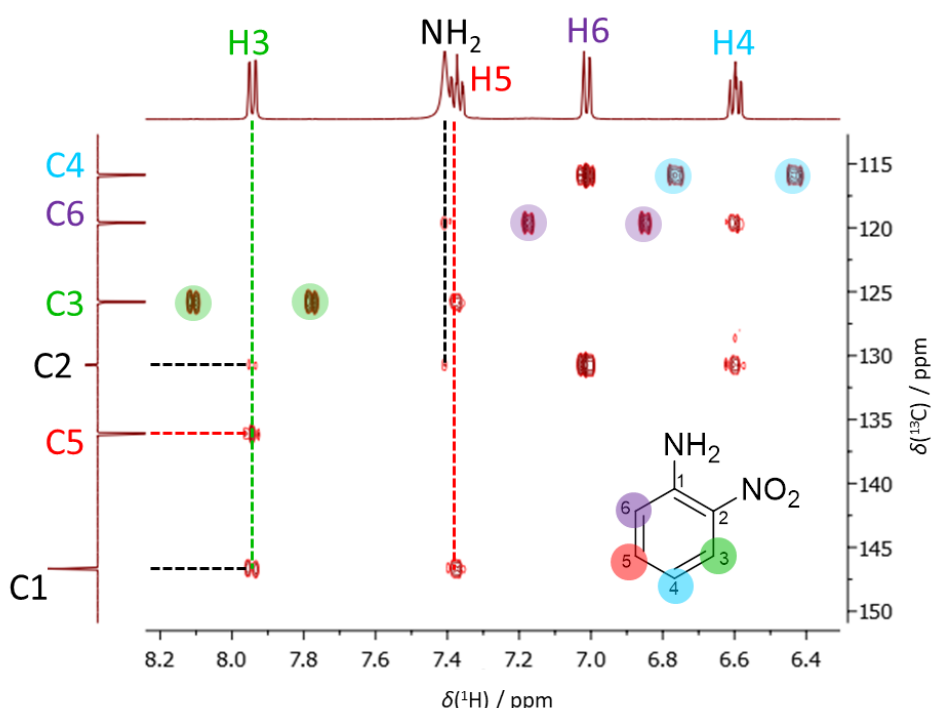
vývoje nebo typu pulzní sekvence. Variabilitu pulzních sekvencí lze demonstrovat na H–C heteronukleárním korelovaném experimentu, který umožňuje přiřadit signály na sebe navázaných vodíkových a uhlíkových atomů. Původní experiment s přímou detekcí uhlíků se nazývá C,H-COSY nebo HETCOR, inverzní varianta tohoto experimentu se nazývá HMQC, jiná inverzní pulzní sekvence vedoucí k téže informaci ve spektru se nazývá **HSQC** (Heteronuclear Single Quantum Correlation). Moderní verze HSQC experimentu obsahují navíc gradientové pulzy. Další varianty tohoto experimentu mohou obsahovat kladné nebo záporné signály podle počtu vodíkových atomů navázaných na daný uhlíkový atom. Volba pulzní sekvence závisí na preferencích operátora a na konkrétním studovaném problému. Inverzní techniky jsou mnohem citlivější než neinverzní, proto jsou obecně mnohem více používané. Méně citlivý neinverzní HETCOR můžeme zvolit například v případě, když jsou uhlíkové signály velmi blízko sebe a pro dostačné rozlišení uhlíkové dimenze ( $F_1$ ) v inverzním experimentu bychom museli použít velmi vysoký počet inkrementů. Příklad HSQC spektra 2-nitroanilinu je na obrázku 3.20.



**Obrázek 3.20.** HSQC spektrum 2-nitroanilinu. Krosplíky spojují signály na sebe navázaných uhlíkových a vodíkových atomů. Vodíky NH<sub>2</sub> skupiny nemají žádný krosplík, protože nejsou přímo navázány na uhlík ale na dusík. Stejně tak kvartérní uhlíkové atomy C1 a C2 nemají žádný krosplík, protože na nich není navázaný žádný vodík. Pro přehlednost jsou v obrázku též zobrazena 1D <sup>1</sup>H a <sup>13</sup>C APT spektra.

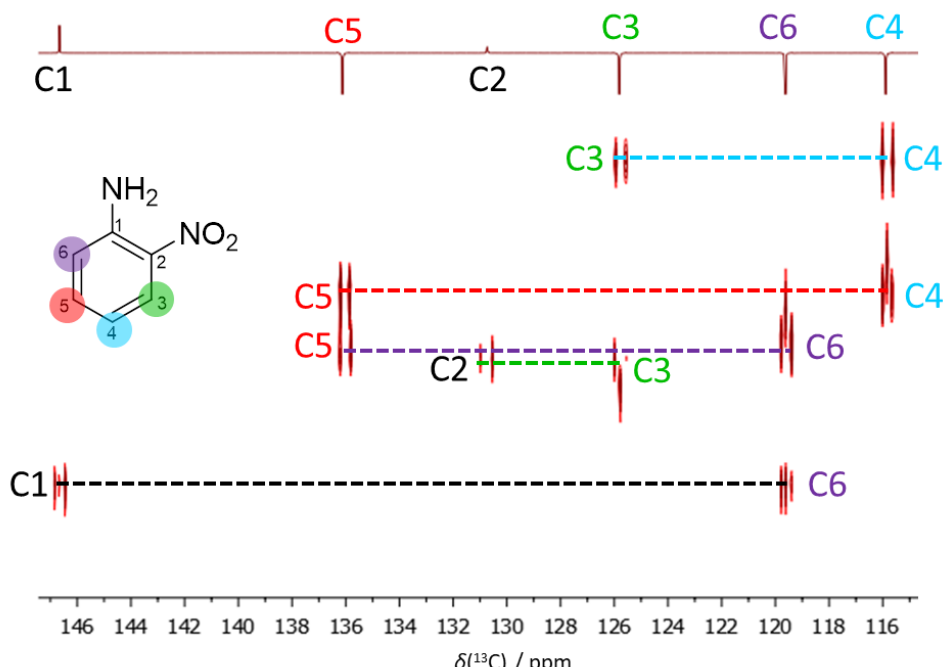
Pro získání H–C korelací přes dvě a více vazeb lze použít **HMBC** experiment (Heteronuclear Multiple Bond Correlation). Intenzita krosplíku se řídí velikostí heteronukleární C–H interakce; nejčastěji pozorujeme korelace přes dvě nebo tři vazby. Z velikosti krosplíku ale není možné zjistit, kolik vazeb je mezi interagujícími atomy. Například u derivátů benzenu bývají heteronukleární skalární interakce přes dvě vazby menší než přes tři vazby. Na obrázku 3.21 je HMBC spektrum 2-nitroanilinu. Například vodík H3 má v tomto spektru dva intenzivní krosplíky s uhlíky C1 a C5 (oba přes tři vazby) a jeden málo intenzivní krosplík s uhlíkem C2 (přes dvě vazby), krosplík s uhlíkem C4

nepozorujeme vůbec. Podobně můžeme v tomto spektru pozorovat intenzivní krospíky přes tři vazby H5–C3, H5–C1, H6–C4, H6–C2, H4–C6 a H4–C2. V HMBC spektrech lze pozorovat i interakce vodíků, které nejsou přímo navázány na uhlík; například ve spektru 2-nitroanilinu pozorujeme krospík mezi NH<sub>2</sub> vodíky a uhlíkem C2 a C6 (oba odpovídají interakci přes tři vazby). V některých případech je možné v HMBC spektrech pozorovat i korelace přes čtyři a více vazeb. V HMBC spektrech se často můžeme setkat s takzvanými HSQC artefakty (na obrázku 3.21 zvýrazněny barevnými kroužky). Tyto artefakty vždy vypadají jako dublet a střed tohoto dubletu by odpovídal krospíku mezi přímo navázaným vodíkem a uhlíkem (například H3–C3).



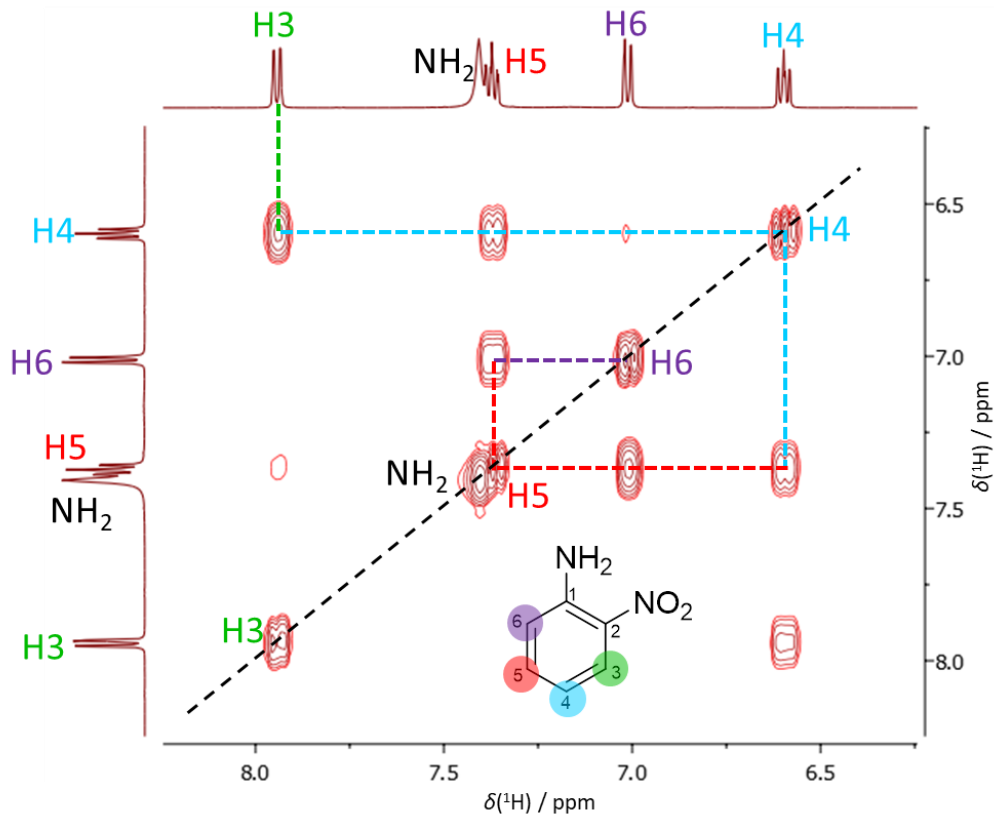
Obrázek 3.21. HMBC spektrum 2-nitroanilinu. Krospíky spojují signály uhlíkových a vodíkových atomů mezi nimiž jsou 2–3 chemické vazby. Barevnými kroužky jsou označeny HSQC artefakty.

Mezi atraktivní, ale zároveň i na čas a množství vzorku nejnáročnější metody, patří **2D-INADEQUATE** (obrázek 3.22). Tato metoda umožnuje korelovat přímo vázané uhlíky a tak určovat uhlíkový skelet. Kvůli nízkému izotopovému zastoupení uhlíku <sup>13</sup>C (cca 1%, <sup>13</sup>C–<sup>13</sup>C pár tedy pouze v 0.01% případů) je tato metoda velmi málo citlivá a vyžaduje značné množství vzorku (řádově desítky až stovky mg). Obrázek 3.22 ukazuje INADEQUATE spektrum 2-nitroanilinu.



Obrázek 3.22. 2D-INADEQUATE spektrum 2-nitroanilinu s naznačeným přiřazením signálů, pomocí kterých lze určit C–C vazby v uhlíkovém skeletu molekuly. Pro přehlednost je v obrázku též zobrazeno 1D <sup>13</sup>C APT spektrum.

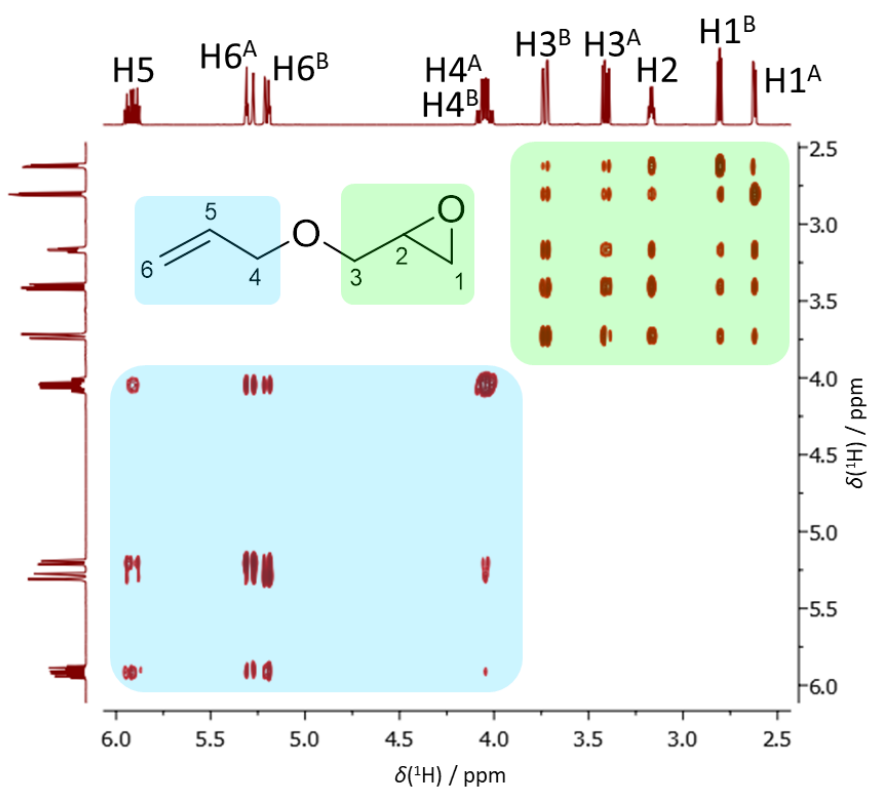
Jednou z nejdůležitějších a nejdéle a nejčastěji používaných 2D-NMR technik je homonukleární korelované <sup>1</sup>H-<sup>1</sup>H COSY (COrelatIon SpectroscopY). Základní verze pulzní sekvence tohoto experimentu obsahuje pouze dva 90° pulzy oddělené evoluční dobou  $t_1$ . Spektrum má v obou frekvenčních dimenzích chemické posuny vodíků. COSY spektrum je symetrické podle diagonály a objevují se v něm dva typy signálů: **diagonální signály** reprezentují původní 1D spektrum (nepřináší tedy žádnou informaci navíc proti 1D spektru) a **mimodiagonální signály ("krospíky")**, které indikují skalární interakci mezi jádry (Obrázek 3.23). Interagující partnery lze nalézt pomocí horizontální a vertikální čáry vycházející z krospíku a protínající diagonálu. Vzhledem k symetrii spektra podle diagonály lze tuto proceduru provést v levém horním anebo pravém dolním trojúhelníku.



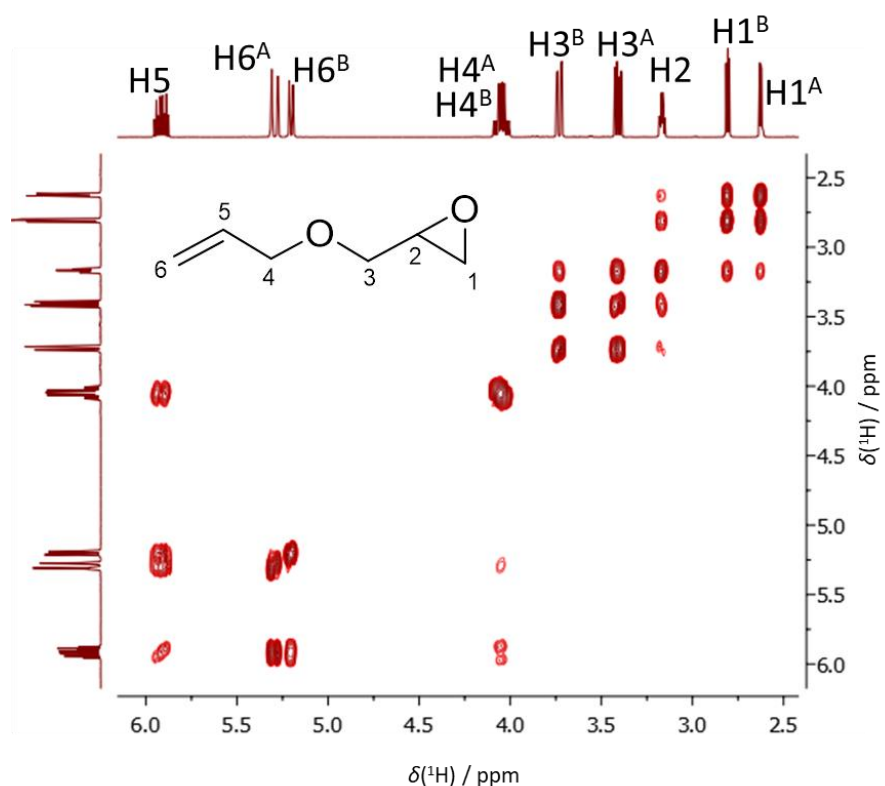
**Obrázek 3.23.** COSY spektrum 2-nitroanilinu s naznačeným postupem přiřazení signálů. Spektrum je symetrické podle diagonály naznačené černou přerušovanou čarou. Ve spektru jsou patrné i málo intenzivní krospíky odpovídající skalárním interakcím přes čtyři vazby (H3–H5 a H4–H6).

Běžný COSY experiment obvykle spolehlivě deteguje interakce  $J \geq 2$  Hz. Velmi malé interakce ( $< 2$  Hz) lze prokázat pomocí "long-range COSY" experimentu, pomocí kterého lze často detektovat i takové interakce, které nejsou rozlišeny v 1D spektru.

Odlišný způsob přenosu informace o  $J(H,H)$  je využíván v **TOCSY** (TOtal Correlation SpectroscopY) (obrázek 3.24). V průběhu této pulzní sekvence se využívá takzvaný spinlock, tedy „uzamčení“ vektorů magnetizace v rovině  $xy$  pomocí magnetického pole vyvolaného rychlým sledem  $180^\circ$  pulzů. Během spinlocku se spinový systém nevyvíjí podle magnetického pole  $\mathbf{B}_0$  (tedy pole supravodivého magnetu) ale podle magnetického pole, které udržuje vektory magnetizace v rovině  $xy$ . Během spinlocku je magnetizace postupně přenášena mezi všemi vodíky určitého izolovaného spinového systému. Izolovaným spinovým systémem rozumíme část molekuly, jejíž žádný vodík nemá skalární interakci s žádným vodíkem z jiné části molekuly. Typickým příkladem jsou oligosacharidy nebo oligopeptidy, kde každá monosacharidová nebo aminokyselinová jednotka tvoří jeden izolovaný spinový systém. TOCSY spektrum v ideálním případě obsahuje pro každý vodík krospíky se všemi ostatními vodíky daného spinového systému.



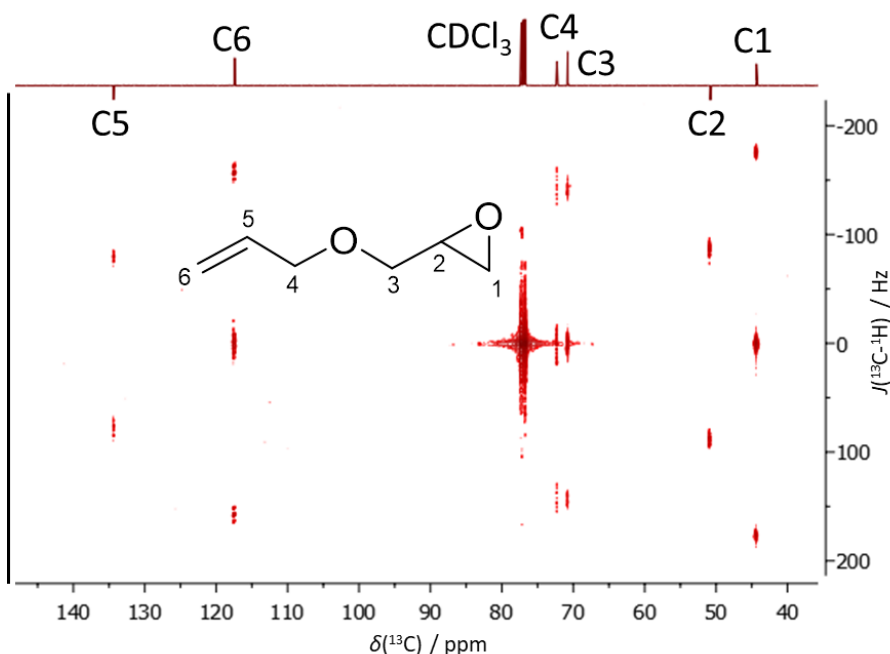
Obrázek 3.24. TOCSY spektrum zobrazeného allyl glycidyl etheru. Všechny vodíky v pozicích 1–3 tvoří jeden spinový systém a všechny vodíky v pozicích 4–6 tvoří druhý spinový systém. V TOCSY spektru vidíme korelace mezi všemi vodíky daného spinového systému. Všimněte si neekvivalence  $\text{CH}_2$  vodíků v polohách 1, 3 a 5. Vodíky v těchto polohách jsou diastereotopní (viz kapitola 9.3). Na obrázku 3.25 je pro porovnání zobrazeno COSY spektrum téže sloučeniny.



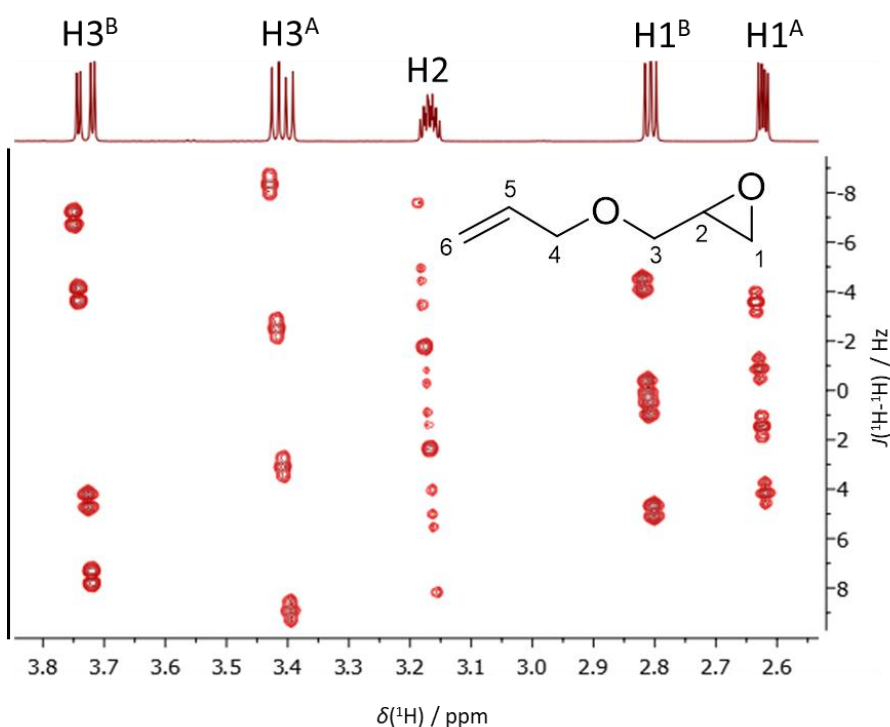
Obrázek 3.25. COSY spektrum allyl glycidyl etheru.

NOESY a ROESY experimenty jsou další běžně měřené homonukleární korelované 2D experimenty. Krosplíky v NOESY a ROESY spektrech nesouvisí se skalární interakcí mezi jádry ale s prostorovou blízkostí jader. Tento typ experimentů je podrobněji probrán v [kapitole 5](#).

Korelované 2D NMR experimenty mají v současné době mnohem větší praktické uplatnění než experimenty rozlišené, jejichž měření je žádoucí pouze ve speciálních případech. Princip vzniku heteronukleárního rozlišeného spektra byl popsán výše, ukázka takového spektra je na [obrázku 3.26](#). Příklad homonukleárního rozlišeného spektra je na [obrázku 3.27](#). Tento experiment umožňuje separovat chemické posuny vodíků v ose  $F_2$  od interakčních konstant  $J(\text{H},\text{H})$  v ose  $F_1$ . Projekce do osy  $F_2$  je ekvivalentní  $^1\text{H}$  NMR spektru s "kompletním dekaplinkem vodíků" (singlety pro každý H) a řezy rovnoběžné s osou  $F_1$  představují separované multiplety jednotlivých vodíků.



Obrázek 3.26. Heteronukleární rozlišené spektrum allyl glycidyl etheru.



Obrázek 3.27. Část homonukleárního rozlišeného spektra allyl glycidyl etheru. Signály jsou v tomto spektru mírně nakloněné podél osy  $F_1$  (osa interakčních konstant), toto naklonění lze odstranit během zpracování spekter.

#### 4. RELAXACE V NMR SPEKTROSKOPII

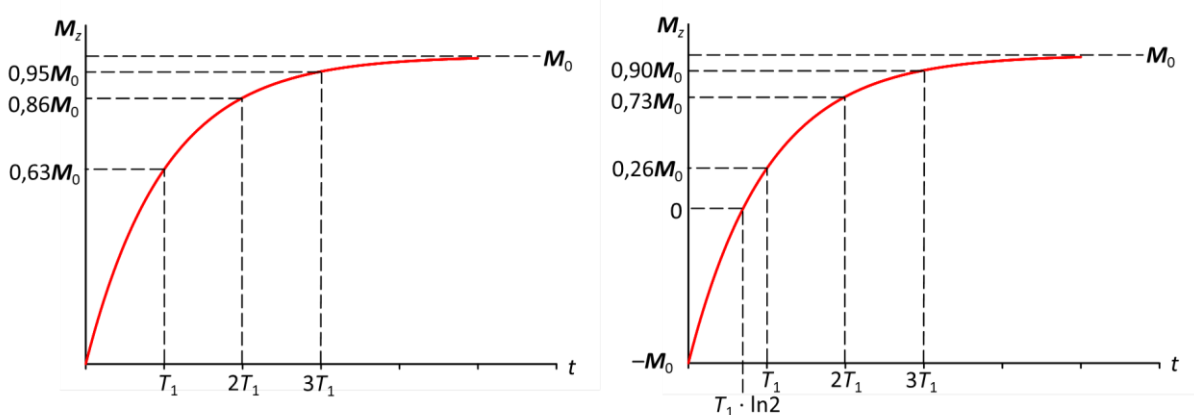
Magnetizace směřuje v rovnovážném stavu ve směru osy magnetického pole (osy  $z$ ). Aplikací elektromagnetických pulzů stáčíme magnetizaci z osy  $z$  a jaderný spinový systém je vyveden z rovnováhy. Spinový systém se postupně vrací zpět do rovnovážného stavu a tomuto jevu říkáme relaxace. V NMR spektroskopii se rozlišují dva typy relaxačních dějů: **podélná relaxace** a **příčná relaxace**.

##### 4.1 Podélná relaxace

Během podélné relaxace (spin-mřížkové, longitudální) se znova buduje rovnovážná magnetizace v ose  $z$ . Například v pulzní sekvenci pro měření vodíkových NMR spekter je  $90^\circ$  pulz, který sklopí magnetizaci z osy  $z$  do roviny  $xy$ . Bezprostředně po tomto pulzu je tedy magnetizace v ose  $z$  nulová. Díky podélné relaxaci se znova vybuduje rovnovážná magnetizace v ose  $z$ . Nárůst magnetizace v ose  $z$  probíhá podle rovnice

$$M_z = M_0 (1 - e^{-t/T_1})$$

kde  $M_z$  je velikost magnetizace v ose  $z$ ,  $M_0$  je rovnovážná magnetizace,  $t$  je čas po  $90^\circ$  pulzu a  $T_1$  je spin mřížkový relaxační čas (obrázek 4.1). Čím je  $T_1$  kratší, tím rychleji je znova dosaženo rovnovážného stavu.  $T_1$  bývá nejčastěji v rázech stovek milisekund až sekund, ale v některých případech může být i mnohem kratší nebo delší (až několik hodin). Podélná relaxace je také zodpovědná za vybudování magnetizace  $M_0$  po vložení vzorku do magnetického pole. Celková magnetizace vzorku mimo magnetické pole je nulová a po umístění v magnetickém poli se postupně buduje se stejným charakteristickým časem  $T_1$  jako po excitaci spinového systému elektromagnetickými pulzy.

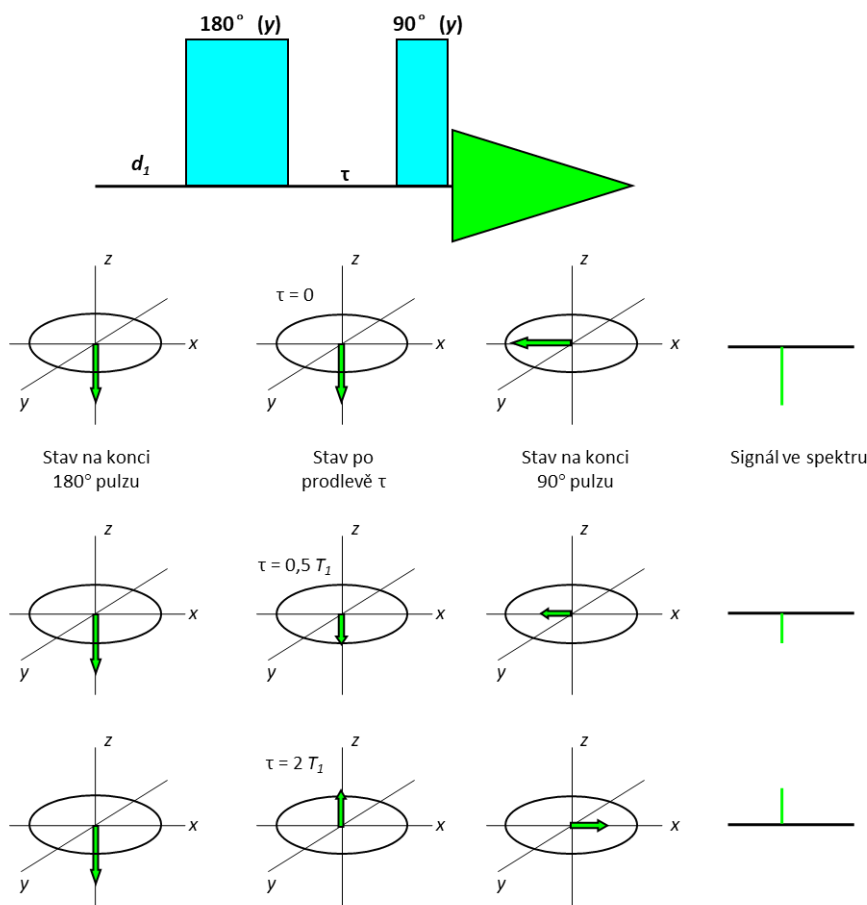


Obrázek 4.1. Vlevo: návrat podélné magnetizace  $M_z$  k rovnovážné hodnotě  $M_0$  po  $90^\circ$  pulzu. Vpravo: návrat podélné magnetizace  $M_z$  k rovnovážné hodnotě  $M_0$  po  $180^\circ$  pulzu.

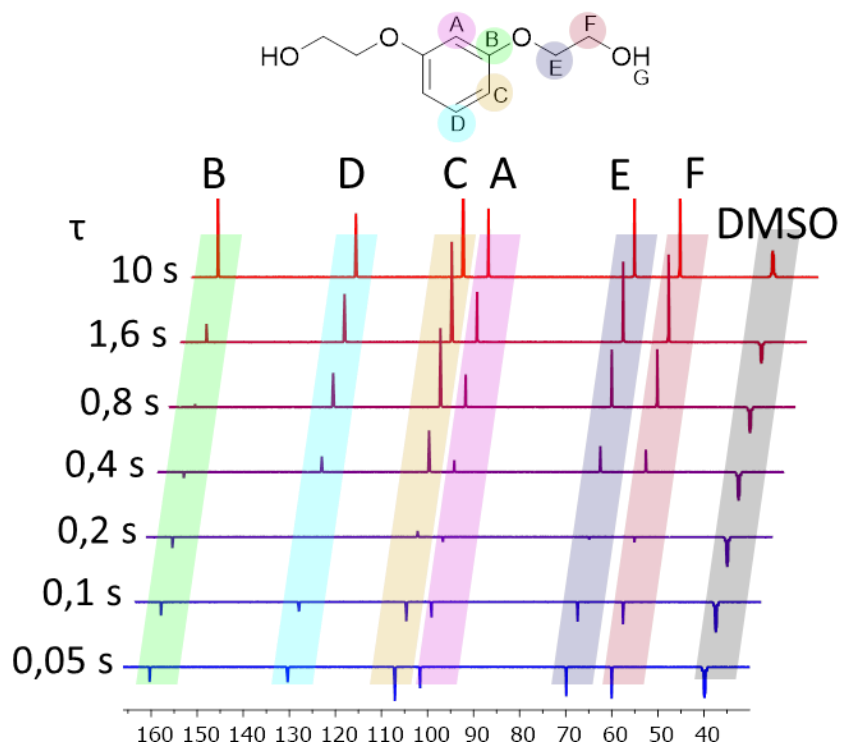
Alespoň přibližná znalost relaxačního času  $T_1$  je důležitá pro nastavení repetičního času pulzních experimentů. Prodleva  $d_1$  na začátku každého průchodu pulzní sekvencí musí být dostatečně dlouhá, aby spinový systém dosáhl stavu blízkého rovnováze. To nebývá problém při měření vodíkových spekter, protože vodíková jádra mají většinou krátké relaxační časy  $T_1$ . Některá uhlíková jádra (hlavně kvartérních uhlíkových atomů) ale mohou mít relaxační čas  $T_1$  delší a při běžném nastavení

repetičního času uhlíkového experimentu (například 3 sekundy) se jejich magnetizace nedostane do rovnovážného stavu. V dalším průchodu pulzní sekvencí je po excitačním pulzu velikost magnetizace v rovině  $xy$  menší než u plně zrelaxovaných jader a intenzita výsledných signálů ve spektru je tedy nižší. To je jeden z důvodů, proč se běžná uhlíková spektra nedají integrovat (druhým důvodem je nukleární Overhauserův efekt – [kapitola 5](#)).

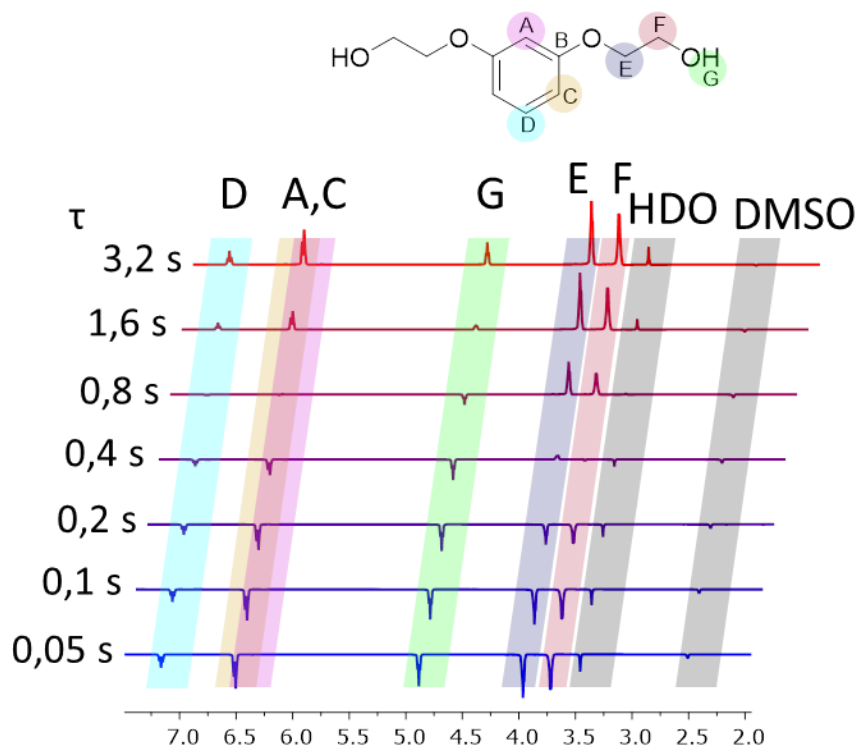
Pro měření relaxačních časů  $T_1$  se používá pulzní sekvence „**inversion recovery**“ ([obrázek 4.2](#)). Tato sekvence obsahuje  $180^\circ$  pulz, který sklopí magnetizaci do osy  $-z$ , poté následuje prodleva  $\tau$ , kterou můžeme měnit. Během prodlevy  $\tau$  dochází k podélné relaxaci, magnetizace v  $-z$  se zmenšuje, prochází nulou a pak se znova vytváří magnetizace v ose  $+z$ . Po prodlevě  $\tau$  následuje  $90^\circ$  pulz a detekce signálu. Příklad měření uhlíkových relaxačních časů je na [obrázku 4.3](#) a příklad měření vodíkových relaxačních časů  $T_1$  je na [obrázku 4.4](#).



[Obrázek 4.2](#). Pulzní sekvence Inversion recovery a vývoj spinového systému v průběhu této sekvence v závislosti na délce prodlevy  $\tau$ .



Obrázek 4.3. Série  $^{13}\text{C}$  experimentů inversion recovery měřených s různě dlouhou prodlevou  $\tau$ .



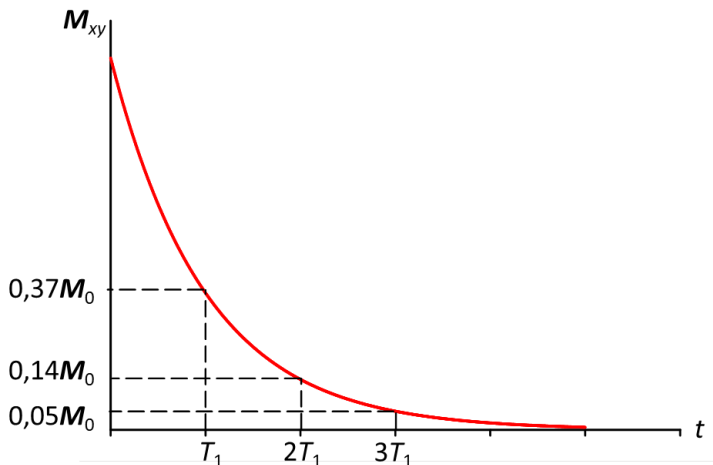
Obrázek 4.4. Série  $^1\text{H}$  experimentů inversion recovery měřených s různě dlouhou prodlevou  $\tau$ .

## 4.2 Příčná relaxace

Během příčné relaxace (spin-spinové, transversální) dochází k ubývání magnetizace v rovině  $xy$ . Příčná relaxace spočívá ve vzájemné interakci jader, spojené s výměnou orientace jejich spinů a předáním energie. Zkracuje střední dobu života jader v excitovaném stavu, ale nevede ke vzniku přebytku jader na nižší energetické hladině. Důsledkem příčné relaxace ubývá intenzita snímaného signálu (FIDu). Úbytek magnetizace v rovině  $xy$  probíhá podle rovnice

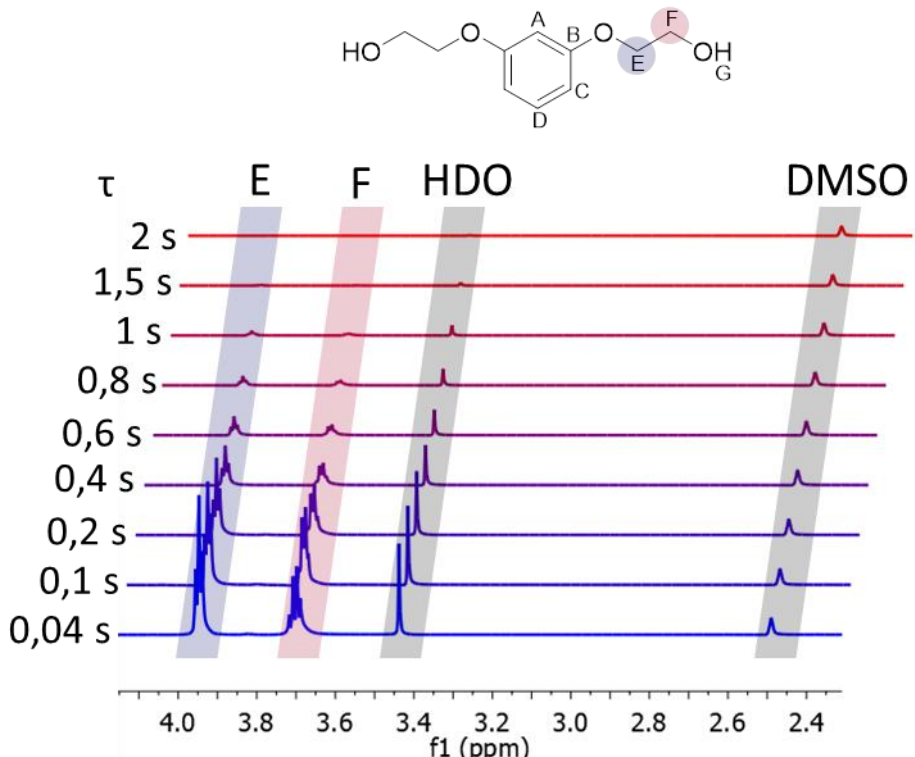
$$M_{xy} = M_0 \cdot e^{-t/T_2}$$

kde  $M_{xy}$  je velikost magnetizace v rovině  $xy$ ,  $M_0$  je magnetizace v rovině  $xy$  po  $90^\circ$  pulzu,  $t$  je čas po  $90^\circ$  pulzu a  $T_2$  je spin-spinový relaxační čas ([obrázek 4.5](#)). Čím je  $T_2$  kratší, tím rychleji ubývá magnetizace v rovině  $xy$  a také FID ubývá rychleji. Krátké časy  $T_2$  mají za následek rozšíření signálů ve spektru (viz [kapitola 2.4](#) o Fourierově transformaci).  $T_2$  bývá nejčastěji v řádu stovek milisekund až sekund. Obecně lze říci, že velké molekuly (např. proteiny, polymery) mají krátké relaxační časy  $T_2$  a signály těchto látek proto bývají rozšířené. Naopak malé molekuly (např. běžná rozpouštědla) mají  $T_2$  dlouhé a ve spektru mají úzké signály. Relaxační čas  $T_2$  je vždy kratší nebo rovný času  $T_1$  (nikdy nemůže nastat situace, že došlo k úplné podélné relaxaci – rovnovážná magnetizace je v ose  $z$ , a zároveň ještě část magnetizace zůstává v rovině  $xy$  – nedošlo k příčné relaxaci).



[Obrázek 4.5.](#) Doznívání příčné magnetizace  $M_{xy}$  k nulové rovnovážné hodnotě po  $90^\circ$  pulzu.

Pro měření relaxačních časů  $T_2$  se používá pulzní sekvence spinové echo ([kapitola 3.1](#)). Tato sekvence začíná prodlevou, během níž se v systému ustanoví rovnovážný stav. Poté následuje  $90^\circ$  pulz, který sklopí magnetizaci z osy  $z$  do roviny  $xy$ . Během doby  $\tau$  vykonává magnetizace precesní pohyb kolem osy  $z$  se svoují Larmorovou frekvencí. Za dobu  $\tau$  se magnetizace otočí o úhel  $\phi$ . Poté následuje  $180^\circ$  pulz podél osy  $x$ , který ponechá magnetizaci v rovině  $xy$ , ale překlopí ji na druhou stranu osy  $x$ . Během doby  $\tau$  vykonává magnetizace opět precesní pohyb kolem osy  $z$ . Za dobu  $\tau$  se magnetizace otočí o stejný úhel  $\phi$  a tím pádem se vrátí opět do osy  $x$ , ale její intenzita je snížena kvůli příčné relaxaci, ke které došlo v průběhu této pulzní sekvence. Čím je doba  $\tau$  delší, tím je výsledná magnetizace v ose  $x$  menší. Příklad měření vodíkových relaxačních časů  $T_2$  pomocí spinového echo je na [obrázku 4.6](#).



Obrázek 4.6.  $^1\text{H}$  spinové echo měřené s různě dlouhou prodlevou  $\tau$ .

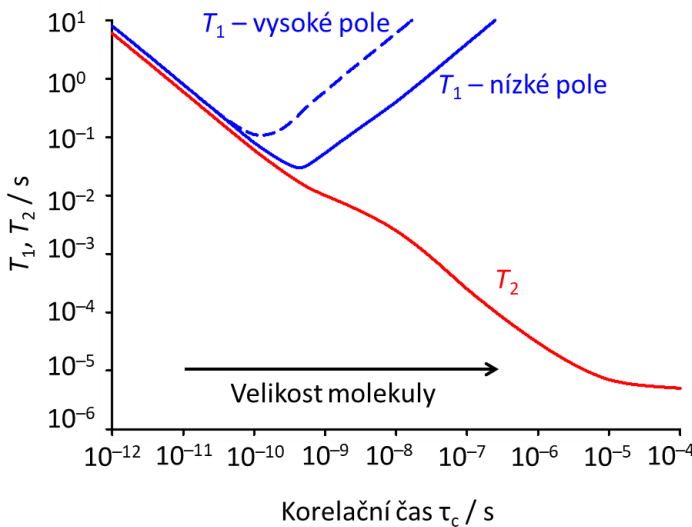
#### 4.3 Relaxační mechanismy

Spontánní relaxace (bez externích vlivů) je pro izolovaná jádra se spinem  $\frac{1}{2}$  prakticky nulová. Aby mohlo docházet k relaxaci, musí na jádro působit fluktuující magnetické pole. Hlavním zdrojem fluktuujícího magnetického pole je molekulový pohyb, díky kterému dochází ke změnám ve vzdálenosti a vzájemné orientaci daného jádra s dalšími magneticky aktivními jádry v molekule. Molekulární pohyb lze popsat efektivním **korelačním časem**  $\tau_c$ , který v případě translačního pohybu definuje průměrný čas mezi dvěma srážkami molekul anebo při rotačním pohybu střední čas poootočení molekuly o 1 radián. Hodnota  $\tau_c$  souvisí s velikostí a symetrií molekuly, viskozitou a teplotou. Typický korelační čas malých molekul v neviskózních rozpouštědlech je v řádu  $10^{-12}$  sekund.

Rychlosť spin-mřížkové relaxace ( $1/T_1$ ) je nejvyšší, když korelační frekvence molekulárního pohybu ( $1/\tau_c$ ) je blízká rezonanční frekvenci relaxujících jader ( $\tau_c \cdot \omega_0 \sim 1$ , kde  $\omega_0$  je úhlová rychlosť Larmorovy precese) a rychlosť relaxace klesá, je-li molekulární pohyb výrazně rychlejší nebo pomalejší. Naproti tomu k rychlosti spin-spinové relaxace ( $1/T_2$ ) přispívá nízko- i vysokofrekvenční molekulární pohyb, takže  $1/T_2$  monotónně klesá s klesajícím  $\tau_c$ .

Souvislost relaxačních časů  $T_1$ ,  $T_2$  s korelačním časem  $\tau_c$  ukazuje obrázek 4.7. Za podmínek rychlé molekulární reorientace ( $\tau_c \cdot \omega_0 \ll 1$  - tzv. **podmínka extrémního zúžení čar**, která bývá splněna pro většinu malých až středně velkých organických látek v roztocích) jsou obě relaxační rychlosti a tedy i relaxační časy  $T_1$  a  $T_2$  stejně.

Pozorované relaxační rychlosti  $1/T_1$  a  $1/T_2$  jsou sumou relaxačních rychlostí několika různých mechanismů, jež k relaxaci přispívají.

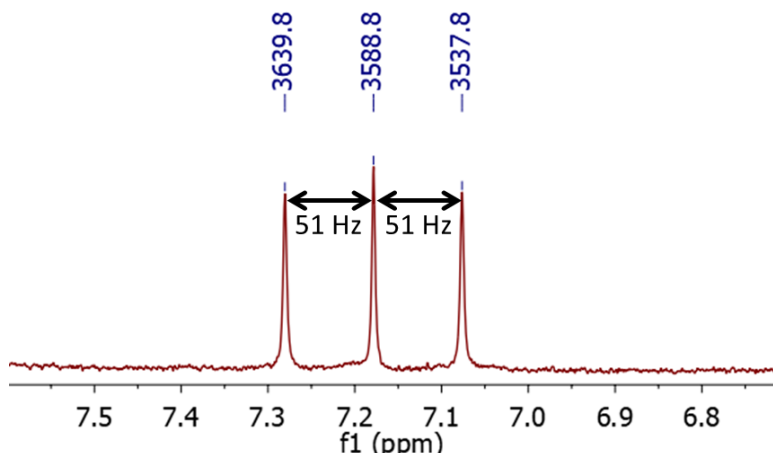


Obrázek 4.7. Schematicky znázorněný vztah mezi relaxačními časy  $T_1$ ,  $T_2$  a korelačním časem  $\tau_c$ .

**Dipól-dipólová relaxace** (DD) je způsobena interakcemi magnetických dipólů jader a je dominujícím relaxačním mechanismem pro jádra se spinem  $\frac{1}{2}$ . Existují dva typy interakce mezi magneticky aktivními jádry: skalární ( $J$ ) interakce, která je zprostředkována elektronu a přímá dipól-dipólová (nebo dipolární) interakce, která závisí na vzdálenosti mezi jádry a jejich vzájemné orientaci vůči magnetickému poli. Na rozdíl od skalární interakce nevede přímá dipól-dipólová interakce k štěpení signálů látek v roztoku, protože rychlá reorientace molekul vede k zprůměrování této interakce na nulovou střední hodnotu. Rychlé změny velikosti této interakce v průběhu molekulových pohybů ale přispívají k relaxaci. Rychlosť dipól-dipólové relaxace klesá se šestou mocninou vzdálenosti interagujících jader a tato relaxace je tedy nejúčinnější při interakcích mezi přímo navázanými atomy. To je důvodem, proč kvartérní uhlíkové atomy mívají delší relaxační časy než uhlíky s přímo navázanými vodíkovými atomy. Rychlosť dipól-dipólové relaxace je také přímo úměrná gyromagnetickým poměrům interagujících jader. Z tohoto důvodu jsou relaxační rychlosti jader  $^{13}\text{C}$  v deuterovaných rozpouštědlech menší než v molekulách s vodíkem  $^1\text{H}$  ( $^2\text{H}$  má přibližně 6,5 krát menší gyromagnetický poměr než  $^1\text{H}$ ).

**Kvadrupolová relaxace** (QR) je obvykle dominujícím relaxačním mechanismem pro jádra se spinem  $I > \frac{1}{2}$ , která mají elektrický kvadrupolový moment v důsledku nesférického rozložení elektrického náboje. Molekulární pohyb pak vede k fluktuaci elektrického pole a může přispívat k relaxaci. Rychlosť kvadrupolové interakce závisí na velikosti kvadrupolového momentu jádra, který je konstantní pro daný izotop, a symetrii molekuly. Některá kvadrupolární jádra, například  $^2\text{H}$  nebo  $^6\text{Li}$ , mají malý kvadrupolový moment a jejich relaxace není výrazně rychlejší než u jader se spinem  $\frac{1}{2}$  a lze je v roztoku bez problémů měřit. Jádra s velkým kvadrupolovým momentem mívají výrazně kratší relaxační časy  $T_1$  i  $T_2$ , což vede ke značnému rozšíření jejich signálů ve spektru, často není ani možné rozlišit signály jednotlivých neekvivalentních jader v molekule. Kvadrupolární relaxace může ovlivnit i okolní magneticky aktivní jádra, protože rychlá relaxace může rozšířit nebo zcela odstranit skalární interakce s kvadrupolárním jádrem, což přispívá k relaxaci sledovaného jádra (mechanismem skalární relaxace). Tento efekt lze běžně pozorovat například pro  $^{14}\text{N}-\text{H}$ ,  $^{14}\text{N}-\text{C}$ ,  $^{11}\text{B}-\text{H}$  a  $^{11}\text{B}-\text{C}$  skupiny. Například bývá obtížné pozorovat protony nebo uhlíky přímo navázané na bor, protože jejich signály jsou rozšířené tímto mechanismem. Ze stejného důvodu většinou nejsou ve vodíkových nebo uhlíkových spektrech pozorovatelné skalární interakce s dusíkem  $^{14}\text{N}$  (přestože  $^{14}\text{N}$  je magneticky

aktivní a má téměř 100% přirozené izotopové zastoupení). Skalární interakce s dusíkem  $^{14}\text{N}$  lze pozorovat pouze pro molekuly s tetraedrickou symetrií, například tetraalkylamonné soli nebo amonné kationty (obrázek 4.8).



Obrázek 4.8.  $^1\text{H}$  signál ammoného kationtu molekuly  $\text{NH}_4\text{Cl}$  v DMSO. Signál je rozštěpen na tři linie o stejné intenzitě díky skalární interakci jader vodíku s jádrem dusíku  $^{14}\text{N}$ . Dusík  $^{14}\text{N}$  má spinové kvantové číslo  $I = 1$  a tedy tři možné spinové stavy ( $m = -1, 0, 1$ ).

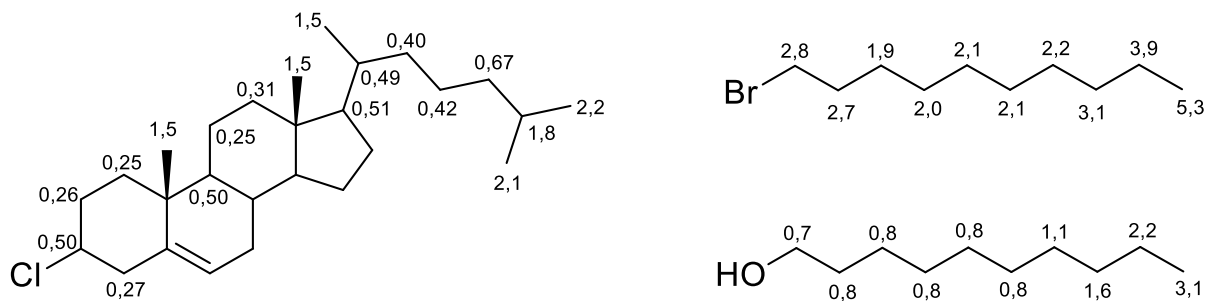
**Spin-rotační relaxace** (SR) se výrazně uplatňuje u velmi malých molekul či velmi rychle rotujících skupin (např.  $\text{CH}_3$ ), zvláště při vyšších teplotách a v plynech. Rychle rotující molekuly a skupiny s malým momentem setrvačnosti generují rotační magnetický moment, který může interagovat s jaderným magnetickým momentem a vést k relaxaci jádra.

**Relaxace anizotropí chemického posunu** (CSA). Protože stínící konstanta  $\sigma$  je obecně anizotropní (její hodnota závisí na orientaci molekuly vůči poli  $B_0$ ), způsobuje rotace molekul náhodné fluktuace magnetického pole. Molekulární reorientace sice zprůměrují velikost stínění (chemického posunu) jádra, ale fluktuující složky magnetického pole s vhodnými frekvencemi mohou přispívat k relaxaci jádra.

**Skalární relaxace** (SC) se může uplatnit tehdy, když pozorované jádro má skalární interakci s jiným jádrem a tato interakce je modulována buď chemickou výměnou, nebo relaxací tohoto jádra. Fluktuace skalární spin-spinové interakce  $J$  pak může vést k fluktuujícím magnetickým polím v místě pozorovaného jádra a přispívat tak k jeho relaxaci.

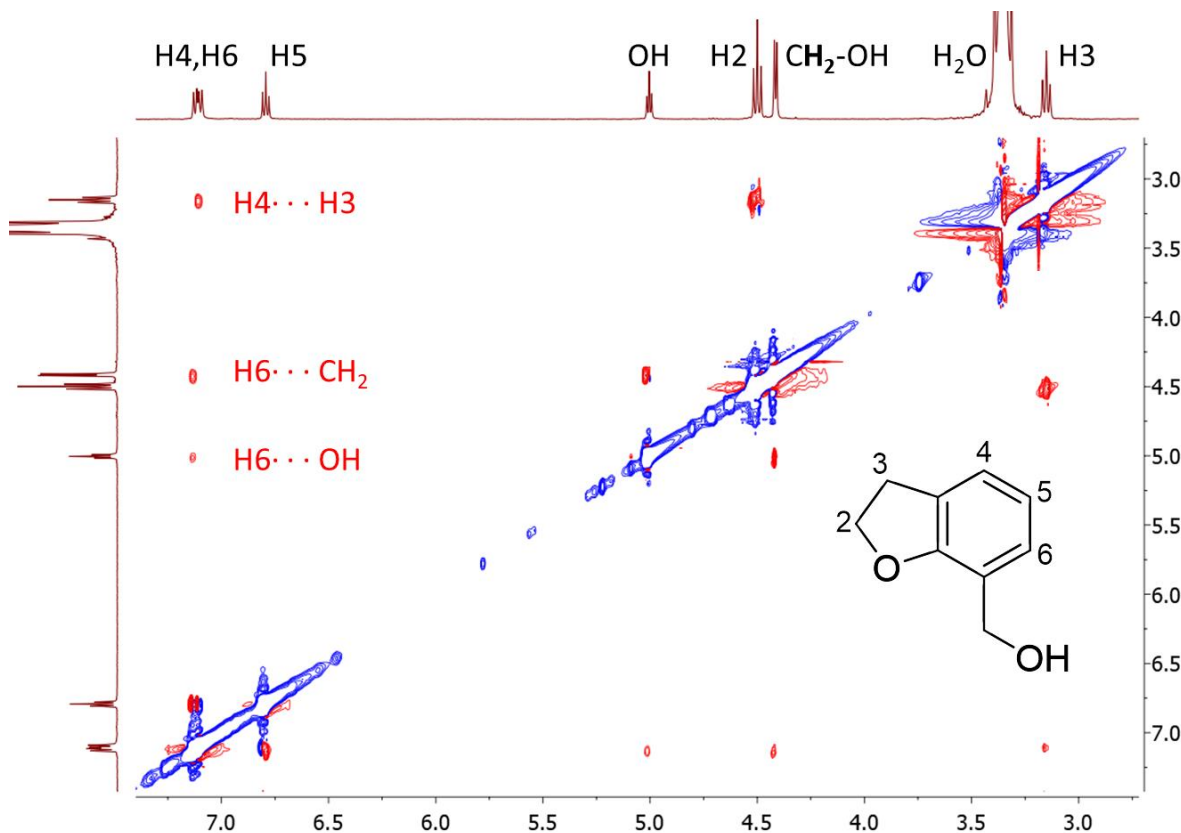
Podobným způsobem jako k relaxaci přispívají vzájemné interakce mezi jádry (skalární a dipolární) mohou relaxační časy významně zkracovat i interakce s nepárovými elektronami v paramagnetických látkách. Přítomnost paramagnetických iontů v měřeném roztoku může způsobit značné rozšíření spektrálních čar. Zvýšení relaxačních rychlostí při interakcích s nepárovým elektronem využívají **relaxační činidla** (například *tris(acetylacetonát) chromitý*), která přispívají rovnoměrně ke zvýšení relaxačních rychlostí jader substrátu a umožňují tak zkrátit repetiční čas pulzní sekvence (zkrácením doby  $d_1$  nutné pro návrat do rovnovážného stavu). Pokud je paramagnetický ion pevně vázán v komplexu nebo molekule (například v metaloproteinech), lze paramagnetickou relaxaci využít k získávání strukturních informací, protože tato relaxace (a tedy rozšíření signálů) klesá se šestou mocninou vzdálenosti jádra od paramagnetického centra. Molekuly kyslíku  $\text{O}_2$  jsou také paramagnetické a mohou zkracovat relaxační časy látek v roztoku, proto je třeba před měřením relaxačních časů kyslík z roztoku odstranit buďto vakuem nebo probubláním roztoku dusíkem nebo argonem.

Protože rychlosť NMR relaxace úzce souvisí s pohybom molekul, lze měření relaxačních časů využít ke studiu molekulové dynamiky. Například různé rychlosti molekulových pohybů v různých částech (segmentech) molekuly se projeví na rychlosti relaxace. Například  $^{13}\text{C}$  relaxační časy  $T_1$  v 1-bromdekanu (obrázek 4.9) jsou přibližně stejné pro všechny uhlíky v centrální části molekuly, ale prodlužují se blízko konců, kde je konformační flexibilita a rychlosť molekulových pohybů vyšší. V dekan-1-olu se uhlíkové  $T_1$  časy postupně zkracují, čím blíže je daný uhlík blíže OH skupině, což je pravděpodobně důsledek „ukotvení“ OH skupin vzájemnými mezimolekulovými vodíkovými vazbami. Efekt molekulové dynamiky lze také vypozorovat u cholesterolu chloridu, kde všechny CH uhlíky umístěné v cyklickém skeletu molekuly mají přibližně stejné  $T_1$  časy (0,5 s) a  $T_1$  časy  $\text{CH}_2$  uhlíků v této části molekuly jsou přibližně 0,25 s (díky dvojnásobné C–H dipolární interakci) – tato rigidní část molekuly se pohybuje jako jeden celek. Uhlíkové  $T_1$  časy v bočním řetězci jsou kvůli zvýšené mobilitě delší. Methylové skupiny mají většinou delší časy  $T_1$ , protože dipolární interakce jsou potlačeny rychlou rotací methylové skupiny. Podobným způsobem lze studovat i molekulovou dynamiku biomolekul. Například relaxační časy v proteinech se budou významně lišit pro rigidní globule a flexibilní oligopeptidové smyčky.



Obrázek 4.9.  $T_1$  hodnoty vybraných  $^{13}\text{C}$  jader v cholesterolu chloridu.

## 5 Nukleární Overhauserův efekt



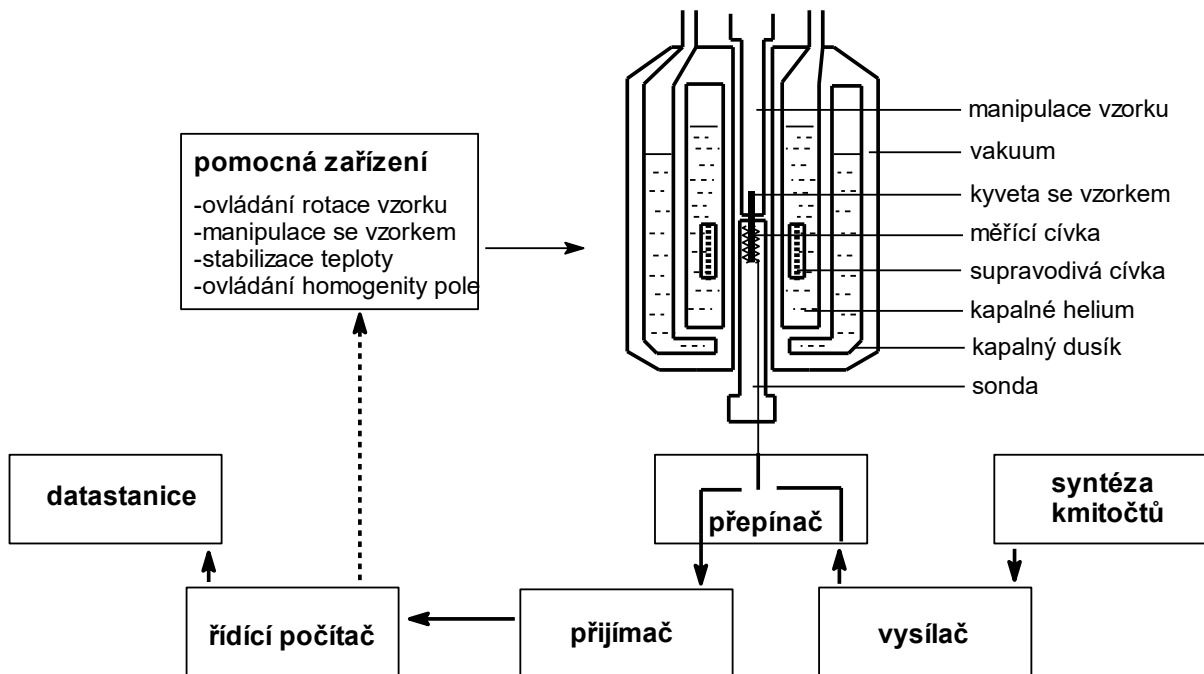
## 6 Gradienty magnetické pole

### 7 PRAKTIČKÉ ASPEKTY NMR SPEKTROSKOPIE

U většiny současných NMR spektrometrů určených pro měření kapalných vzorků je magnetické pole vytvářeno supravodivými cívками tvořenými několika tisíci závity ze speciálních slitin. Cívka je ponořena v kapalném heliu a teče jí proud okolo 100 A. Intenzita takto dosaženého magnetického pole je 4 - 18 T. Pole musí být vysoce stabilní, jeho kolísání vede k rozšíření linií ve spektru. Stejně tak vede k rozšíření linií nízká homogenita magnetického pole - pokud se vyskytují jinak identická jádra z různých částí vzorku při různém poli, rezonují při různých frekvencích. Homogenita pole se upravuje speciální sadou prostorově různě orientovaných cívek, u nichž se intenzita proudu a tím i dodatkového pole upravují pro každý vzorek zvlášť. Část nehomogenit je možno eliminovat rotací kyvety se vzorkem, protože každé jádro prochází během otočky různými oblastmi magnetického pole.

U současných FT spektrometrů je obvykle stejná cívka použita pro vyslání pulzu i pro snímání odezvy. Další cívka nebo cívky slouží pro vysílání frekvencí jiného jádra, vytváření gradientů pole apod. Při manipulaci se spinovými systémy je k cívce připojen syntezátor frekvencí opatřený zesilovačem (vysílačem) o výkonu obvykle 50-300 W, který musí být schopen produkovat krátké radiofrekvenční pulsy o přesné amplitudě, frekvenci a fázi. Vysílače bývají obvykle dva nebo více, protože často je ozařováno i jiné jádro než měřené. Kromě toho je další nezávislý kanál využit pro udržení stabilního pole (lock), ten obvykle využívá jader deuteria v použitém rozpouštědle. Při snímání odezvy systému je cívka přepnuta na přijímač, kde je signál zesílen, detekován a filtrován. Proces není jednoduchý, protože je výhodné zachytit nejen amplitudu signálu, ale i jeho fázi a dále je

třeba rozlišit od sebe signály po obou stranách excitační frekvence. U různých přístrojů je tento proces do různé míry digitalizován. Další zpracování je vždy digitální. Část NMR spektrometru, kde jsou umístěny přijímací a vysílací cívky, korekční cívky pro dosažení maximální homogenity pole a zařízení ovládající přesné nastavení teploty vzorku se nazývá sonda. Sondy lze v případě potřeby měnit. Některé sondy jsou konstruovány tak, že umožňují měřit určitý typ experimentu s větší citlivostí. FID je uložen do paměti řídícího počítače, kde jsou FIDy z jednotlivých průchodů sčítány a poté je provedena Fourierova transformace a další zpracování spektra.



Obrázek xx.

### Rozpouštědlo, standard

Pro měření NMR spekter se nejčastěji používají skleněné kyvety s vnějším průměrem 5 mm a potřebný objem roztoku je 500-600  $\mu\text{L}$ .

Vzorek je rozpuštěn v deuterovaném rozpouštědle a umístěn v kyvetě, která je přesunuta do středu magnetu na místo obklopené cívками. Deuterovaná rozpouštědla se používají, protože rozpouštědlo je oproti měřené látce většinou v obrovském nadbytku a signál vodíku  $^1\text{H}$  rozpouštědla by tak byl v  $^1\text{H}$  NMR spektru mnohem intenzivnější a mohl by překrýt signály měřené látky. Deuterace rozpouštědel není nikdy stoprocentní a tak je v  $^1\text{H}$  NMR spektrech vidět i signál nedeuterovaného rozpouštědla. V  $^{13}\text{C}$  spektrech pak můžeme pozorovat i signály uhlíků rozpouštědla, které bývají kvůli spin-spinové interakci s deuteriem rozštěpeny na multiplety.

Tabulka xx. Chemické posuny běžně používaných deuterovaných rozpouštědel.

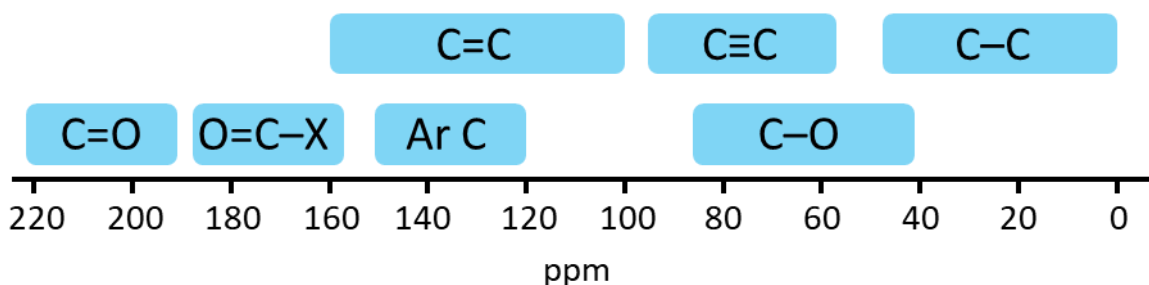
Rozpouštědlo	Vzorec	$\delta(^1\text{H})$	$\delta(^{13}\text{C})$
Chloroform	$\text{CDCl}_3$	7,26	77,0
Benzen	$\text{C}_6\text{D}_6$	7,27	128,0
Acetonitril	$\text{CD}_3\text{CN}$	1,94	1,3 118,2
Aceton	$\text{CD}_3\text{COCD}_3$	2,05	29,8

			206,3
Dimethylsulfoxid	CD <sub>3</sub> SOCD <sub>3</sub>	2,50	39,5
Methanol	CD <sub>3</sub> OD	3,31	49,0
Voda	D <sub>2</sub> O	~4,8	-

Počátek stupnice chemických posunů  $\delta$  se z technických důvodů stanovuje obtížně v absolutní hodnotě; ujalo se používání vhodného standardu, který má ve spektru jedinou liniu, kterou lze snadno najít mezi ostatními liniemi a přidává se buď přímo k měřené látce (interní standard) nebo v zatavené kapiláře do kyvety se vzorkem (externí standard). Pro <sup>1</sup>H NMR spektra to je nejčastěji tetramethylsilan (TMS), (CH<sub>3</sub>)<sub>4</sub>Si s dvanácti ekvivalentními vodíkovými atomy, ve spektrech je to singletový signál obvykle nejvíce vpravo. Pro <sup>13</sup>C NMR spektra se u roztoků v CDCl<sub>3</sub> nejčastěji používá prostřední linie jeho signálu s posunem  $\delta = 77$  ppm. Tetramethylsilan není rozpustný ve vodě, proto se při měření ve vodných roztocích používají jiné standardy (například 1,4-dioxan s chemickým posunem <sup>1</sup>H 3,75 ppm).

## 8 $^{13}\text{C}$ NMR SPEKTROSKOPIE

Spektra jader  $^{13}\text{C}$  jsou po  $^1\text{H}$  experimentech druhá nejčastěji měřená spektra při strukturní analýze organických molekul. Kvůli širokopásmovému dekaplinku, který vede k NOE obohacení některých signálů, a kvůli dlouhým relaxačním časům  $T_1$  některých uhlíkových jader není možné běžně měřená uhlíková spektra přesně kvantifikovat. Nejdůležitější informací, kterou lze z  $^{13}\text{C}$  spekter získat, jsou tak chemické posuny jednotlivých signálů. Signály uhlíkových atomů v běžných organických sloučeninách nalezneme ve spektru nejčastěji mezi 0–220 ppm. Typické oblasti signálů některých typů uhlíků jsou ukázány na obrázku 8.1 a podrobněji jsou probrány v kapitole 8.1.



Obrázek 8.1. Typické oblasti chemických posunů ve  $^{13}\text{C}$  spektrech organických molekul.

### 8.1 Chemické posuny

#### Alkany a cykloalkany

Chemický posun uhlíku v alkanech závisí na počtu uhlíkových atomů v  $\alpha$  a  $\beta$  pozicích ke sledovanému uhlíku a na jejich rozvětvení. Značný vliv na uhlíkové chemické posuny mají neuhlíkové substituenty (tabulka 8.1.). Elektronegativní substituenty odčerpávají elektronovou hustotu z okolí uhlíkového jádra, daný uhlík je pak méně stíněn a má tedy vyšší chemický posun. Souvislost chemického posunu s elektronegativitou je dobré vidět například na posunech uhlíků sousedících s fluorem, chlorem a bromem (tabulka 8.1). Jod je výjimkou z efektu elektronegativních substituentů: chemický posun uhlíku přímo navázaného na atom s velkým atomovým číslem je nižší než u nesubstituovaného alkanu. Tomuto jevu se říká efekt těžkého atomu a nejčastěji je pozorovatelný právě u sloučenin obsahující jod. Například chemický posun uhlíku v molekule  $\text{Cl}_4$  je  $-292$  ppm, tedy zcela mimo rozsah běžně měřených uhlíkových spekter. Uhlík v  $\beta$  poloze k elektronegativnímu substituentu je také méně stíněn, a jeho signál je tedy posunut k vyšším hodnotám ppm, ale tento efekt je mnohem slabší než v případě  $\alpha$  uhlíků (přímo navázaných na substituent). Signály uhlíků v poloze  $\gamma$  k substituentům jsou naopak mírně posunuty směrem do nižších hodnot chemických posunů, tomuto jevu se říká  $\gamma$ -efekt a je pravděpodobně způsoben sterickými interakcemi.

Tabulka 8.1. Chemické posuny (ppm) uhlíků v substituovaném propanu.

X—C <sup>α</sup> H <sub>2</sub> —C <sup>β</sup> H <sub>2</sub> —C <sup>γ</sup> H <sub>3</sub>	X	$\delta(C^\alpha)$	$\delta(C^\beta)$	$\delta(C^\gamma)$
	H	16,1	16,3	16,1
	CH <sub>3</sub>	24,9	24,9	13,1
	NH <sub>2</sub>	44,6	27,4	11,5
	OH	64,9	26,9	11,8
	NO <sub>2</sub>	77,4	21,2	10,8
	F	85,2	23,6	9,2
	Cl	46,7	26,0	11,5
	Br	35,4	26,1	12,7
	I	9,0	26,8	15,2

Chemické posuny nesubstituovaných cykloalkanů se většinou objevují v rozmezí 22–29 ppm, jedinou výjimkou je cyklopropan, který má uhlíkový chemický posun –2,8 ppm. Neobvykle nízké chemické posuny jsou pozorovány i u dalších tříčlenných cyklických sloučenin, například chemické posuny uhlíků v oxiranu jsou 40 ppm, zatímco chemický posun uhlíku přímo navázaného na kyslík ve vícečlenných kružích nebo v acyklických sloučeninách bývá vyšší než 50 ppm.

Tabulka 8.2. Chemické posuny (ppm) uhlíků v cykloalkanech.

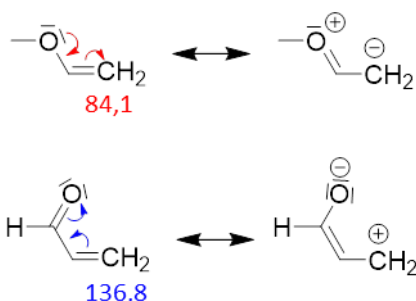
	$\delta$
Cyklopropan	-2,8
Cyklobutan	22,4
Cyklopentan	25,8
Cyklohexan	27,0
Cykloheptan	28,7

### Alkeny

Signály uhlíků účastnících se dvojných vazeb je nejčastěji možné nalézt v širokém rozmezí 100–150 ppm. Pokud jsou na dvojně vazbě pouze alkylové substituenty, rozmezí chemických posunů je užší: 120–140 ppm. Substituenty ovlivňují chemické posuny díky indukčnímu a mezomernímu efektu. Příklady mezomerních efektů jsou ukázány na obrázku 8.2. Elektron-donorní methoxy substituent zvyšuje elektronovou hustotu na uhlíku v  $\beta$  poloze (na tomto uhlíku je parciální záporný náboj), tento uhlík je tedy více stíněn a má nižší chemický posun (84 ppm) než nesubstituovaný ethylen (124 ppm). Naopak elektron-akceptorová karbonylová skupina snižuje elektronovou hustotu na  $\beta$  uhlíku a tento uhlík pak má vyšší chemický posun (137 ppm). U jodethylenu je opět patrný efekt těžkého atomu – uhlík přímo navázaný na jod má neobvykle nízký chemický posun.

Tabulka 8.2. Chemické posuny (ppm) uhlíků v substituovaném ethylenu.

X	$C^\alpha H = C^\beta H_2$	
X	$\delta(C^\alpha)$	$\delta(C^\beta)$
H	123,5	123,5
CH <sub>3</sub>	133,4	115,9
F	148,2	89,0
Cl	125,9	117,2
Br	115,6	122,1
I	85,2	130,3
OCH <sub>3</sub>	153,2	84,1
CHO	139,3	136,8



Obrázek 8.2. Vliv mezomerního efektu na elektronovou hustotu a chemické posuny (ppm) uhlíků na dvojně vazbě.

### Alkyny

Signály uhlíků na trojných vazbách mají většinou nižší chemické posuny než signály uhlíků na dvojných vazbách, nejčastěji je pozorujeme v oblasti 60–90 ppm, ale substituenty mohou díky indukčnímu a mezomernímu efektu polohy signálů značně pozměnit, jak je patrné z tabulky 8.3.

Tabulka 8.3. Chemické posuny (ppm) uhlíků v substituovaném acetyluenu.

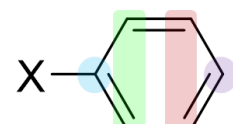
X — $C^\alpha \equiv C^\beta H$		
X	$\delta(C^\alpha)$	$\delta(C^\beta)$
H	71,9	71,9
CH <sub>3</sub>	80,1	67,6
OCH <sub>2</sub> CH <sub>3</sub>	89,6	23,4
CHO	81,8	83,1

### Areny

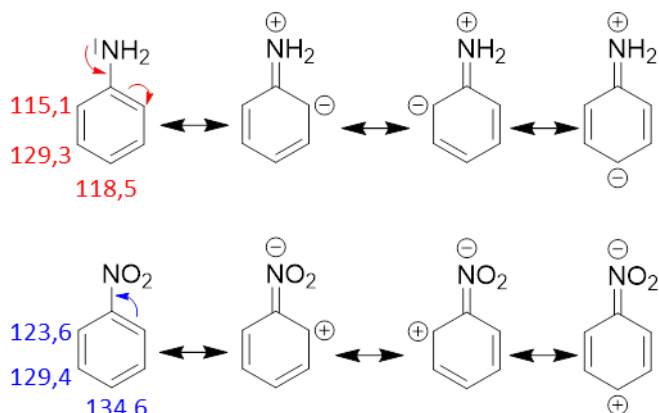
Signály aromatických uhlíků leží přibližně ve stejném rozsahu jako signály uhlíků na dvojných vazbách, tedy 120–140 ppm pro nesubstituované nebo alkyl-substituované areny a 100–160 ppm pro aromatické sloučeniny s dalšími substituenty (viz tabulka 8.4). Výrazný je opět vliv indukčního a mezomerního efektu na chemické posuny. Elektron-donorní substituenty zvyšují elektronovou hustotu na aromatickém jádru a z možných mezomerních struktur ukázaných na obrázku 8.3 pro anilin je zřejmé, že elektronová hustota je nejvyšší v polohách *ortho* a *para* k elektron-donornímu

substituentu. Proto uhlíky v *ortho* a *para* polohách u těchto derivátů benzenu mívají nižší chemické posuny než nesubstituovaný benzen. Vyšší elektronová hustota se zároveň projeví snadnější elektrofilní substitucí do těchto poloh. Naopak elektron-akceptorní substituenty snižují elektronovou hustotu na aromatickém jádru. Jak je patrné z obrázku 8.3, kde jsou zobrazeny mezomerní struktury pro nitrobenzen, elektronová hustota je nejnižší v polohách *ortho* a *para*. Z tohoto důvodu bývá potlačena elektrofilní substituce do poloh *ortho* a *para* a probíhá tedy přednostně do polohy *meta* k elektron-akceptornímu substituentu. Chemické posuny uhlíků v *ortho* poloze k substituentu mohou být navíc ovlivněny prostorovými interakcemi se substituentem, ale chemické posuny uhlíků v *para* poloze k substituentům korelují velmi dobře s Hammettovými konstantami, které odráží schopnost substituentů zvyšovat nebo snižovat elektronovou hustotu v aromatickém jádru.

Tabulka 8.4. Chemické posuny (ppm) monosubstituovaných benzenů.

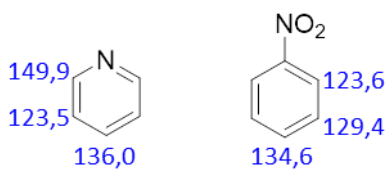


X	$\delta(C^{ipso})$	$\delta(C^{ortho})$	$\delta(C^{meta})$	$\delta(C^{para})$
H	128,5	128,5	128,5	128,5
Li	186,6	143,7	124,7	133,9
NO <sub>2</sub>	148,4	123,6	129,4	134,6
NH <sub>2</sub>	146,7	115,1	129,3	118,5
OH	155,4	115,7	129,9	121,1



Obrázek 8.3. Vliv mezomerního efektu na elektronovou hustotu uhlíků a chemické posuny v aromatických sloučeninách.

V heteroaromatických sloučeninách je elektronová hustota a tedy i chemické posuny uhlíkových signálů výrazně ovlivněna heteroatomem. Místa se zvýšenou nebo naopak sníženou elektronovou hustotou lze opět určit z možných mezomerních struktur dané heteroaromatické sloučeniny a bývá tedy možné odhadnout, zda daný uhlík bude mít vyšší nebo nižší chemický posun než uhlíky v benzenu. Například jádro pyridinu je elektronově chudé, jeho reaktivita vůči elektrofilní substituci je podobná jako reaktivita nitrobenzenu a elektrofilní substituce probíhá nejčastěji do polohy 3. To velmi dobře koreluje s uhlíkovými chemickými posuny, které jsou podobné jako v nitrobenzenu kromě uhlíku číslo 2, který je přímo navázaný na heteroatom (viz obrázek 8.4).



Obrázek 8.4. <sup>13</sup>C chemické posuny pyridinu a nitrobenzenu.

### Deriváty karboxylových kyselin

Signály karboxylových uhlíků v karboxylových kyselinách, esterech, amidech, anhydrydech a halogenidech karboxylových kyselin nalezneme nejčastěji v rozmezí 160–180 ppm. Deprotonací karboxylové kyseliny v bazickém prostředí se sníží stínění karboxylového uhlíku a jeho signál se pak objevuje u vyšších chemických posunů (přibližně o 6 ppm). Vynesením závislosti chemických posunů na pH prostředí můžeme snadno identifikovat pK<sub>A</sub> sledované kyseliny.

### Aldehydy, ketony

Signály karbonylových uhlíků v aldehydech a ketonech bývají v rozmezí 190–220 ppm. Konjugované karbonylové uhlíky jsou více stíněny a mají chemický posun přibližně o 10 ppm nižší.

## 8.2 Interakční konstanty

Homonukleární skalární interakce mezi jádry <sup>13</sup>C v uhlíkových spektrech většinou nepozorujeme, protože při nízkém přírodním zastoupení je malá pravděpodobnost (1.1%), že v sousedství jádra <sup>13</sup>C bude opět jádro <sup>13</sup>C. V uhlíkových spektrech bychom mohli pozorovat homonukleární interakce jako <sup>13</sup>C satelity kolem singletových signálů, ale ve <sup>13</sup>C spektrech bývá většinou kvůli nízké citlivosti jader <sup>13</sup>C horší poměr signálu a šumu a <sup>13</sup>C satelity jsou ztraceny v šumu.

Heteronukleární skalární interakce s protony (<sup>13</sup>C,<sup>1</sup>H) jsou obvykle eliminovány dekaplinkem a tak spektra obsahují pouze singlety. Jsou přehledná a téměř bez překryvů. Interakce <sup>13</sup>C–<sup>1</sup>H můžeme pozorovat buďto v nedekaplovaných <sup>13</sup>C spektrech nebo v <sup>1</sup>H spektrech jako <sup>13</sup>C satelity (kapitola 2.5). Znalost velikosti skalárních <sup>13</sup>C,<sup>1</sup>H interakcí je ale nutná pro správné nastavení některých experimentů, například APT nebo INEPT (kapitola 3.1). Velikost interakce přes jednu vazbu můžeme odhadnout z přibližného vzorce

$$^1J_{\text{C-H}} = 5 \cdot \%s$$

kde %s je procentuální podíl s charakteru daného uhlíku zjištěný z jeho hybridizace. Příklady jsou uvedeny v tabulce 8.5. Geminální interakce <sup>2</sup>J<sub>C-H</sub> většinou nabývají hodnot –10 až +30 Hz a vicinální interakce <sup>3</sup>J<sub>C,H</sub> bývají kladné v rozmezí 4–12 Hz.

Tabulka 8.5. Heteronukleární skalární interakce <sup>1</sup>J<sub>C-H</sub> v molekulách s různě hybridizovanými uhlíkovými atomy.

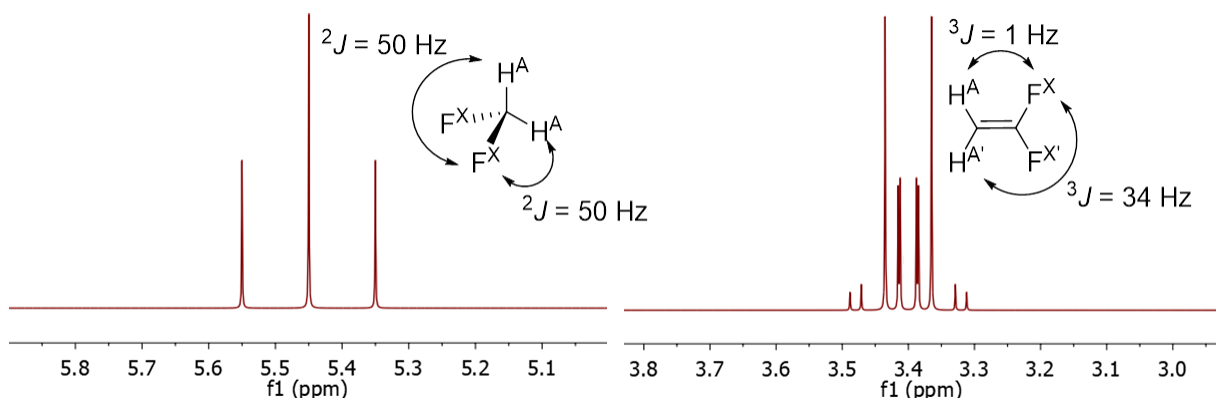
	H <sub>3</sub> C–CH <sub>3</sub>	H <sub>2</sub> C=CH <sub>2</sub>	C <sub>6</sub> H <sub>6</sub>	HC≡CH
Hybridizace	sp <sup>3</sup>	sp <sup>2</sup>	sp <sup>2</sup>	sp
%s	25	33,3	33,3	50
Vypočtené <sup>1</sup> J <sub>C,H</sub>	125	166,5	166,5	250
Experimentální <sup>1</sup> J <sub>C,H</sub>	124,9	156,4	158,4	249,0

## 9 $^1\text{H}$ NMR SPEKTROSKOPIE

Vodíková spektra jsou nejčastěji měřená NMR spektra, protože vodíky  $^1\text{H}$  jsou z hlediska NMR spektroskopie nejcitlivější jádra – jednak mají téměř 100% přírodní izotopové zastoupení a zároveň mají i nejvyšší gyromagnetický poměr ze všech stabilních izotopů. Typický  $^1\text{H}$  NMR experiment trvá 2–5 minut a výsledné spektrum poskytuje velmi cenné informace o struktuře měřeného vzorku. Kromě chemických posunů jednotlivých signálů pozorujeme ve spektrech i štěpení signálů homonukleárními skalárními interakcemi (nejčastěji  $^{2J}_{\text{H,H}}$  a  $^{3J}_{\text{H,H}}$ ) a spektra můžeme i poměrně přesně kvantifikovat, tedy zjistit počet ekvivalentních atomů vodíku poskytujících jednotlivé signály. Nevýhodou vodíkových spekter je poměrně malý rozsah chemických posunů (nejčastěji 0–10 ppm) a z něj plynoucí časté překryvy signálů ve spektru.

### 9.1 Chemická a magnetická ekvivalence

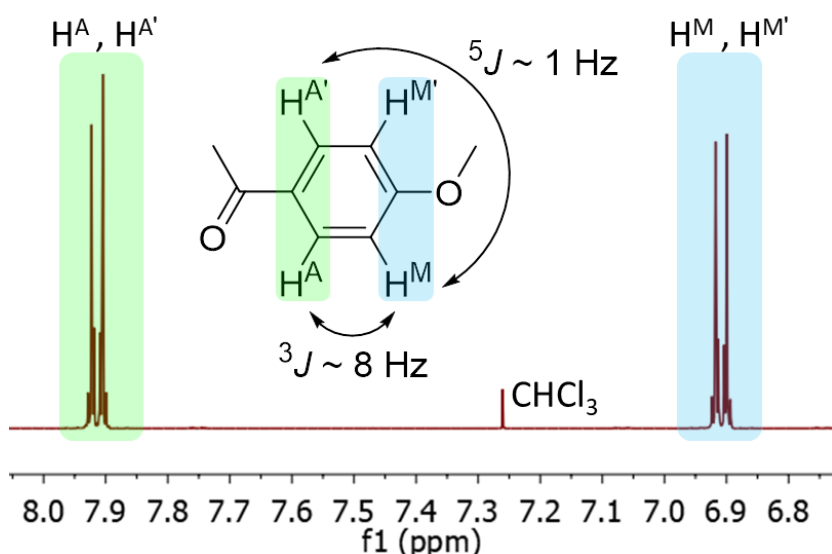
Pojem chemická ekvivalence je pro chemiky intuitivní; atomy, které mají stejně chemické okolí (dané jednak chemickými vazbami atomu s ostatními atomy v molekule a také konformací molekuly), jsou chemicky ekvivalentní. Jádra těchto atomů mají stejnou strukturu elektronového obalu a jsou elektrony stejně stíněna, tím pádem mají stejnou rezonanční frekvenci (společný signál ve spektru). Z hlediska NMR spektroskopie je však ještě třeba zavést pojem magnetická ekvivalence: magneticky ekvivalentní jsou jádra, která jsou chemicky ekvivalentní a zároveň mají stejnou velikost skalárních interakcí se vsemi dalšími magneticky aktivními jádry v molekule. Například vodíková jádra v molekule difluormethanu (obrázek 9.1) mají díky symetrii molekuly stejně chemické okolí a jsou tedy chemicky ekvivalentní; zároveň budou mít obě vodíková jádra (opět díky symetrii molekuly) stejně velkou skalární interakci s oběma jádry fluoru  $^{19}\text{F}$  v molekule. Dvě vodíková jádra v molekule difluormethanu jsou tedy jak chemicky tak magneticky ekvivalentní. V molekule 1,1-difluorethenu jsou obě vodíková jádra také chemicky ekvivalentní, ale skalární interakce vodíku  $\text{H}^{\text{A}}$  s fluorem  $\text{F}^{\text{X}}$  bude mít jinou velikost než skalární interakce vodíku  $\text{H}^{\text{A}'}$  s týmž jádrem fluoru  $\text{F}^{\text{X}}$ . Vodíky  $\text{H}^{\text{A}}$  a  $\text{H}^{\text{A}'}$  tedy nejsou magneticky ekvivalentní. Magnetická neekvivalence jader  $\text{H}^{\text{A}}$  a  $\text{H}^{\text{A}'}$  vede ke komplikovanějšímu vzhledu signálu těchto jader ve spektru. Protože jsou tato jádra chemicky ekvivalentní, mají jejich signály stejný chemický posun, ale signál je komplikovanější, obsahuje více linií s nestejnou intenzitou.



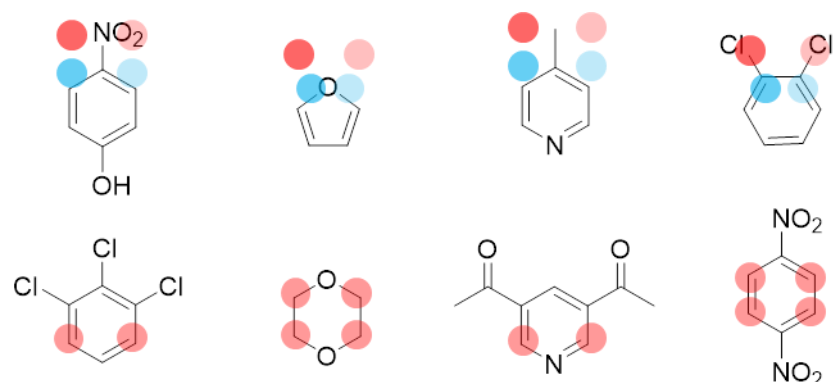
Obrázek 9.1.  $^1\text{H}$  NMR spektrum difluormethanu a 1,1-difluorethenu.

Spinový systém difluoromethanu bychom nazvali  $A_2X_2$ , spinový systém v 1,1-difluorethenu bychom značili  $AA'XX'$ . Toto označení nám říká, že v této molekule jsou dva typy chemicky ekvivalentních jader A a X, ale dvě chemicky ekvivalentní jádra A v molekule nejsou magneticky ekvivalentní, stejně tak dvě chemicky ekvivalentní jádra X nejsou magneticky ekvivalentní.

S magnetickou neekvivalencí se můžeme často setkat u aromatických sloučenin, kde jsou často pozorovatelné skalární interakce přes 4 nebo 5 vazeb. Například u *para*-disubstituovaných derivátů benzenu jsou vodíková jádra v *ortho* poloze k jednomu substituentu chemicky ekvivalentní. Kvůli nestejné velikosti skalární interakce k jednomu dalšímu vybranému vodíku v molekule (v *meta* poloze) ale nejsou tato jádra magneticky ekvivalentní. Tato magnetická neekvivalence vede k pozorování multipletů ve spektru (obrázek 9.2). Signály magneticky neekvivalentních jader mohou svým tvarem připomínat dublet, triplet a podobně, vždy je ale musíme popisovat jako multiplet, protože při bližším pohledu je vidět, že se skládají z více linií. Další příklady molekul s magneticky ekvivalentními a neekvivalentními vodíkovými jádry jsou na obrázku 9.3.



Obrázek 9.2. Aromatická oblast  $^1\text{H}$  NMR spektra para-disubstituovaného benzenu obsahující signály magneticky neekvivalentních jader.

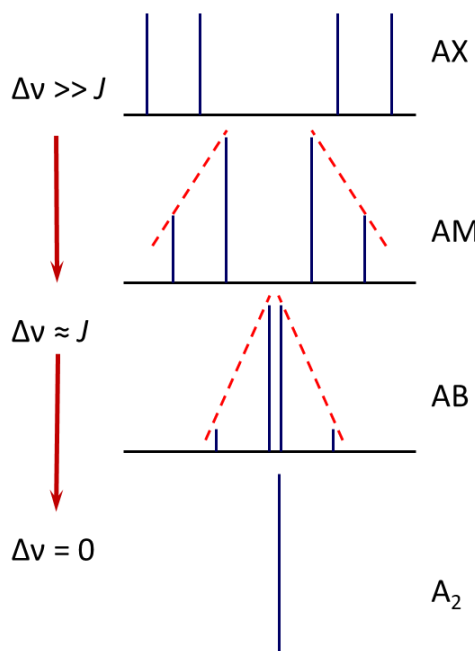


Obrázek 9.3. Příklady molekul s magneticky neekvivalentními vodíky. Vodíky označené stejnou barvou ale jiným odstímem jsou chemicky ekvivalentní ale magneticky neekvivalentní. Vodíky označené stejnou barvou i odstímem (v druhém řádku) jsou chemicky i magneticky ekvivalentní.

## 9.2 Spinový systém, řád spektra

V předchozí kapitole bylo použito označení spinového systému v molekule pomocí písmen, případně písmen s čárkou pro magneticky neekvivalentní jádra ( $A_2X_2$ ,  $AA'XX'$ ). Tento způsob označování spinového systému se běžně používá v textech popisujících NMR spektra. Pro signály, které jsou od sebe ve spektru vzdálené, se často používají písmena, která jsou od sebe v abecedě daleko (např. A a X), pro signály, které jsou blízko sebe ve spektru, se používají písmena blízká v abecedě (například A a B).

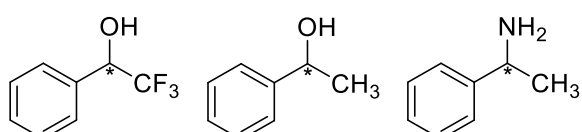
Spektra spinového systému se skalárními interakcemi mezi jádry nazýváme spektra prvního řádu, pokud je rozdíl jednotlivých rezonančních frekvencí výrazně větší než velikost spin–spinové interakční konstanty (systém AX na obrázku 9.4). Spektra prvního řádu můžeme analyzovat podle pravidel diskutovaných v kapitole 2.5, tedy například interakce s jedním dalším jádrem způsobí štěpení signálu na dublet s poměrem linií 1:1. Pokud je rozdíl rezonančních frekvencí interagujících jader srovnatelný s velikostí interakční konstanty, poměry intenzit linií v multipletech se mění, už neodpovídají poměru zjištěným z Pascalova trojúhelníku. Intenzita linie, která je ve spektru blíže signálu interagujícího partnera, je vyšší než intenzita linie vzdálenější. Této změně intenzit linií říkáme stříškový efekt; spojíme-li vrcholy jednotlivých linií jednoho signálu, získáme první polovinu „stříšky“ a spojením vrcholů linií druhého signálu získáme druhou polovinu „stříšky“. Obě části stříšky vždy směřují k sobě, tedy spojením vrcholů linií vždy získáme stříšku a ne tvar připomínající písmeno V. Pokud nejsou intenzity linií v multipletech výrazně odlišné od ideálních poměrů získaných z Pascalova trojúhelníku, spektrum se někdy označuje jako spektrum „pseudo“ prvního řádu (spektrum systému AM v obrázku 9.4). Pokud jsou změny linií výrazné, spektrum se označuje jako spektrum vyššího řádu (někdy též spektrum druhého řádu), příkladem je spektrum systému AB na obrázku 9.4.



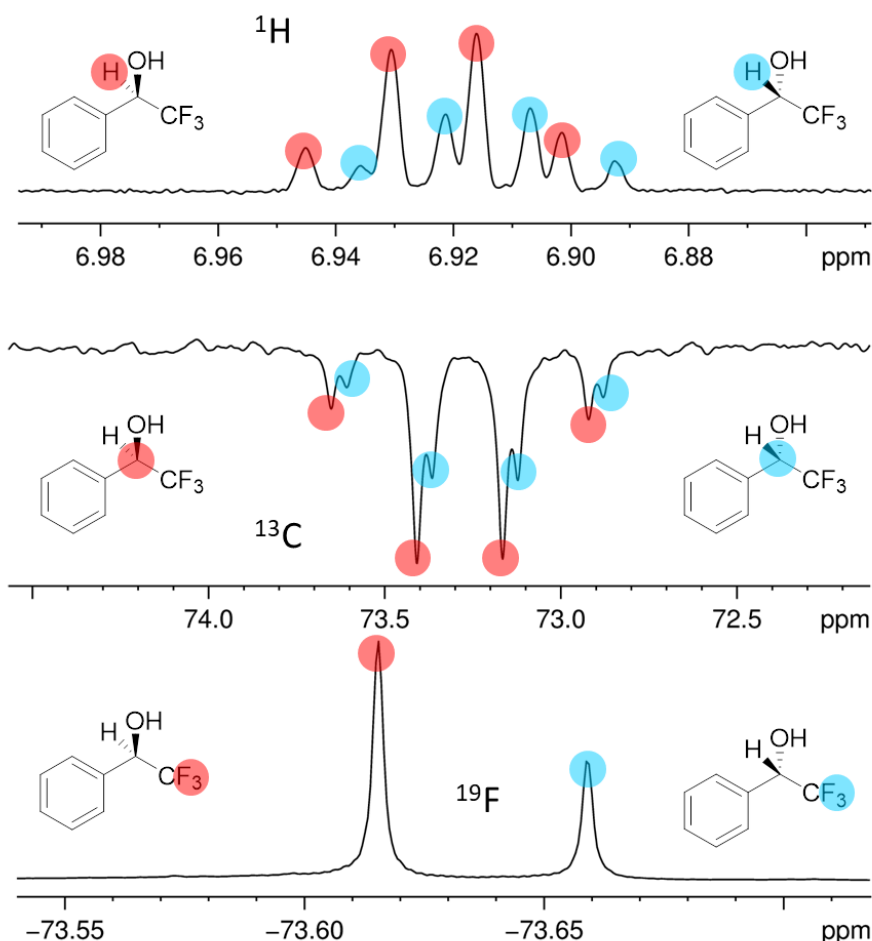
Obrázek 9.4. Spektrum molekuly obsahující dvě interagující jádra  $^1\text{H}$ . Rozdíl rezonančních frekvencí je v systému AX výrazně vyšší než velikost interakční konstanty  $J_{AX}$ , což vede k pozorování spektra prvního řádu. Ve spektrech AM a AB je rozdíl rezonančních frekvencí srovnatelný s velikostí interakční konstanty a ve spektru pozorujeme stříškový efekt. Pokud je rozdíl rezonančních frekvencí nulový, interakce mezi jádry se ve spektru neprojeví.

### 9.3 Chirality

O molekule, která obsahuje nějaký prvek chirality (centrum, osu nebo rovinu chirality), říkáme, že je chirální nebo opticky aktivní (stáčí rovinu polarizovaného světla). Zrcadlový obraz takové molekuly se nazývá enantiomer. V organické chemii se nejčastěji můžeme setkat s centry chirality. Například uhlíkový atom, který nese čtyři různé substituenty, je chirální (neztotožnitelný se svým zrcadlovým obrazem). Konfiguraci chirálních center označujeme *R* nebo *S* podle Cahn-Ingold-Prelogových pravidel. Enantiomery mají stejné fyzikální a chemické vlastnosti, pokud neinteragují s nějakým dalším prvkem chirality v prostředí (například s další chirální molekulou nebo polarizovaným světlem). Pokud molekula obsahuje více prvků chirality, například dvě centra chirality, pak enantiomer této molekuly má změněnou konfiguraci na všech prvcích chirality. Pokud je změněna konfigurace na jednom (nebo více ale ne všech) prvku chirality, získáme diastereomer. Diastereomery mají odlišné fyzikální i chemické vlastnosti, tedy i NMR spektra. Běžný způsob měření NMR spekter nezahrnuje žádný prvek chirality a enantiomery jsou tak v NMR spektrech nerozlišitelné. To znamená, že pomocí běžných NMR spekter nelze zjistit optickou čistotu látek. Aby bylo možné enantiomery v NMR spektrech rozlišit, je třeba nějaký prvek chirality dodat a převést tak problém rozlišení enantiomerů na rozlišení diastereomerů. Typickým přístupem je použití chirálních posunových činidel nebo chirálních rozpouštědel. Pokud použijeme jeden enantiomer chirálního rozpouštědla, solvatace chirálního substrátu a mezmolekulové interakce substrát-rozpouštědlo budou jiné pro každý enantiomer substrátu, což povede k jiným NMR signálům pro každý z enantiomerů. Jako chirální rozpouštědlo lze použít například 1-fenyl-2,2,2-trifluorethanol, 1-fenylethanol nebo 1-fenylethanamin ([obrázek 9.5](#)). Příklad rozlišení enantiomerů pomocí chirálního rozpouštědla je ukázán na [obrázku 9.6](#).

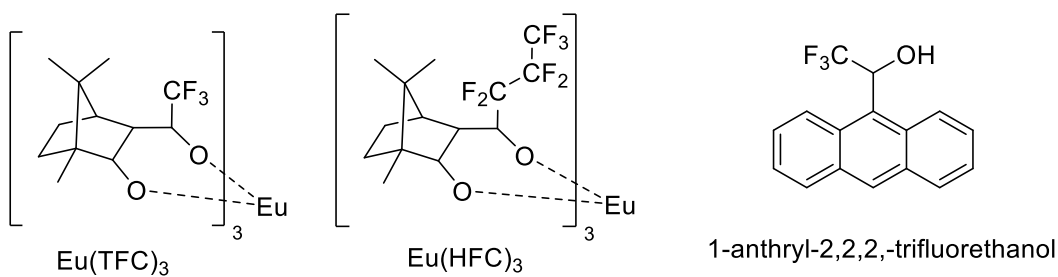


[Obrázek 9.5.](#) Struktury nejpoužívanějších chirálních rozpouštědel.



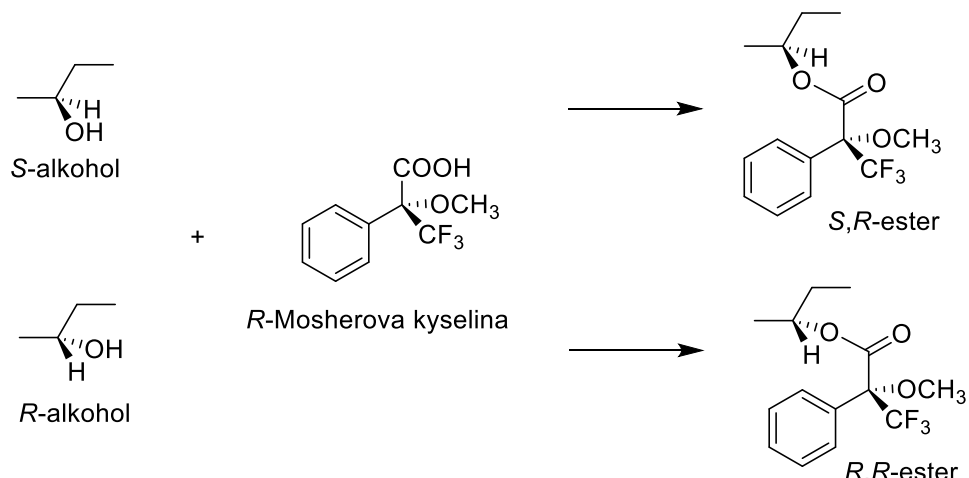
**Obrázek 9.6.** Část  $^1\text{H}$ ,  $^{13}\text{C}$  APT a  $^{19}\text{F}\{^1\text{H}\}$  ( $^{19}\text{F}$  experiment s  $^1\text{H}$  dekaplinkem) spekter směsi dvou enantiomerů 1-fenyl-2,2,2-trifluorethanolu ( $R:S$  2:1) v chirálním rozpouštědle  $R$ -1-fenylethanaminu. Signál ve vodíkovém i uhlíkovém spektru je štěpen na kvartet díky skalární interakci se třemi jádry  $^{19}\text{F}$ .

Na podobném principu jako použití chirálních rozpouštědel je založena i metoda použití chirálních posunových činidel. Chirální posunová činidla jsou látky, které interagují s molekulami substrátu, ale tato interakce se liší pro různé konfigurace substrátu. V roztoku tak vznikají komplexy substrát-čnidlo, které obsahují prvek chirality jak v substrátu tak rozpouštědle. Substrát s opačnou konfigurací chirálního centra tak vede ke vzniku diastereomerního komplexu, který má odlišné NMR spektrum. Mezi často používaná chirální posunová činidla patří například 1-anthryl-2,2,2-trifluorethanol (obrázek 9.7). Aby bylo pomocí chirálních posunových činidel možné enantiomery rozlišit, je třeba zajistit dostatečně silnou interakci mezi substrátem a posunovým čnidlem. Tuto interakci můžeme podpořit použitím nesolvatujících rozpouštěadel (například chloroform), zvýšením koncentrace posunového čnidla nebo snížením teploty experimentu. Dříve byla často používána posunová čnidla obsahující ionty lanthanoidů, například komplexu europia s fluorovaným diketoderivátem kafru  $\text{Eu}(\text{TFC})_3$  nebo  $\text{Eu}(\text{HFC})_3$ . Tyto látky se ale již používají méně, protože na spektrometrech s vyššími magnetickými poli často vedou ke značnému rozšíření signálů substrátu.



Obrázek 9.7. Příklady chirálních posunových činidel.

Jiným přístupem k rozlišení dvou enantiomerů v NMR spektrech je derivatizace těchto látek a zavedení dalšího chirálního centra do molekuly a tím pádem převedení enantiomerů na diastereomery, které jsou v NMR spektrech rozlišitelné (obrázek 9.8). Jedním z nejčastěji používaných derivatizačních činidel je 1-trifluormethyl-1-methoxyfenyloctová kyselina (Mosherova kyselina). Derivatizace chirálních alkoholů touto kyselinou (za vzniku diastereomerních esterů) dokonce umožňuje určení absolutní konfigurace chirálního alkoholu podle změn chemických posunů způsobených blízkostí fenylového kruhu.

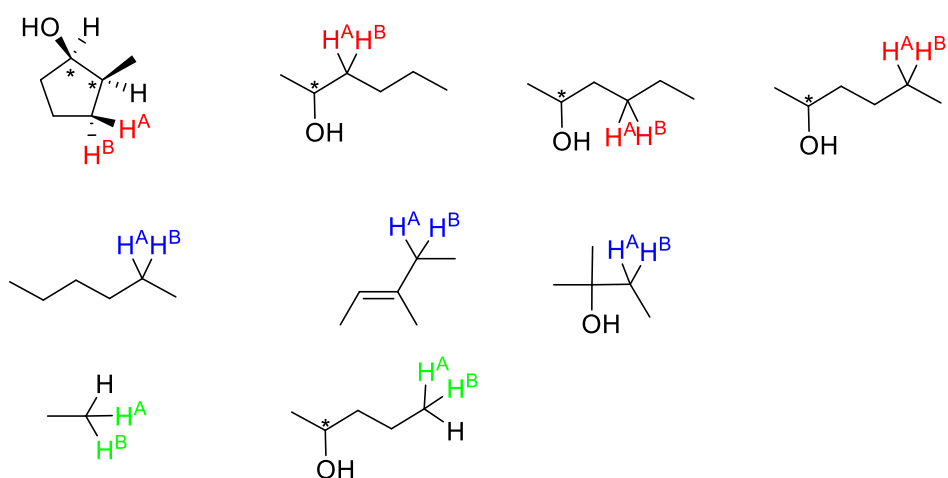


Obrázek 9.8. Reakce jednoho enantiomeru Mosherovy kyseliny s dvěma enantiomery alkoholu vede ke vzniku dvou diasteremerních esterů.

Chirální prvky v molekule, případně možnost jejich vzniku je důležitá i pro chemickou ekvivalenci atomových jader. Například vodíky  $H^A$  a  $H^B$  v molekule *cis*-2-methylcyklopentanolu (obrázek 9.9) nejsou chemicky ekvivalentní, protože vodík  $H^A$  je *cis* k methylovému i hydroxylovému substituentu, kdežto vodík  $H^B$  je *trans*. Vodíky  $H^A$  a  $H^B$  označujeme jako diastereotopní, a protože nejsou ekvivalentní, každý z nich bude mít svůj signál ve spektru a můžeme i pozorovat geminální interakci  $^{2}J$  mezi nimi. Vodíky v  $\text{CH}_2$  skupinách rozdělujeme do tří typů: homotopní, enantiotopní a diastereotopní. Homotopní vodíky jsou z hlediska NMR spektroskopie nerozlišitelné, vždy poskytují jeden společný signál (homotopní jsou například vždy všechny tři vodíky v methylových skupinách). Enantiotopní vodíky jsou rozlišitelné v chirálním prostředí. Například budeme-li měřit NMR spektrum ethanolu v chirálním rozpouštědle nebo za přítomnosti chirálního posunového činidla, můžeme rozlišit dva vodíky v  $\text{CH}_2$  skupině tak, že každý z nich bude mít svůj signál ve spektru. Při měření běžných NMR spekter bez přítomnosti chirálních interakcí jsou ale oba vodíky v  $\text{CH}_2$  skupině ethanolu ekvivalentní.

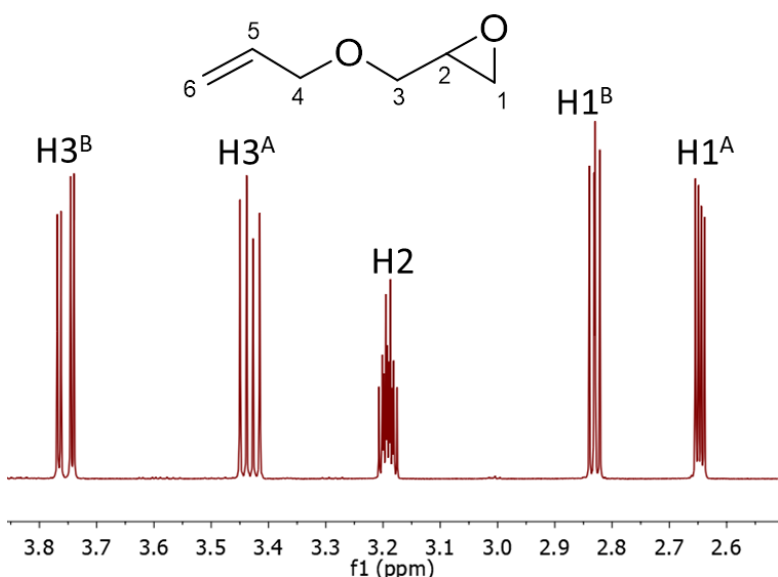
Pravidla pro určení topicity vodíků  $\text{CH}_2$  skupin pokud uvažujeme jako možné prvky chirality pouze centra chirality:

- 1) Nahradíme-li jeden z vodíků nějakým jiným substituentem, nevznikne žádné centrum chirality: Vodíky jsou homotopní, tedy z hlediska NMR spektroskopie nerozlišitelné.
- 2) Nahradíme-li jeden z vodíků jiným substituentem, vznikne jedno nové chirální centrum a žádné jiné centrum chirality v molekule není: vodíky jsou enantiotopní, tedy v běžně měřených NMR spektrech také nerozlišitelné. K jejich rozlišení je třeba použití chirálního rozpouštědla nebo posunového činidla.
- 3) Nahradíme-li jeden z vodíků jiným substituentem, vznikne jedno nové chirální centrum a nějaké další už je v molekule přítomno nebo vznikne více nových chirálních center: vodíky jsou diastereotopní, tedy neekvivalentní, každý má svůj NMR signál a můžeme pozorovat interakci mezi nimi.

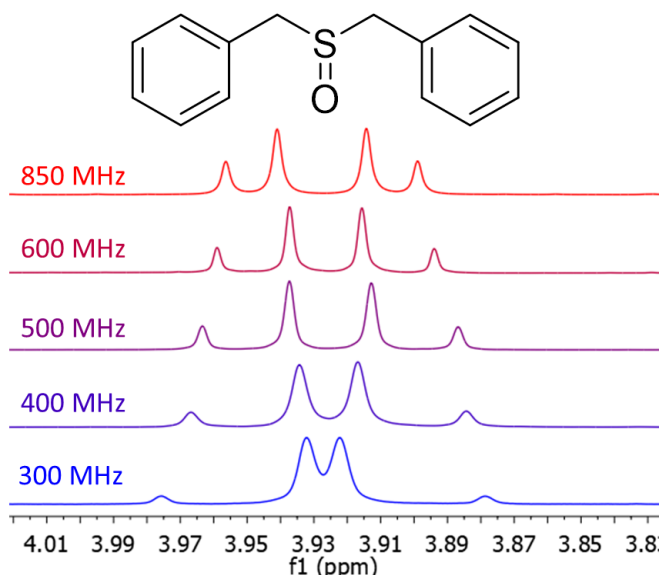


Obrázek 9.9. Příklady diastereotopních (červeně), enantiotopních (modře) a homotopních (zeleně) vodíků  $\text{H}^{\text{A}}$  a  $\text{H}^{\text{B}}$ .

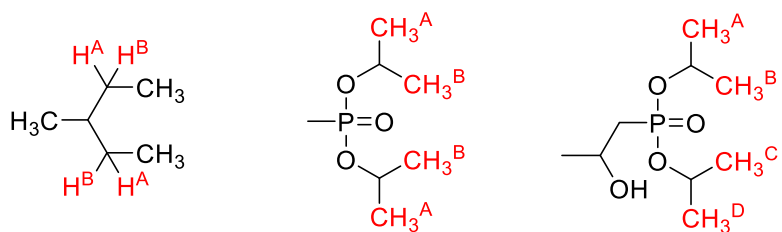
Příklad vodíkového spektra, kde se projevuje neekvivalence diastereotopních vodíků je na obrázku 9.10. Poněkud komplikovanější případ nastane, pokud při nahradě jednoho z vodíků vznikne více chirálních center zároveň. Příkladem může být dibenzylsulfoxid, jehož vodíkové spektrum je na obrázku 9.11. Příklady dalších molekul s diastereotopními vodíky jsou na obrázku 9.12.



Obrázek 9.10. Část <sup>1</sup>H spektra allyl glycidyl etheru. Vodíky v CH<sub>2</sub> skupinách v poloze 1 a 3 jsou diastereotopní, nejsou tedy ekvivalentní a každý má svůj signál a lze pozorovat i geminální interakci mezi nimi.



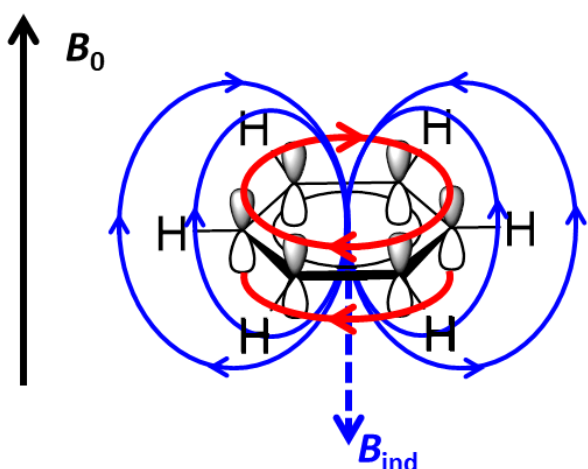
Obrázek 9.11. Část <sup>1</sup>H spektra dibenzylsulfoxidu. Vodíky v CH<sub>2</sub> skupině jsou diastereotopní, protože při nahradě jednoho z nich vznikne chirální centrum na uhlíku a na síře (síra má volný elektronový pár jako čtvrtý substituent). Tyto vodíky tedy mají každý svůj signál a je možné pozorovat geminální interakci mezi nimi. Chemické posuny obou vodíků jsou ale blízké, proto na spektrometrech s nízkou rezonanční frekvencí pozorujeme spektrum vyššího řádu a i na 850 MHz spektrometru je jasné patrný stříškový efekt.



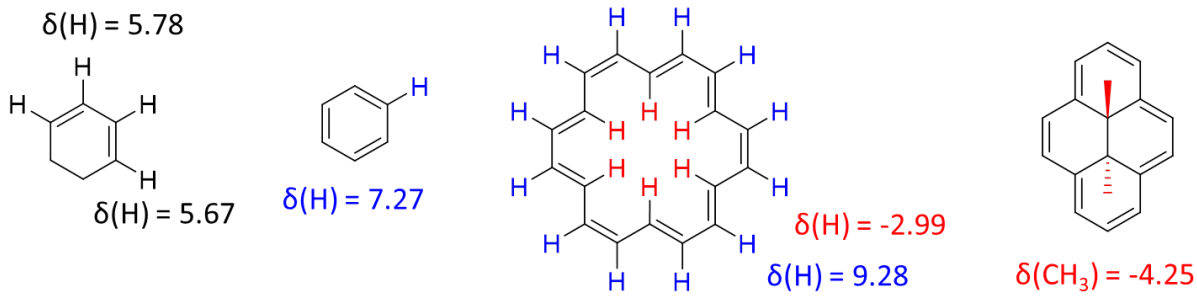
**Obrázek 9.12.** Příklady diastereotopních vodíků  $H^A$  a  $H^B$ . Vodíky  $H^A$  a  $H^B$  v 3-methylpentanu jsou diastereotopní, protože při nahradě jednoho z nich vzniknou chirální centra v polohách 2 a 3 pentanového řetězce. Dva vodíky  $H^A$  v polohách 2 a 4 jsou enantiotopní. Podobným způsobem lze zdůvodnit, proč methylové skupiny v diisopropylfosfonátech nejsou ekvivalentní. V případě diestru methylfosfonátu budou ve vodíkovém spektru dva signály diastereotopních methylových skupin  $CH_3^A$  a  $CH_3^B$ . Ve spektru 2-hydroxypropylfosfonátu budou čtyři signály diastereotopních methylových skupin.

#### 9.4 Stínění jader prostorově blízkými chemickými vazbami nebo funkčními skupinami

Aromatické molekuly obsahují systém delokalizovaných  $\pi$  elektronů, které jsou umístěny nad a pod rovinou aromatického skeletu a mohou se v rámci svých delokalizovaných orbitalů volně pohybovat. Pokud je aromatická molekula umístěna do magnetického pole, její  $\pi$  elektrony se budou pohybovat takovým způsobem, že vytvoří kruhový proud a s ním spojené dodatečné magnetické pole s opačným směrem než má okolní magnetické pole (obrázek 9.13). Jádra, která budou umístěna v blízkosti této molekuly nad a pod jejím kruhem, pocítí dodatečné stínění tímto kruhovým proudem a jejich chemický posun tak bude nižší než by tato jádra měla bez prostorové interakce s aromatickou molekulou. Naopak jádra, která budou umístěna v rovině aromatického kruhu, budou mít vyšší chemický posun. Tomuto dodatečnému stínění nebo odstínění jader v blízkosti aromatických molekul se říká efekt kruhového proudu.



**Obrázek 9.13.** Efekt kruhového proudu v blízkosti aromatických molekul.



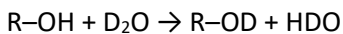
Obrázek 9.14. Příklady  $^1\text{H}$  chemických posunů u molekul, kde se uplatňuje efekt kruhového proudu.

Efekt kruhového proudu lze využít například při studiu interakcí nukleových kyselin s malými molekulami. Planární molekuly se často mohou vmezearvit mezi dva páry bází (dochází k interkalaci). Tyto molekuly se pak ocitají nad a pod rovinou aromatických kruhů bází nukleových kyselin a jejich jádra mají díky kruhovému proudu nižší chemický posun, než pokud by daná molekula byla volně v roztoku nebo interagovala s nukleovými kyselinami jiným způsobem než interkalací.

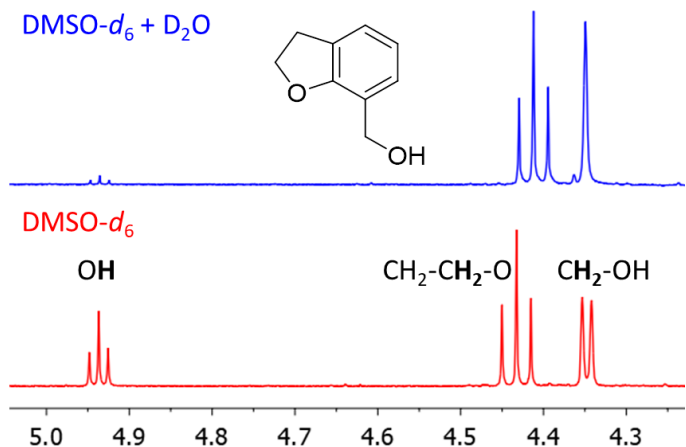
Dodatečné stínění nebo odstínění jader může být způsobeno i prostorovou blízkostí různých chemických vazeb nebo funkčních skupin. Například jádra, která jsou v ose trojně vazby, jsou stíněna elektrony trojně vazby a mají nižší chemický posun. To je také důvodem, proč vodíky i uhlíky alkynů mívají nižší chemické posuny než vodíky a uhlíky alkenů.

### 9.5 Vyměnitelné vodíky

Vodíky, které jsou vázané na kyslík, dusík nebo síru, se mohou snadno vyměňovat s dalšími OH, SH nebo NH vodíky přítomnými ve vzorku. V deuterovaných protických rozpouštědlech tak může snadno docházet k výměně těchto vodíků za deuterium. Například alkohol rozpuštěný v  $\text{D}_2\text{O}$  může podléhat reakci:

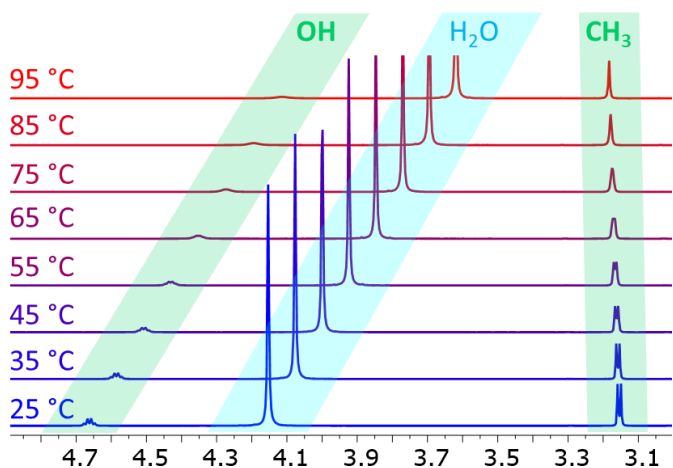


Tyto OH, NH a SH vodíky nazýváme vyměnitelné. Pokud měříme  $^1\text{H}$  NMR spektra látek s vyměnitelnými vodíky v aprotických rozpouštědlech, k výměně za deuterium nedochází a vyměnitelné vodíky můžeme pozorovat ve spektru. Pokud ovšem k takovému vzorku přikápneme  $\text{D}_2\text{O}$ , MeOD nebo jiné deuterované protické rozpouštědlo, dojde k výměně těchto vodíků za deuterium a jejich signál zmizí z  $^1\text{H}$  NMR spektra (obrázek 9.15), protože jádra deuteria  $^2\text{H}$  mají značně odlišnou NMR rezonanční frekvenci než jádra  $^1\text{H}$ . Pokud má vyměnitelný vodík *J*-interakce s dalšími jádry v molekule, výměnu za deuterium dojde k jejich potlačení.



**Obrázek 9.15.** Část <sup>1</sup>H NMR spektra zobrazené molekuly v roztoku DMSO a po přidavku kapky D<sub>2</sub>O. Po přidání D<sub>2</sub>O je potlačen signál hydroxylového vodíku a navíc zmizí štěpení signálu sousední CH<sub>2</sub> skupiny. Drobný posun signálu CH<sub>2</sub> skupiny sousedící s kyslíkem v dihydrafuranovém kruhu je způsoben změnou solvatace molekuly po přidání D<sub>2</sub>O do roztoku.

V aprotických rozpouštědlech mohou být signály vyměnitelných vodíků štěpeny *J*-interakcemi se sousedními jádry. Pokud ale dochází k rychlé výměně vodíků mezi jednotlivými molekulami substrátu nebo mezi substrátem a vodou, která je často ve stopovém množství v rozpouštědlech přítomná, *J*-interakce může být potlačena. Příklad je na obrázku 9.16, kde jsou ukázána <sup>1</sup>H spektra methanolu měřená v DMSO-*d*<sub>6</sub> při různých teplotách. Při pokojové teplotě pozorujeme signál OH skupiny jako kvartet (kvůli interakci s CH<sub>3</sub> skupinou) a signál CH<sub>3</sub> skupiny jako dublet. Při vyšší teplotě se zvyšuje rychlosť intermolekulární výměny OH vodíků a štěpení signálů díky *J*-interakci je potlačeno. Rychlosť výměny vodíků může být zvýšena také například přítomností stop kyselin nebo při nízké viskozitě vzorku. Proto například v CDCl<sub>3</sub> nebývá štěpení signálů vyměnitelných vodíků pozorovatelné.

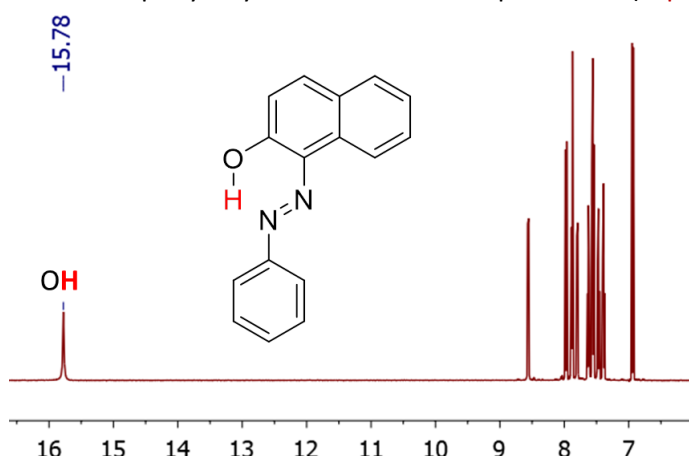


**Obrázek 9.16.** <sup>1</sup>H NMR spektra methanolu s příměsí vody v DMSO-*d*<sub>6</sub> měřená při různých teplotách.

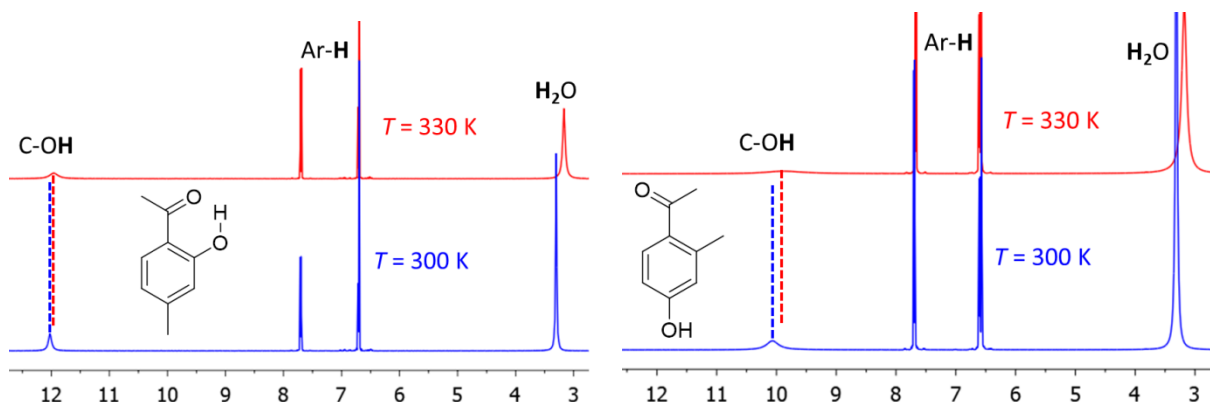
Vyměnitelné vodíky se často účastní vodíkových vazeb X–H…Y s dalšími elektronegativními atomy ve vzorku. Vytvoření vodíkové vazby vede k prodloužení vazby X–H a tedy k menšímu stínění jader vodíku vazebnými elektronami. Signály těchto vodíků pak mají vyšší chemické posuny, v případě silných

vodíkových vazeb mohou být chemické posuny vodíků neobvykle vysoké. Například OH skupina v červeném azobarvivu Sudan-I má signál téměř u 16 ppm (obrázek 9.17).

Pomocí  $^1\text{H}$  NMR spekter měřených při různých teplotách můžeme odlišit intra- a inter-molekulární vodíkové vazby. Při vyšších teplotách se molekuly rychleji pohybují a dochází k narušení mezimolekulových vodíkových vazeb. Signály vodíků vázaných v mezimolekulových vodíkových vazbách se tedy se zvyšující teplotou posouvají ve spektru k nižším chemickým posunům. Naproti tomu chemické posuny signálů vodíků vázaných v intramolekulárních vodíkových vazbách bývají méně teplotně závislé (obrázek 9.18). Teplotní závislost chemických posunů vyměnitelných vodíků je také důvodem, proč není vhodné požívat například signál vodíku vody jako standard pro referencování  $^1\text{H}$  spekter (kapitola 7). Teplotní závislost signálů OH vodíků lze naopak využít pro kalibraci teploty v kyvetě během NMR experimentu (kapitola 7).



Obrázek 9.17.  $^1\text{H}$  NMR spektrum azobarviva Sudan-I.

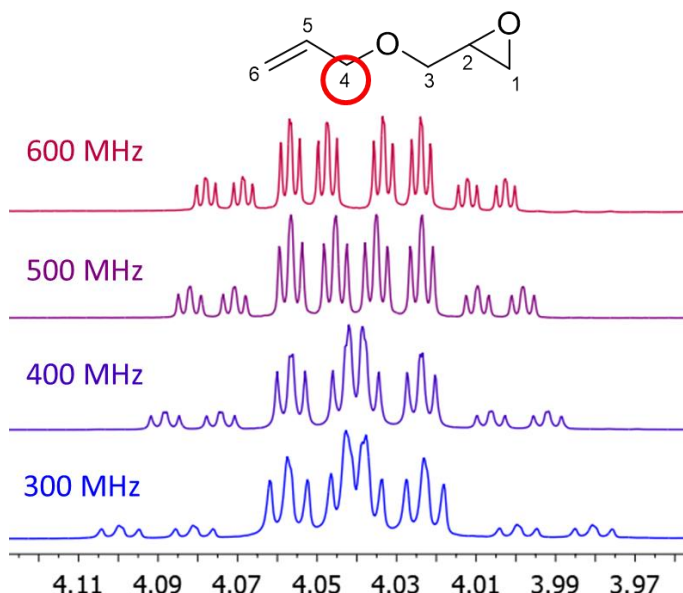


Obrázek 9.18.  $^1\text{H}$  NMR dvou různých substituovaných fenolů při teplotě 300 a 330 K. Chemické posuny signálu vody a OH vodíků, které nejsou součástí intramolekulární vodíkové vazby, jsou výrazně více teplotně závislé.

## 9.6 Vliv magnetického pole, rozpouštědla, koncentrace a teploty na NMR spektra

Velikosti magnetického pole NMR spektrometru má vliv na citlivost NMR experimentu a na spektrální rozlišení. Intenzita signálů roste s druhou mocninou intenzity magnetického pole. Citlivost NMR experimentu je tedy například na 600 MHz spektrometru čtyřikrát vyšší než na 300 MHz spektrometru s podobnou NMR sondou.

Na spektrometrech s vyšším magnetickým polem je také vyšší spektrální rozlišení. Je důležité si uvědomit, že chemický posun (vyjádřený v jednotkách ppm) není závislý na velikosti magnetického pole. Stejně tak velikost skalárních interakčních konstant (vyjádřených v Hz) je vlastností molekuly a není závislá na vnějším magnetickém poli. Na spektometru s vyšším magnetickým polem ale jednotka ppm odpovídá většímu počtu Hz než na spektometru s nižším polem. Například na 600 MHz spektometru odpovídá 1 ppm = 600 Hz. Dva dublety, které by od sebe byly vzdáleny 0,1 ppm (=60 Hz) a byly vzájemně štěpeny s interakční konstantou 5 Hz, by byly ve spektru dobře rozlišené, pozorovali bychom spektrum prvního řádu (obrázek 9.4, kapitola 9.2). Na 60 MHz spektometru by ale 0,1 ppm odpovídalo 6 Hz a signály těchto dubletů by se překrývaly, pozorovaly bychom spektrum vyššího řádu. Příklad vlivu velikosti magnetického pole na rozlišení signálů je ukázán na obrázku 9.19, kde jsou zobrazeny signály diastereotopních vodíků  $\text{CH}_2$  skupiny v poloze 4 allyletheru. Chemické posuny obou vodíků jsou blízké, proto na spektometru s nízkou pracovní frekvencí dochází k výraznému překryvu signálů a pozorujeme spektrum vyššího řádu. Na spektometru s vyšší frekvencí můžeme dobře rozlišit dva signály; každý z těchto signálů je štěpen na dublet dubletů dubletů dubletů (dddd) díky geminální interakci s druhým vodíkem  $\text{CH}_2$  skupiny, vicinální interakci se sousedním vodíkem v poloze 5 a dvěma interakcím přes 4 vazby s vodíky v poloze 6.



Obrázek 9.19. Část  $^1\text{H}$  spektra zobrazeného allyletheru se signály dvou neekvivalentních vodíků v poloze 4 změřeného na spektrometrech s různou pracovní frekvencí.

Rozpouštědlo může mít podstatný vliv na NMR spektra, zvláště pokud v některém rozpouštědle pozorovaná látka interaguje (například vodíkovými vazbami nebo  $\pi-\pi$  interakcemi) s molekulami rozpouštědla. Extrémním případem je voda, která má v deuterovaném benzenu chemický posun 0,4 ppm a v methanolu 4,9 ppm (Tabulka 9.1). U C–H vodíků bývá vliv rozpouštědla menší než u vyměnitelných vodíků, ale změna chemického posunu může být v řádu několika desetin ppm. Proto je velmi důležité při popisu NMR spektra zaznamenat rozpouštědlo, ve kterém bylo dané spektrum změřeno.

Tabulka 9.1. Chemické posuny vodíků vody v různých rozpouštědlech.

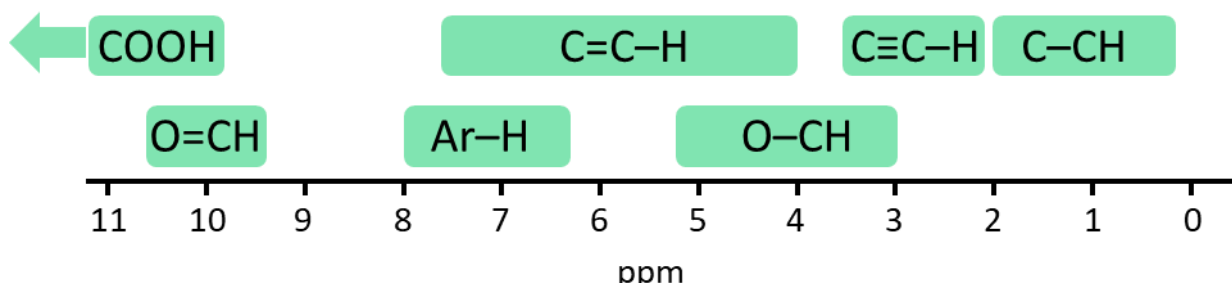
Rozpouštědlo	$\delta(\text{H}_2\text{O}) / \text{ppm}$
$\text{C}_6\text{D}_6$	0,4
$\text{CDCl}_3$	1,6
$(\text{CD}_3)_2\text{CO}$	2,8
$(\text{CD}_3)_2\text{SO}$	3,3
$\text{D}_2\text{O}$	4,8
$\text{CD}_3\text{OD}$	4,9

Koncentrace měřené látky má vliv na intenzitu signálů a tedy i na dobu nezbytnou k naměření daného NMR experimentu. Naopak koncentrace nemívá zásadní vliv na chemické posuny zkoumané látky. Výjimkou jsou případy, kdy při vyšší koncentraci dochází interakcím substrát–substrát, například vznik vodíkově vázaných dimerů karboxylových kyselin.

Teplota významně ovlivňuje NMR spektra, pokud ve vzorku dochází k nějakým dynamickým dějům, například k chemické reakci nebo k pomalé rotaci kolem částečně dvojné vazby. Dynamickými ději v NMR spektroskopii a tedy i vlivem teploty se podrobně zabývá [kapitola 10](#).

### 9.7 Chemické posuny vodíků

Rozložení spektrálních oblastí, kde se vyskytují  $^1\text{H}$  NMR signály jednotlivých typů organických molekul ([obrázek 9.20](#)), nápadně připomíná rozložení typických spektrálních oblastí uhlíkových signálů ([obrázek 8.1](#)). Vodíkové chemické posuny jsou ale soustředěny v mnohem menším rozsahu, nejčastěji 0–13 ppm.



Obrazek 9.20. Typické oblasti chemických posunů v  $^1\text{H}$  spektrech organických molekul.

### Alkany a cykloalkany

Chemický posun vodíku v alkanech závisí na substituci sousedního uhlíku (tabulka 9.2). Elektronegativní substituenty odčerpávají elektronovou hustotu z okolí vodíkového jádra, daný vodík je pak méně stíněn a má tedy vyšší chemický posun. Srovnání chlorovaných methanů ukazuje aditivitu vlivu substituentů: chemický posun vodíkových atomů chlormethanu je 3,1, dichlormethanu 5,2 a trichlormethanu 7,3 ppm. Podle očekávání elektronegativní chlor odčerpává indukčním efektem elektrony, odhaluje jádro vodíku a posunuje jeho signál k nižšímu poli (downfield). Chemický posun nesubstituovaného cyklopropanu je 0,2 ppm, cyklobutanu 1,9 ppm a ostatní nesubstituované cykloalkany mají signál v rozmezí 1,4–1,6 ppm.

Tabulka 9.2. Chemické posuny (ppm) vodíků v substituovaném methanu.

X—CH <sub>3</sub>	X	Li	R <sub>3</sub> Si	H	CH <sub>3</sub>	NH <sub>2</sub>	OH	NO <sub>2</sub>	F	Cl	Br	I
δ(H)		-1,0	0,0	0,4	0,8	2,4	3,3	4,3	4,3	3,1	2,7	2,2

### Alkeny

Signály vodíků na dvojné vazbě lze pozorovat v širokém rozmezí chemických posunů 4–7,5 ppm. Chemické posuny vodíků mohou být ovlivněny indukčním a mezomerním efektem substituentů podobně, jako je to u uhlíkových chemických posunů. Na obrázku 9.21 jsou ukázány chemické posuny dvou substituovaných ethylenů. Chemický posun vodíků v nesubstituovaném ethylenu je 5,3 ppm.



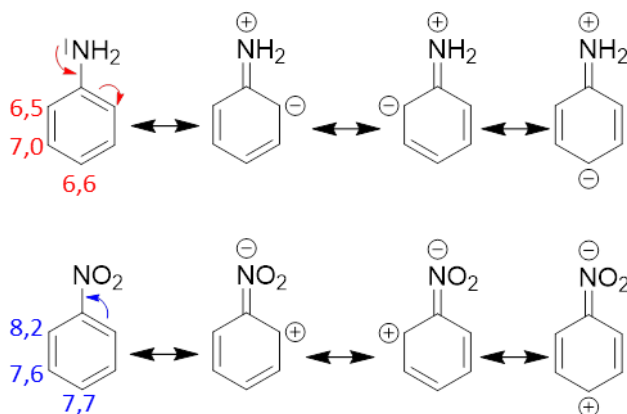
Obrázek 9.21. Chemické posuny vodíků v substituovaných ethylenech.

### Alkyny

Signály vodíků na trojná vazbě se objevují v oblasti 2–3 ppm.

### Aromatické sloučeniny

Chemické posuny vodíků v aromatických sloučeninách jsou především ovlivněny mezomerním efektem substituentů. Signály vodíků v substituovaných benzenech se vyskytují v oblasti 6,5–8,2 ppm. Vodíky v nesubstituovaném benzenu mají chemický posun 7,3 ppm.



Obrázek 9.22. Chemické posuny vodíků v aromatických sloučeninách jsou ovlivněny mezomerním efektem substituentů.

### Aldehydy

Signály aldehydických vodíků jsou ve spektru většinou dobře rozpoznatelné, protože se nacházejí v oblasti 9,5–10,5 ppm, kde se jiné CH vodíky nevyskytují.

### Vyměnitelné vodíky

Signály vyměnitelných vodíků v OH, NH a SH skupinách se mohou vyskytovat ve velmi široké spektrální oblasti 1–17 ppm. Chemické posuny jsou ovlivněny kyselým charakterem těchto vodíků. Platí, že kyselejší vodíky jsou méně stíněny elektrony a mají tedy signál u vyšších hodnot ppm. To je dobře vidět například na rozdílu chemických posunů hydroxylového vodíku ve fenolech a v alifatických alkoholech (tabulka 9.3). Chemické posuny vyměnitelných vodíků mohou být také velmi významně ovlivněny tvorbou vodíkových vazeb, koncentrací, teplotou, rozpouštědlem, pH roztoku a přítomností vody nebo dalších látek s vyměnitelnými vodíky. Naměřené chemické posuny vyměnitelných vodíků jsou tedy reprodukovatelné pouze při dodržení identických experimentálních podmínek. Vliv rozpouštědla na chemické posuny vodíků vody je ukázán v tabulce 9.3.

Tabulka 9.3. Oblasti chemických posunů vyměnitelných vodíků.

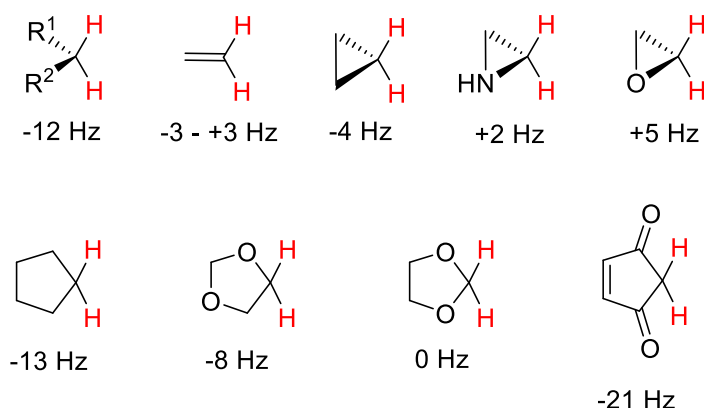
Vyměnitelný vodík	Funkční skupina	Chemické posuny (ppm)
OH	Alifatické alkoholy	1–5
	Fenoly	4–10
	Karboxylové kyseliny	9–13
	Enoly	10–17
NH	Aminy	1–5
	Amidy	5–10
SH	Alifatické thioly	1–3
	Thiofenoly	3–4

### 9.8 Skalární interakce vodíků

Skalární interakce mezi vodíky jsou ve spektrech pozorovatelné jako štěpení signálů a poskytují mimořádně cenné strukturní informace, protože závisí na geometrii molekuly a na charakteru substituentů. V  $^1\text{H}$  NMR spektrech pozorujeme nejčastěji interakce přes dvě (geminální) a přes tři vazby (vicinální interakce). V některých případech je ale možné pozorovat interakce i přes čtyři a více vazeb.

#### Geminální interakce

Geminální interakce mohou být pozorovány mezi vodíky  $\text{CH}_2$  skupiny, pokud tyto vodíky nejsou ekvivalentní (viz [kapitola 9.3](#)). Geminální interakce mezi vodíky  $^1\text{H}$  mohou nabývat hodnot v rozmezí od –20 do +40 Hz. Z běžných jednodimensionálních vodíkových spekter ale nemůžeme určit znaménko interakční konstanty a pozorujeme tedy pouze absolutní hodnotu  $^2J$  v rozmezí 0–40 Hz. U flexibilních alifatických řetězců pozorujeme geminální interakci kolem –12 Hz. Velikost geminální interakce závisí na vazebném úhlu mezi interagujícími atomy. Se vzrůstajícím vazebným úhlem velikost  $^2J$  stoupá (její absolutní hodnota tedy klesá) a pro vazebný úhel  $120^\circ$ , který je typický pro vodíky na konci dvojně vazby, je geminální interakce blízká 0 Hz. Elektronegativní substituenty v  $\alpha$  poloze mají pozitivní příspěvek ke geminální interakci, což je vidět například na sérii cyklopropan–aziridin–oxiran ([obrázek 9.23](#)) nebo cyklopentan–1,3-dioxolan. Blízkost  $\pi$  elektronů má naopak negativní příspěvek ke geminální interakci (viz cyklopent-4-en-1,3-dion).

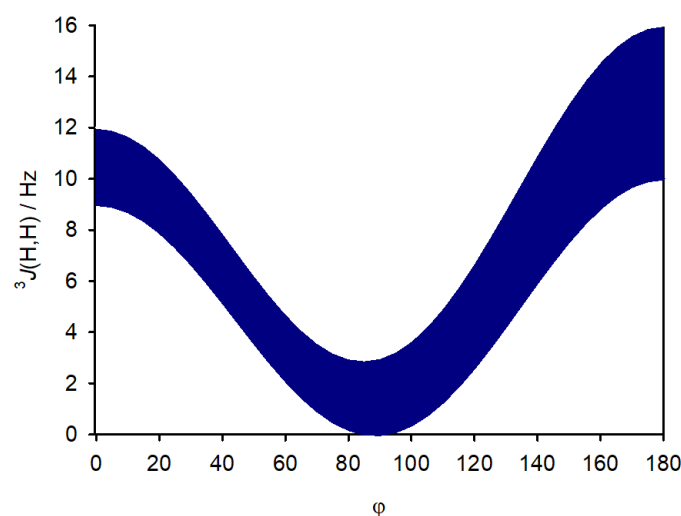


Obrázek 9.23. Typické hodnoty geminálních interakčních konstant mezi vodíkovými atomy.

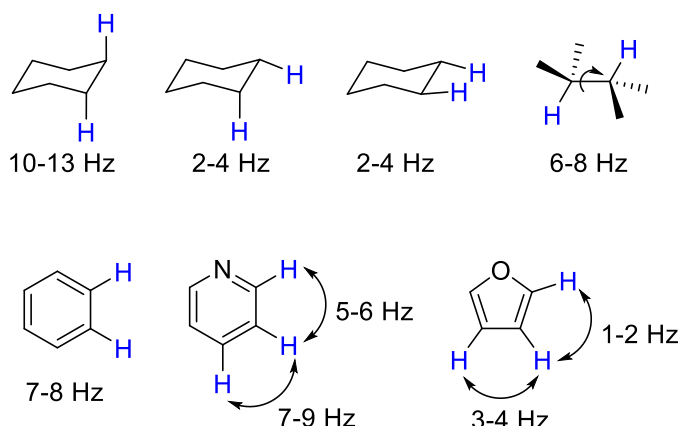
#### Vicinální interakce

Vicinální interakce mezi vodíky jsou mimořádně důležité pro strukturní analýzu organických látek, zejména pro určování konformace a konfigurace. Velikost vicinální interakční konstanty závisí především na dihedrálním úhlu mezi interagujícími vodíky a na substituentech. Závislost na dihedrálním úhlu je známá jako Karplusova křivka (obrázek 9.24). Vicinální interakce nabývá maximálních hodnot při dihedrálním úhlu 0 a 180°, přičemž maximum u 180° je vyšší. Naopak pro dihedrální úhly blízké 90° je vicinální interakce blízká nule. Díky této závislosti lze například určit polohu substituentů na cyklohexanovém kruhu v židličkové konformaci. Pokud jsou dva vodíky v sousedních polohách v axiální poloze, mají mezi sebou dihedrální úhel 180° a pozorujeme velkou vicinální interakci (10–13 Hz). Naopak pokud jsou jeden nebo oba vodíky v ekvatoriální poloze, mají mezi sebou dihedrální úhel +60° nebo -60° a vicinální interakce je malá (2–4 Hz), viz obrázek 9.25. U volně otáčivých alifatických systémů bývá velikost vicinální interakce v rozmezí 6–8 Hz.

V derivátech benzenu bývá interakce mezi vodíky v *ortho* poloze 7–8 Hz. Přítomnost heteroatomu může velikost vicinální interakce v aromatických látkách výrazně ovlivnit (obrázek 9.25)



Obrázek 9.24. Karplusova křivka závislosti vicinální interakční konstanty na dihedrálním úhlu mezi interagujícími vodíky.



Obrázek 9.25. Typické hodnoty vicinálních interakčních konstant ve vybraných typech látek.

Elektronegativní substituenty snižují velikost vicinální interakční konstanty. U alifatických sloučenin není tento trend tak dramatický jako u nenasycených sloučenin (tabulka 9.4 a 9.5).

Tabulka 9.4. Vicinální interakční konstanta v substituovaných ethanech  $X-\text{CH}_2-\text{CH}_3$ .

$X$	Li	H	$\text{CH}_3$	Cl	OH
$^3J(\text{H},\text{H})$	8,4	8,0	7,3	7,2	6,9

Tabulka 9.5. Vicinální interakční konstanta v substituovaných ethylenech.

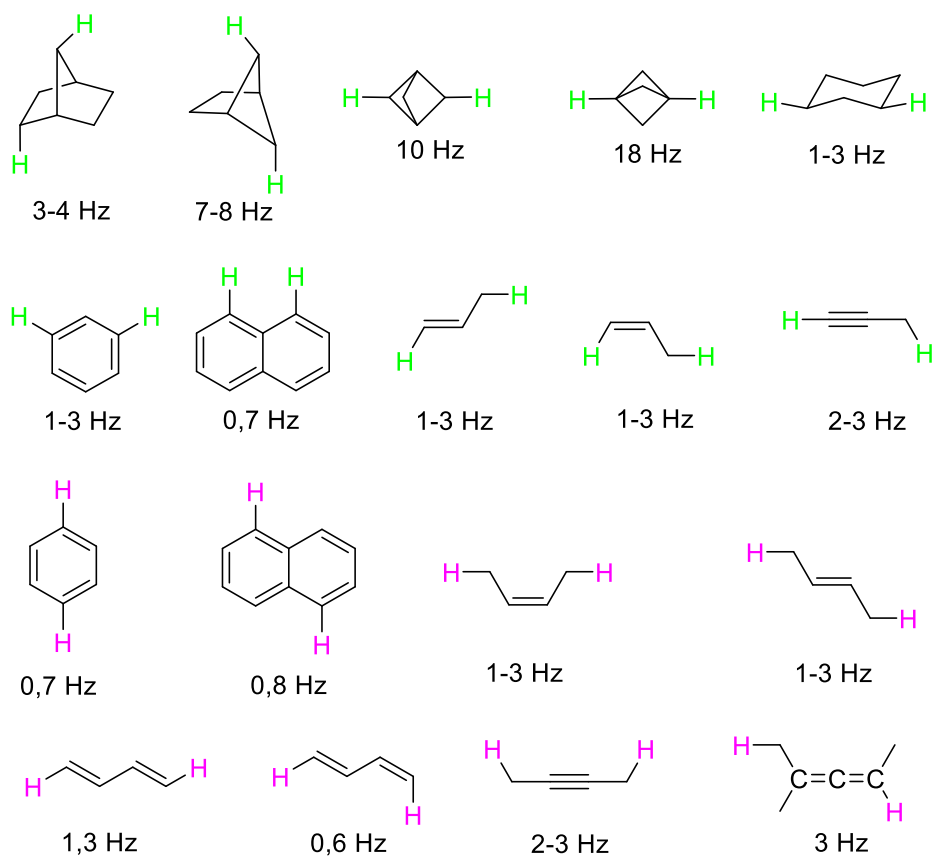
$^3J_{\text{trans}}$

$^3J_{\text{cis}}$

$X$	Li	H	Cl	$\text{OCH}_3$	F
$^3J_{\text{cis}}$	19,3	11,6	7,3	7,1	4,7
$^3J_{\text{trans}}$	23,9	19,1	14,6	15,2	12,8

### Interakce přes více vazeb

Interakce mezi vodíky přes více než tři chemické vazby jsou většinou tak malé, že v jednodimensionálním vodíkovém spektru nejsou pozorovatelné jako štěpení signálů (velikost těchto interakcí je menší než polosířka pozorovaných signálů). Existují však některé strukturní motivy, kde bývají interakce přes čtyři nebo pět vodíkových vazeb větší a tedy v 1D spektrech dobře pozorovatelné. Jsou to především některé bicyklické sloučeniny, struktury s násobnými vazbami mezi interagujícími atomy, aromatické sloučeniny a struktury, kde jsou vazby mezi interagujícími atomy uspořádány podobně jako písmeno W. Příklady strukturních motivů s pozorovatelnými interakcemi přes čtyři a pět vazeb jsou na obrázku 9.26.



Obrázek 9.26. Vybrané strukturní motivy, kde je možné pozorovat nepřímou spin–spinovou interakci mezi vodíkovými jádry přes čtyři vazby ( $^4J$ ) a přes pět vazeb ( $^5J$ ).

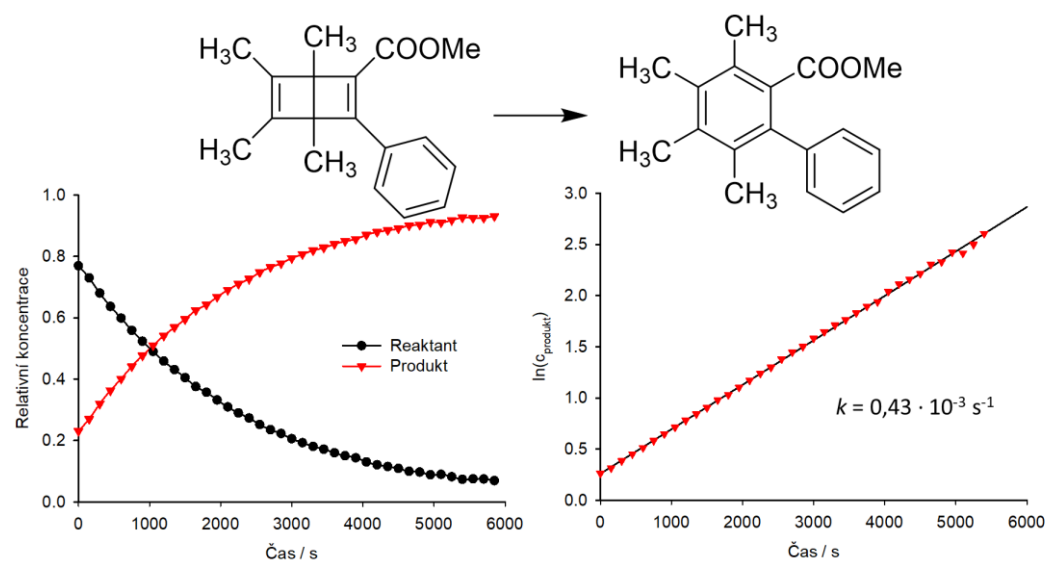
## 10 DYNAMICKÉ PROCESY

Pokud během NMR experimentu dojde ke změně chemického okolí sledovaných jader, výsledná spektra mohou být významně ovlivněna. Ke změně chemického okolí může docházet během chemických reakcí, kdy se mění konstituce molekul, ale také při změně konformace nebo konfigurace molekul, případně protonace/deprotonace molekul nebo změně tautomeru. Z hlediska vlivu těchto změn na NMR spektra je vhodné rozlišovat nevratné změny (například nevratné chemické reakce) a rovnovážné děje (často nazývané chemická výměna).

### 10.1 Chemické reakce

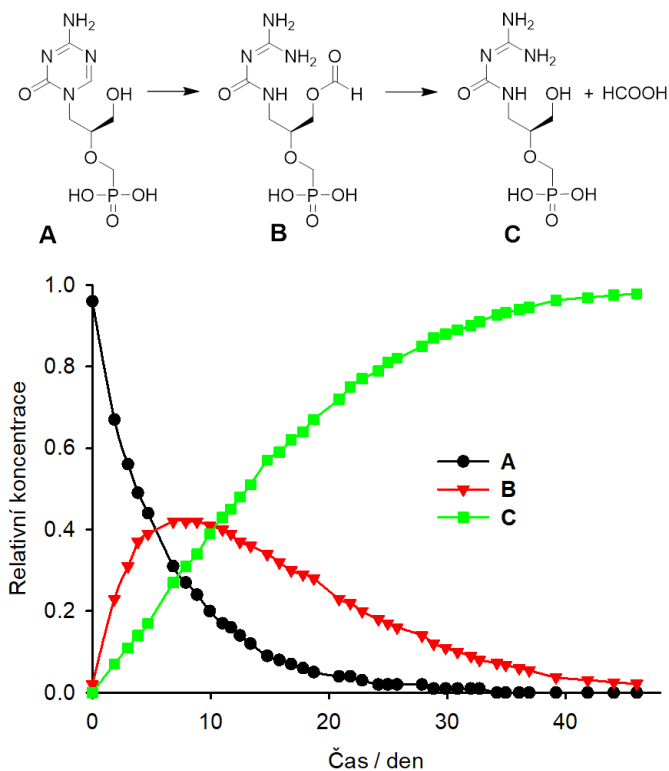
Pokud dochází v NMR kyvetě k nevratné chemické reakci, můžeme její průběh sledovat opakováním měření NMR spekter. Na začátku reakce pozorujeme ve spektru hlavně signály výchozí látky, intenzita těchto signálů postupně klesá a zvyšuje se intenzita signálů produktů (případně meziproduktů). Nejhodnější experiment pro sledování průběhu chemických reakcí je vodíkový experiment, protože jádra  $^1\text{H}$  jsou nejcitlivější NMR jádra. Pokud nejsou koncentrace složek reakční směsi výrazně nižší než koncentrace, které se běžně používají pro měření NMR spekter, lze vodíkový experiment změřit během několika málo sekund a je tedy možné tento experiment rychle opakovat a sledovat tak průběh i poměrně rychlých reakcí. Běžně měřená vodíková spektra lze kvantifikovat pomocí integrace jednotlivých signálů a z těchto dat je možné získat kinetické parametry probíhající reakce.

Příklad nevratné chemické reakce sledované pomocí  $^1\text{H}$  NMR spekter je uveden na obrázku 10.1. Jedná se o izomeraci derivátu Dewarova benzenu. Dewarův benzen (bicyklohexadien) je konstituční izomer benzenu, který má velké vnitřní pnutí kvůli spojení dvou cyklobutenových kruhů. Dewarův benzen může spontánně izomerovat na benzen konrotacním mechanismem. Díky vysoké energetické bariéře této izomerace je však Dewarův benzen za pokojové teploty překvapivě stabilní. Průběh této reakce byl proto sledován při teplotě 145 °C.



Obrázek 10.1. Průběh izomerace Dewarova benzenu na benzen sledovaný pomocí  $^1\text{H}$  NMR spekter. Integrace signálů výchozí látky a produktu umožňuje kvantifikovat koncentrace složek reakční směsi. Lineární časová závislost logaritmu koncentrace produktu potvrzuje, že se jedná o reakci prvního řádu a směrnice této závislosti je rychlostní konstanta této reakce.

Jiný příklad nevratné chemické reakce je uveden na obrázku 10.2. Je to rozklad derivátu azacytosinu **A**, ze kterého vzniká meziprodukt **B**, který dále hydrolyzuje na konečný produkt **C**. Integrace vodíkových spekter opět umožnuje kvantifikovat průběh těchto reakcí a získat rychlostní konstanty obou dějů.



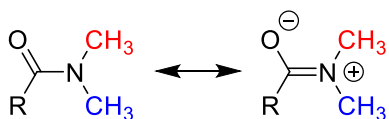
Obrázek 10.2. Průběh rozkladu derivátu azacytosinu **A** sledovaný pomocí  $^1\text{H}$  NMR spekter.

Výhodou měření reakční kinetiky pomocí NMR spektroskopie je, že spektra lze měřit v širokém teplotním rozsahu a ze získané teplotní závislosti rychlostních konstant lze pomocí Eyringovy rovnice určit aktivační entalpii a entropii dané reakce. Pokud sledované molekuly obsahují fluor nebo fosfor, mohou se tato jádra také využít ke sledování průběhu chemických reakcí, protože jádra  $^{19}\text{F}$  a  $^{31}\text{P}$  jsou velmi citlivá. Navíc v molekulách bývá jen několik málo atomů fluoru nebo fosforu, což většinou vede k přehledným NMR spektrům bez překryvu signálů.

## 10.2 Chemická výměna

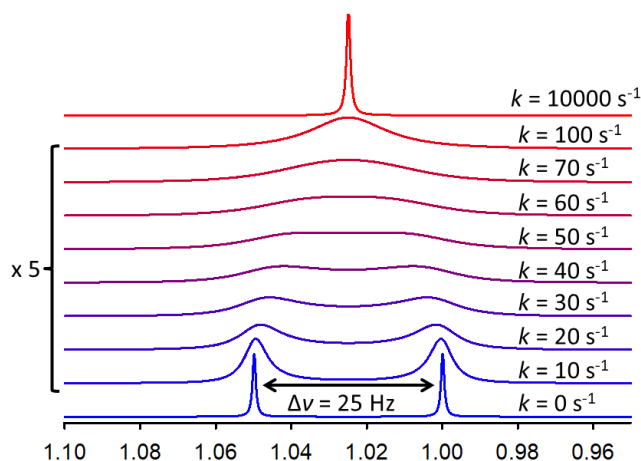
Chemickou výměnou nazýváme rovnovážný děj, ke kterému dochází v průběhu NMR experimentu. Může se jednat o rovnovážnou chemickou reakci nebo o jakýkoli jiný rovnovážný děj, který vede ke změnám chemického okolí sledovaných jader.

Typickým příkladem chemické výměny je bráněná rotace kolem C–N vazby v amidech. V amidech bývá řad této vazby vyšší než 1, což lze vysvětlit pomocí mezomerní formy amidové vazby ukázané na obrázku 10.3. Částečně dvojná vazba mezi uhlíkem a dusíkem vede k vyšší energetické bariéře rotace kolem této vazby. Při nízké teplotě je rotace kolem této vazby pomalá a dvě methylové skupiny na dusíku pozorujeme v NMR spektrech jako neekvivalentní (červená  $\text{CH}_3$  skupina je v poloze *cis* ke kyslíku, modrá je v poloze *trans*, mají tedy jiné chemické okolí a nejsou chemicky ekvivalentní). Při vyšší teplotě je rychlosť rotace kolem této vazby vyšší, to vede ke zprůměrování stínění obou methylů a obě methylové skupiny se v NMR spektrech projevují jako ekvivalentní – mají jeden společný signál.



Obrázek 10.3. Možné mezomerní struktury amidů.

Jak vypadá NMR spektrum látky s chemickou výměnou, závisí nejen na rychlosti výměnného procesu dané velikostí energetické bariéry a teplotou ale také na rezonanční frekvenci jednotlivých signálů. Příklad takových spekter, která by bylo možné naměřit na 500 MHz spektrometru, je ukázán na obrázku 10.4. Na tomto obrázku jsou  $^1\text{H}$  NMR spektra látky, u které dochází k chemické výměně vodíků s chemickými posuny 1,00 a 1,05 ppm. Na 500 MHz spektrometru je tedy rozdíl rezonančních frekvencí těchto signálů  $0,05 \times 500 = 25$  Hz. Pokud by rychlosť chemické výměny byla nulová (například při velmi nízké teplotě), pozorovali bychom dva ostré signály u 1,00 a 1,05 ppm. Při vyšší teplotě, kdy je rychlosť výměny vyšší, se oba signály rozšiřují. Při určité rychlosći výměny dojde ke splynutí obou signálů v jeden, což nazýváme koalescence a teplotu, při níž k tomu dojde, nazýváme  $T_c$  – teplota koalescence (na obrázku 10.4. přibližně při rychlosći výměny  $k = 50 \text{ s}^{-1}$ ). Dalším zvyšováním rychlosći výměnné reakce (zvyšováním teploty) dochází k zužování nově vzniklého signálu, až při velké rychlosći výměny pozorujeme jeden ostrý signál.



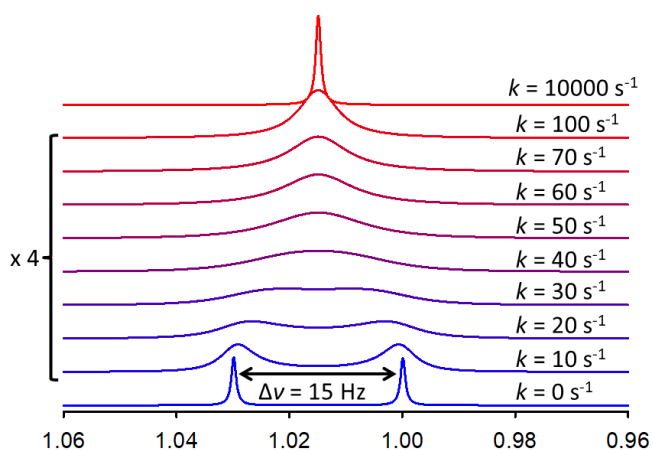
Obrázek 10.4. Simulovaná  $^1\text{H}$  NMR spektra látky s chemickou výměnou dvou signálů, které jsou od sebe v režimu pomalé výměny vzdálené 25 Hz. Pracovní frekvence spektrometru je 500 MHz.

Pokud by rychlosť výměnné reakce byla stejná, ale rozdíl rezonančních frekvencí by byl jiný než 25 Hz, výsledná spektra by vypadala jinak. Na obrázku 10.5. jsou ukázána spektra látky s chemickou výměnou dvou vodíků, jejichž rozdíl rezonančních frekvencí je 15 Hz. Je vidět, že v tomto případě dochází ke koalescenci dříve – přibližně při rychlosći výměny  $k = 40 \text{ s}^{-1}$ . Naopak, pokud by rozdíl rezonančních frekvencí byl větší, ke koalescenci by došlo až při vyšší rychlosći výměny (na obrázku 10.6. jsou spektra s rozdílem rezonančních frekvencí 50 Hz). Na tomto obrázku je zároveň vidět, že signály v blízkosti koalescence mohou být velmi široké. To může být problém zejména u uhlíkových spektrech, kde se velmi široké (a tedy nízké) signály mohou snadno ztratit v šumu. To, že ke koalescenci signálů s větším rozdílem rezonančních frekvencí dochází při vyšší rychlosći výměny je zároveň důvodem, proč při měření téže látky na spektrometru s vyšší pracovní frekvencí dochází ke koalescenci při vyšší teplotě než na spektrometru s nižší pracovní frekvencí. Rozdíl rezonančních

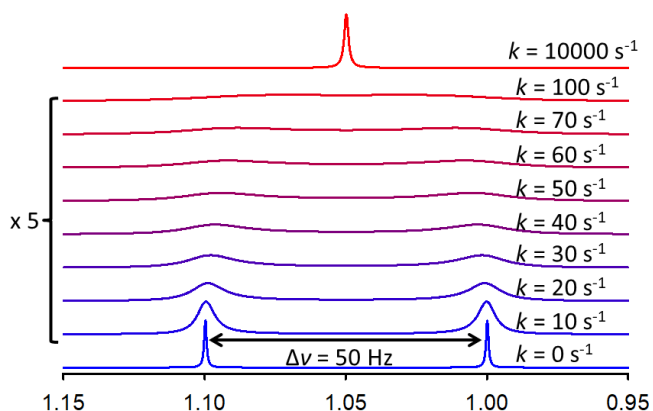
frekvencí totiž závisí na pracovní frekvenci spektrometru. Pokud bychom například měřili výměnný proces uvedený na obrázku 10.4. na spektrometu s dvojnásobnou pracovní frekvencí, rozdíl rezonančních frekvenčních signálů by byl také dvojnásobný ( $0,05 \cdot 1000 = 50$  Hz) a ke koalescenci by tedy došlo až při rychlostech výměny vyšších než  $100\text{ s}^{-1}$  (obrázek 10.6.).

V NMR spektrech amidů s různými substituenty na dusíku můžeme tedy v závislosti na rychlosti rotace kolem C–N vazby (a tedy v závislosti na teplotě) pozorovat dvě sady signálů odpovídající dvěma rotamerům kolem C–N vazby nebo široké signály v okolí koalescence (případně absenci některých signálů v uhlíkovém spektru) nebo jednu sadu signálů odpovídající zprůměrovanému stínění jader při rychlé rotaci. Teplotní oblast, ve které pozorujeme široké signály v okolí koalescence, se často nazývá oblast středně rychlé výměny.

V momentě koalescence můžeme z NMR spekter odhadnout rychlosť chemické výměny podle vzorce  $k_c = 2,22 \Delta v$ . V celé teplotní oblasti se středně rychlou výměnou je možné rychlosť výměnného procesu zjistit pomocí fitování simulovaných spekter s experimentálními, tomuto fitování se říká kompletní analýza tvaru signálů.

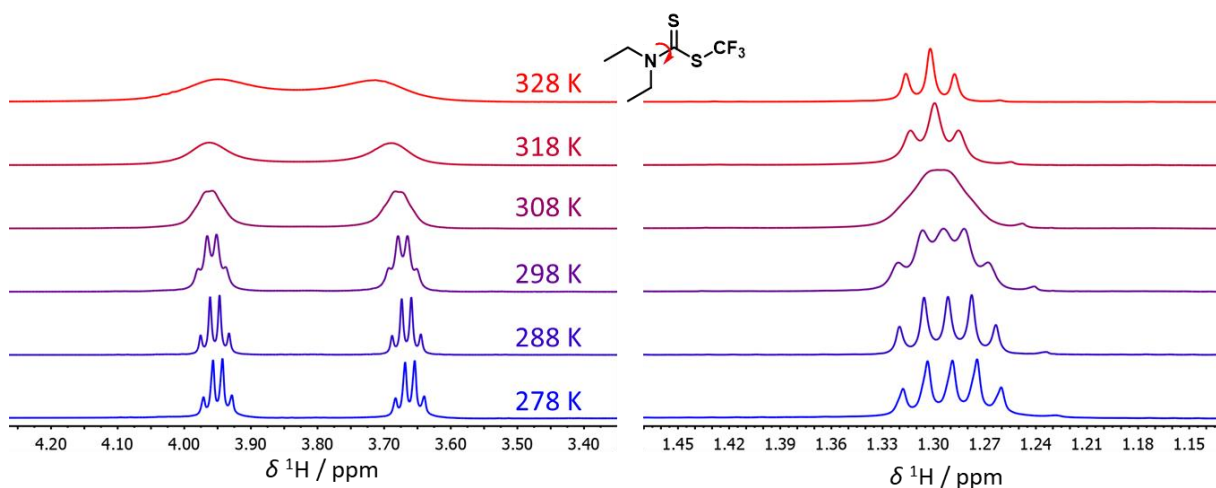


Obrázek 10.5. Simulované  $^1\text{H}$  NMR spektrum látky s chemickou výměnou dvou signálů, které jsou od sebe v režimu pomalé výměny vzdálené 15 Hz. Pracovní frekvence spektrometru je 500 MHz.

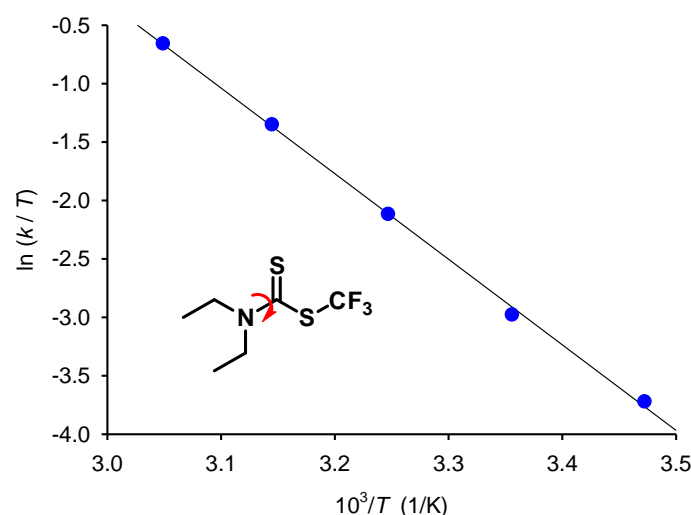


Obrázek 10.6. Simulované  $^1\text{H}$  NMR spektrum látky s chemickou výměnou dvou signálů, které jsou od sebe v režimu pomalé výměny vzdálené 50 Hz. Pracovní frekvence spektrometru je 500 MHz.

Příklad experimentálních spekter s chemickou výměnou je na obrázku 10.7, kde jsou zobrazena spektra uvedeného dithiokarbamátu měřená při různých teplotách. Vazba N–C(S) má, podobně jako v amidech, částečně dvojný charakter. Na obrázku 10.7. vlevo je oblast  $\text{CH}_2$  skupin. Při nízké teplotě jsou vidět dva kvartety patřící dvěma neekvivalentním  $\text{CH}_2$  skupinám. Štěpení signálů na kvartet je způsobeno interakcí se sousední  $\text{CH}_3$  skupinou. Při vyšší teplotě se signály rozšiřují, ale použité rozpouštědlo ( $\text{CDCl}_3$ ) neumožnilo teplotu zvyšovat až do teploty koalescence. Na obrázku 10.7. vpravo jsou signály methylových skupin. Každá z methylových skupin je štěpena na triplet interakcí s  $\text{CH}_2$  skupinou. Signály obou methylů mají ale blízké chemické posuny, takže dochází k částečnému překryvu obou signálů. Se zvyšující se teplotou se oba methylové signály rozšiřují, až dojde k jejich koalescenci. Při vysoké teplotě pak pozorujeme jeden ostrý triplet. Analýza tvaru signálů umožňuje určit rychlosť rotace kolem C–N vazby při každé teplotě. Vynesením logaritmu  $k/T$  proti  $1/T$  (Eyringova závislost, obrázek 10.8) pak můžeme určit aktivační enthalpii a entropii rotace kolem této vazby.



Obrázek 10.7.  $^1\text{H}$  NMR spektra zobrazeného dithiokarbamátu měřená při různých teplotách v  $\text{CDCl}_3$ .



Obrázek 10.8. Eyringova závislost získaná z rychlostních konstant rotace kolem C–N vazby v zobrazeném dithiokarbamátu.

S chemickou výměnou se můžeme setkat u celé řady procesů nejen u bráněné rotace kolem částečně dvojné vazby. Dalším typickým příkladem je inverze šestičlenného kruhu v židličkové konformaci. Při nízké rychlosti této inverze nejsou vodíkové atomy v axiálních a ekvatoriálních polohách ekvivalentní, mají tedy samostatné signály. Při vyšší rychlosti inverze se pak signály axiálních a ekvatoriálních vodíků sjednotí, takže například v  $^1\text{H}$  NMR cyklohexanu měřeného při pokojové teplotě pozorujeme pouze jeden singlet.

Jiným příkladem je inverze konfigurace na dusíku. Pokud jsou na dusíku v aminech tři různé substituenty, dusíkový atom může vystupovat jako centrum chirality, protože formálně čtvrtým substituentem je volný elektronový pár. Na dusíku ale běžně dochází k rychlé změně konfigurace vedoucí ke ztrátě chirality. Vodíky v sousedních  $\text{CH}_2$  skupinách pak mohou být buďto diastereotopní nebo enantiotopní v závislosti na rychlosti inverze konfigurace na dusíku. Pomocí NMR spekter s chemickou výměnou lze dále například sledovat tautomerní rovnováhy nebo rovnováhy mezi valenčními izomery.